

UNIVERSIDAD DE GUAYAQUIL FACULTAD DE CIENCIAS NATURALES CARRERA DE INGENIERÍA GEOLÓGICA

TESIS DE GRADO

Previo a la obtención de Título de Ingeniero Geólogo

TEMA:

CARACTERIZACIÓN PETROGRÁFICA Y CALCOGRÁFICA DEL AFLORAMIENTO ÍGNEO, ASIGNADO AL JURÁSICO, UBICADO EN LA PERIMETRAL DEL CANTÓN NOBOL, ECUADOR

AUTOR:

ALFREDO ROLANDO MOREIRA CHUYA

DIRECTOR DE TESIS:

Ph.D. KATTHY FERNANDA LÓPEZ ESCOBAR

Guayaquil - Ecuador 2017

© DERECHO DE AUTOR ALFREDO ROLANDO MOREIRA CHUYA

2017



UNIVERSIDAD DE GUAYAQUIL FACULTAD DE CIENCIAS NATURALES CARRERA DE INGENIERÍA GEOLÓGICA

CERTIFICACIÓN

En calidad de Tutor de esta Tesis Certifico que el presente trabajo ha sido elaborado por el señor Alfredo Rolando Moreira Chuya, por lo que autorizo su presentación

PhD. KATTHY FERNANDA LÓPEZ ESCOBAR
DIRECTORA DE TESIS

UNIVERSIDAD DE GUAYAQUIL

FACULTAD DE CIENCIAS NATURALES

CARRERA DE INGENIERÍA GEOLÓGICA

CALIFICACIÓN QUE OTORGA EL TRIBUNAL QUE RECIBE LA SUSTENTACIÓN Y DEFENSA DEL TRABAJO INDIVIDUAL DE TITULACIÓN: TESIS DENOMINADA: "CARACTERIZACIÓN PETROGRÁFICA Y CALCOGRÁFICA DEL AFLORAMIENTO ÍGNEO, ASIGNADO AL JURÁSICO, UBICADO EN LA PERIMETRAL DEL CANTÓN NOBOL, ECUADOR."

CALIFICACION (Números y Letras)

AUTOR: ALFREDO ROLANDO MOREIRA CHUYA.

PREVIO A LA OBTENCIÓN DEL TÍTULO DE INGENIERO GEÓLOGO.

MIENBROS DEL TRIBUNAL

ng. Glgo. Galo Salcedo Maridueña, Ph.D. PRESIENTE DEL TRIBUNAL	
ng. Glgo. Jorge Alonso Días, M.Sc. MIEMBRO DEL TRIBUNAL	
ng. Glgo. César Fuentes Campuzano, M.So MIEMBRO DEL TRIBUNAL	c.
SUSTENTACIÓN Y DEFENSA DEL TRAB REALIZADA EN EL AUDITÓRIUM DE LA F LO CERTIFICO	
Abg. Jorge Solórzai	no Cabezas.

SECRETARIO DE LA FACULTAD AGRADECIMIENTO

A mis profesores de la Facultad de Ciencias Naturales por las enseñanzas brindadas en todo tiempo de la carrera.

A mi directora de tesis Ph.D. Katthy López E. por sus conocimientos brindados y su ayuda desinteresada.

Al Ph.D. Edgar Berrezueta de por su colaboración en los ensayos e interpretación geoquímica de este trabajo.

A la Ph.D. Nora Rubistein, por sus revisiones petrográficas de este trabajo; asimismo aquellas personas, como Miguel García y Nadia Zavala que estuvieron participando en las salidas de campo y a todas las personas que de una u otra manera apoyaron en la elaboración de mi tesis.

DEDICATORIA

Dios Padre y su hijo Jesucristo por permitirme llegar a este momento, regando bendiciones en mi vida.

A mi madre y hermana por su ayuda, consejos, que me brindaron en toda mi etapa de estudiante.

A mis abuelos y tíos que ha sido un pilar fundamental para lograr todas las metas propuestas.

RESUMEN

La presente investigación a nivel de pregrado en Ingeniería Geológica tiene como objetivo el estudio detallado de un afloramiento volcánico empleando técnicas de petrografía y calcografía. El cuerpo ígneo estudiado es un afloramiento de roca fresca ubicado entre las localidades de los cantones Nobol y Daule, provincia de Guayas – Ecuador. Esta tesis de grado se orientó en una primera fase a realizar trabajo de campo que permitiera un conocimiento geológico general de la zona. Una segunda fase se enfocó a la descripción detallada de láminas trasparentes y láminas opacas de muestras de rocas recolectadas en la zona de estudio.

A la descripción óptica de las muestras (mineralogía y textura) se aplicaron sistemáticas habitualmente utilizadas que permiten una clasificación específica de la muestra geológica. Así, se aplicaron el triángulo Q-A-P-F. Microscopía de Barrido (MEB) y Fluorescencia de Rayos X (FRX). Finalmente, en una tercera fase se desarrolló una cartografía temática detallada, relacionando los datos de campo preliminares con los resultados obtenidos en laboratorio.

La tarea de campo permitió en una fase inicial determinar datos generales de litologías aflorantes junto con datos estructurales. Además, se pudo planificar la etapa de muestreo con la cual poder definir adecuadamente la tipología de rocas. Se recolectaron en total 48 muestras de roca de mano de las cuales, 12 se destinaron a la elaboración de láminas trasparentes, 4 para láminas opacas y 4 para FRX.

El análisis petrográfico permitió definir las siguientes rocas: Basalto, Basalto andesítico, Diorita y roca volcánica alterada (meteorizada). Además, se pudo relacionar estas con las descripciones presentadas en estudios previos. En particular, su relación con la Formación Piñón que es la predominante en la geología regional y local de la zona de estudio.

La cartografía geológica detallada desarrollada permitió generar una información base

importante a la hora de estimar potenciales usos industriales del afloramiento.

SUMMARY

The present investigation on at the undergraduate level in Geological Engineering has as objective the detailed study of a volcanic outcrop using techniques of petrography and chalcography. The body igneous studied is an upwelling of fresh rock located between the towns of the Cantons Nobol and Daule, Guayas province - Ecuador. This degree thesis was oriented in a first phase to perform field work that allowed a general geological knowledge of the area. A second phase focused on the detailed description of transparent sheets and opaque sheets of rock samples collected in the study area.

To the optical description of the samples (mineralogy and texture) systematics were applied habitually used that allow a specific classification of the geological sample. So, the Q-A-P-F triangle was applied. Scanning microscopy (MEB) and X-ray fluorescence (FRX). Finally, in a third phase a detailed thematic cartography was developed, relating the preliminary field data to the results obtained in the laboratory.

The field task allowed in an initial phase to determine general data of emerging lithologies along with structural data. In addition, it was possible to plan the sampling stage with which to properly define the typology of rocks. A total of 48 samples of hand rock were collected, of which 12 were destined for the elaboration of transparent sheets, 4 for opaque sheets and 4 for FRX.

The petrographic analysis allowed the following rocks to be defined: basalt, andesitic basalt, diorite and altered volcanic rock (weathered). In addition, these were related to the descriptions presented in previous studies. In particular, its relation with the sprocket formation which is the predominant in the regional and local geology of the study area.

Detailed geological cartography developed allowed to generate an important baseline information at the time of estimating potential industrial outliers applications.

Tabla de contenido

CAPÍTULO I	1
GENERALIDADES	1
1.1 INTRODUCCIÓN	1
1.2 INFORMACIÓN DEL ÁREA DE ESTUDIO	3
1.2.1 Localización y Acceso	3
1.2.2 Clima y Vegetación	6
1.3 OBJETIVOS	7
1.3.1 Objetivo General	7
1.3.2 Objetivos Específicos	8
1.4 MATERIALES Y METODOLOGÍA	8
1.4.1 Actividades en campo	9
1.4.2 Actividades en Laboratorio	11
1.4.3 Actividades en Gabinete	14
CAPÍTULO II	22
MARCO GEOLÓGICO REGIONAL	22
2.1 FORMACIÓN PIÑÓN (JURÁSICO - ALBIANO)	11
2.1.1 Historia	11
2.1.2 Litología y Petrología	29
2.1.3 Atribución estratigráfica	30
2.1.4 Correlación	31
2.2 FORMACIÓN CALENTURA (CONIACIANA - SANTONIANA)	32
2.2.1 Historia	32

2.2.2 Ocurrencia	32
2.2.3 Litología	32
2.2.4 Ambiente de deposición	33
2.3 FORMACIÓN LAS ORQUÍDEAS	35
2.3.1 Historia	35
2.3.2 Litología y petrología	35
2.3.3 Atribución estratigrafía	36
2.4 FORMACIÓN CAYO (MAASTRICHTIAN - PALEOCENE)	37
2.4.1 Historia	37
2.4.2 Litología	37
2.4.3 Ambiente de deposición	38
2.5 FORMACIÓN GUAYAQUIL (MAASTRICHTIANO)	40
2.5.1 Historia	40
2.5.2 Litología	40
2.5.3 Atribución estratigráfica	41
CAPÍTULO III	42
GEOLOGIA LOCAL	42
3.1 RECONOCIMIENTO GEOLÓGICO DE CAMPO	42
3.2 IDENTIFICACIÓN DE ROCAS	51
3. 2.1 Estudio y caracterización petrográfico	51
3.2.2 Estudios geoquímicos complementarios	53
3.2.3 Estudios mineralógicos-geoquímicos complementarios	56
3.2.4. Tipos de rocas en el cuerpo volcánico	59
3. 3 ESFUERZO DE COMPRESIÓN UNIAXIAL DE LAS ROCAS	59

3.4	MINERALIZACIONES	60
3.5	CARTOGRAFÍA	64
CAPÍT	ULO IV	67
IMPLIC	CACIONES GENÉTICAS	67
4.1 C	DISCUSIONES	67
CAPÍT	ULO V	72
CONCI	LUSIONES Y RECOMENDACIONES	72
5.1	CONCLUSIONES	72
5.2	RECOMENDACION	76
BIBLIC	OGRAFÍA CITADA	77
LINKO	GRÁFIA	86
ANEXO	DS	87
ANE	XOS 1: MUESTRAS DEL AFLORAMIENTO EN PROSPECCIÓN	87
ANE	XOS 2: PROPIEDADES ÓPTICAS	90
ANE	XOS 3: ENSAYOS EN MEB – EDAX	96
ANE	XOS 4: EQUIPOS USADOS EN LA ELABORACIÓN DE LÁMINAS	Y
TRA	BAJO DE CAMPO	101

ÍNDICE DE FIGURAS

Figura 1.1	Partes del microscopio de polarización	15
Figura 1.2	Diagrama de Streckeisen para rocas volcánicas	19
Figura 1.3	A) Fichas técnicas para conteo de mineral.	
	B) Malla para conteo	20
Figura 2.1	Mapa de unidades tectonoestratigráficas	26
Figura 2.2	Columnas estratigráficas compuesta de los bloques	
	Costeros y de las cuencas neogénicas sobrepuesta	27
Figura 2.3	El bloque de Piñón, y de Guayaquil en el	
	antebrazo costero sur	28
Figura 2.4	Litología de la Fm. Calentura., Río Guaraguau	34
Figura 3.1	Ubicación de Perfiles fotográficos	43
Figura 3.2	Imágenes de minerales de los tipos de roca	
	Identificados mediante microscopio óptico	52
Figura 3.3	Imágenes de minerales alterados de roca	
	Identificados mediante microscopio óptico	53
Figura 3.4	Interpretación de los datos del FRX	55
Figura 3.5	Diagrama de Streckeisen, 1976 con clasificación	
	Modal de una roca volcánica	55
Figura 3.6	Imágenes MEB	58
Figura 4.1	Origen simpificado de los distintos	
	magmas formadores d.roca	70
Figura 4.2	Minerales de alteración común en sistemas hidrotermales	72

ÍNDICE DE TABLAS

Tabla 1.1	Coordenadas del área de estudio	4
Tabla 1.2	Uso del cantón Nobol con la vegetación	7
Tabla 1.3	Propiedades ópticas con nicoles paralelo	16
Tabla 1.4	Propiedades ópticas con nicoles cruzado	17
Tabla 1.5	Parámetros para uso del diagrama	
	de streckeisen	19
Tabla 3.1	Ubicación de muestras de mano. Coordenadas	
	en sistema UTM WGS-84, Zona 17 Sur	50
Tabla 3.2	Análisis por Fluorescencia de	
	rayos X y Absorción Atómica (Sodio)	53
Tabla 3.3	Tipos de rocas, textura,	
	mineralogía principal y accesorio	59
Tabla 3.4	Estimación del esfuerzo de compresión	
	Uniaxial de las rocas	60

ÍNDICE DE FOTOS

Foto 1.1	Láminas petrográficas para luz transmitida	12
Foto 1.2	Proceso de las láminas opacas	13
Foto 3.1	Fotografía panorámica del Perfil A	44
Foto 3.2	Fotografía panorámica del perfil B	44
Foto 3.3	Fotografías panorámicas de la zona	
	meteorizada	45
Foto 3.4	Vista de los diques en el afloramiento	45
Foto 3.5	Muestra P-001	47
Foto 3.6	Muestra P-004	47
Foto 3.7	Muestra P-006	48
Foto 3.8	Muestra P-011	48
Foto 3.9	Muestra P-012	49
Foto 3.1.1	Láminas opacas de la muestra PI 005	61
Foto 3.1.2	Láminas opacas de la muestra PI 048	62
Foto 3.1.3	Láminas opacas de la muestra PI 014,	
	PI 046, PI 009	63

ÍNDICE DE MAPA

Мара 1.1	Localización del área de estudio	5
Мара 1.2	Puntos de ubicación de muestras	10
Мара 2.1	Geología del Bloque Piñón, al sur se	
	Reconece el área de estudio	23
Мара 3.1	Mapa geológico y de proyección	
	del área de estudio	65
Мара 3.2	Mapa geomorfológico o del	
	área de estudio	67

ÍNDICE DE SIGLAS Y ABREVIATURAS

Págs. Páginas

IEPC International Ecuatorian Petroleum Company

NO NorOeste

SE SurEste

ONO Oeste noroeste

NNO Norte noroeste

ESE Este sureste

COP Colombia Ocean Plateau

km Kilómetros

Fm Formación

Fms. Formaciones

m Metros

CCC Cordillera Chongón Colonche

HCI Ácido clorhídrico

CBI Complejo Básico ígneo

Ma. Millones de años

mm Milímetros

cm Centímetro

MORB Basaltos de las Dorsales Medio-Oceánico

MOP Microcopia Óptica Polarizada

MEB Microscopia Electrónica de Barrido

EDAX Análisis Químico en Microscopia

FRX Fluorescencia de Rayos X

CAPÍTULO I

GENERALIDADES

1.1 INTRODUCCIÓN

En el presente trabajo geológico es una tesis de grado, para recibirse de Ingeniero Geólogo en la Facultad de Ciencias Naturales de la Universidad de Guayaquil.

Los trabajos corresponden a análisis de láminas transparentes y opacas, ciencia conocida como petrografía de luz polarizada transmitida y reflejada, respectivamente.

El sector fue seleccionado porque en la localidad de Nobol (Guayas, Ecuador) debido a que la prefectura del Guayas construyó en el 2016 la perimetral que une los cantones Nobol y Daule, atravesando el cerro San José, dejó en exposición roca fresca. Estos cortes permiten tener roca fresca para estudios de este tipo.

En este sector y con material de este cuerpo de rocas ígneas también se desarrolla una cantera de materiales de agregados de asfalto, aportando a la economía de los cantones aledaños. Las rocas ígneas son los principales agregados de materia prima para los asfaltos y Ecuador ha desarrollado, en la última década, un gran avance en la construcción de carreteras de primer nivel, permitiendo el crecimiento económico de todas las industrias.

Mediante la petrografía de las rocas ígneas presentes en este cuerpo volcánico, se determina el tipo de minerales. Utilizando la clasificación de Streckeisen se reconoce la denominación de cada una de las rocas.

La petrografía es importante para definir las propiedades ópticas de los minerales, se utiliza un microscopio de luz polarizado y cortes de hasta 4mm de espesor para ser observados y reconocer los minerales. En el desarrollo del trabajo se reconoció minerales opacos y por tal razón se le realizó calcografía a las muestra de roca, que consistió en usar un portaobjetos y agregarle resina con la finalidad de ya secado la muestras de roca llegar a pulir una parte de la superficie y reconocer las propiedades con luz reflejada.

Para verificar y tener información más certera de la mineralización presente en la zona de estudio se realizaron análisis químicos de óxidos mediante Fluorescencia de rayos X y caracterización de minerales mediante microscopia electrónica.

Con la ayuda de la información obtenida de los minerales determinados en el afloramiento y con la clasificación del tipo de rocas se realiza un mapa litológico, determinando zonas favorables para la explotación, esto con la finalidad de que sólo se use materiales necesarios y se realice un buen manejo de recursos no renovables.

INFORMACIÓN DEL ÁREA DE ESTUDIO 1.2

1.2.1 Localización y Acceso

El área de estudio se encuentra localizada entre los cantones Nobol y

Daule en la provincia del Guayas, a 33 km de la ciudad de Guayaquil, entre

un ramal de la Cordillera de Chongón Colonche y la ribera del río Daule.

Las observaciones geológicas de campo se las realizaron en la

carretera y en las vías secundarias que limitan al afloramiento conocido como

loma SAN JOSÉ, cuya georeferenciación se observa en la tabla 1.1 y mapa

1.1.

El afloramiento está limitado:

Norte: Con el Cantón Durán

Sur: Con el Cantón Guayaquil

Este: Con Río Daule

Oeste: Con Isidro Ayora y Lomas de Sargentillo

El acceso a la zona de estudio mediante vía terrestre se inicia desde

Guayaquil por la vía Daule (E48) con dirección al noroeste, recorriéndose 32

km hasta llegar al redondel del cantón Nobol, desde allí se gira a la derecha y

se cruza el puente sobre el río Daule para finalmente situarse en el punto de

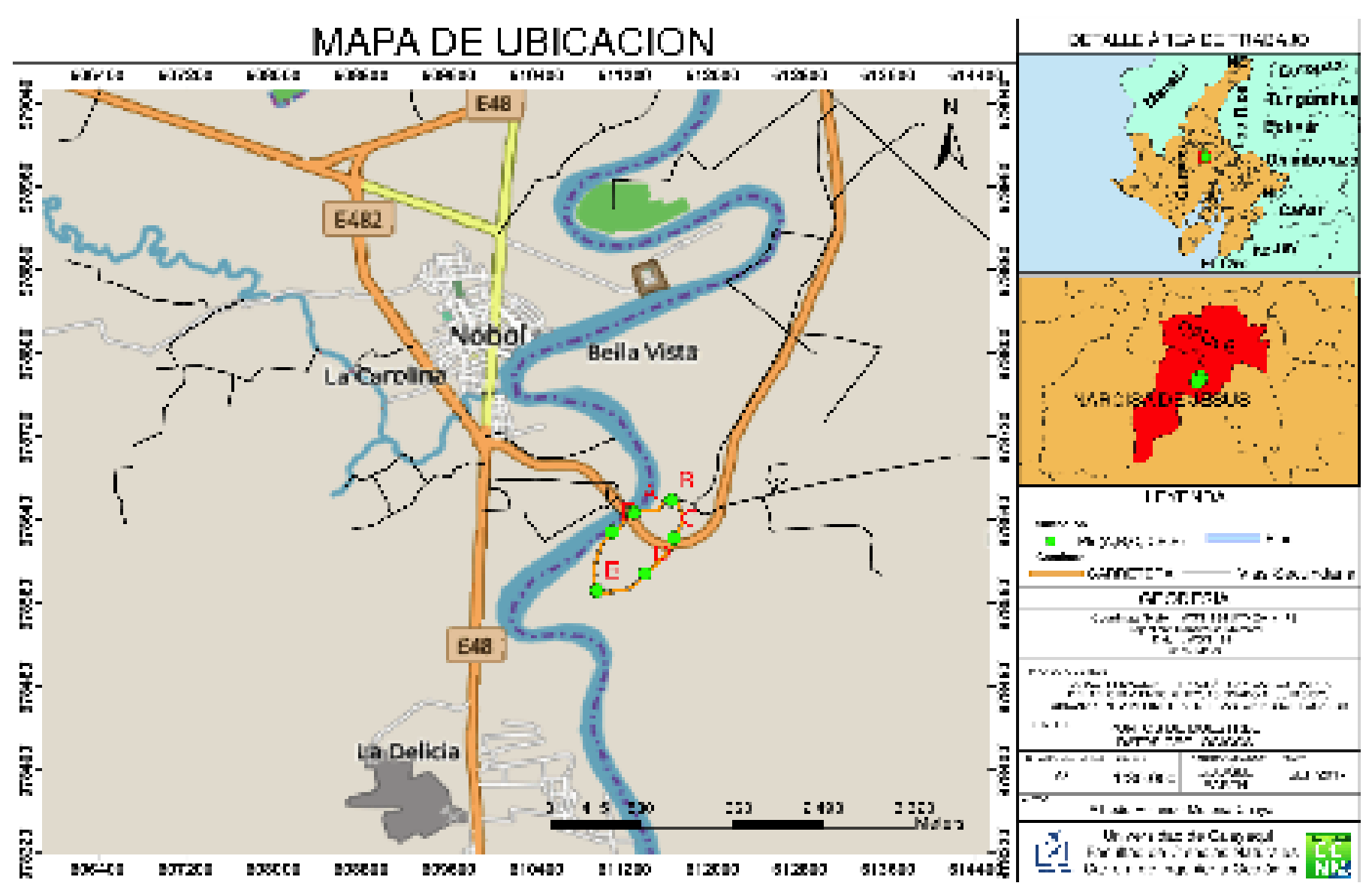
exploración.

3

Tabla 1.1 Coordenadas del área de estudio.

	Coordenadas		
Puntos	Datum: UTM-WGS 84. Zona 17S		4. Zona 17S
	Х	Y	Cota (m)
Α	611280	9786465	766
В	611631	9786583	772
С	611648	9786222	1101
D	611388	9785884	1101
E	610950	9785719	1100
F	611092	9786281	1097

Fuente: Datos tomados por Autor, noviembre , 2016



New Hill Committee on the control of the Transportation of Indian Second for Allian (Class Coopie Curt.)

1.2.2 Clima y Vegetación

Según el PLAN DE DESARROLLO Y ORDENAMIENTO TERRITORIAL DEL CANTON NOBOL, 2014-2019. (PDyOT - Cantón Nobol 2014-2019). El Cantón se encuentra compartiendo dos zonas climáticas, una zona de clima Tropical Megatérmico Húmedo y una zona tropical Megatérmica Semi-Húmeda, con temperaturas diarias de 24 a 27°C, y precipitaciones anuales de 700 a 1100 mm.

En su territorio se encuentran zonas de déficit hídrico para actividades agrícolas con precipitaciones de 500 a 700 mm con zonas de evapotranspiración potencial, precipitaciones de 1500 a 1600 mm que varía incrementándose desde oriente a occidente. El número medio de días secos anuales varía desde 150 a 180, periodo que va de julio a diciembre. El número de días del período vegetativo favorable para la agricultura va de 140 a 150 entre enero a junio.

Dentro de la división hidrográfica de la Cuenca, la mayor parte del cantón está inmerso en la subcuenca del Río Daule, y un 12.3% se encuentra en drenajes menores.

La categoría agrícola (cultivos anuales, semipermanentes y permanentes) con 6.695,44 hectáreas que representan el área predominante en el uso de la tierra del cantón, correspondiente al 48,65%; la categoría conservación y protección (vegetación natural) tiene una extensión 6.023,07

hectáreas lo que significa un 43,77%. (Ver tabla 1.2)

Las cinco categorías de uso restantes: pecuario, agropecuario mixto, antrópico, forestal y agua, con una extensión de 1.042,97 hectáreas representan tan solo el 7,58 % del total de la superficie del Cantón Nobol. (PDOT - Cantón Nobol 2014-2019).

Tabla 1.2 Uso del cantón Nobol con la vegetación.

CATEGORIAS DE USO DEL CANTON NOBOL		
USO	ÁREA Ha.	%
AGRICOLA	6.695,44	48,65
PECUARIO	186,56	1,36
AGROPECUARIO MIXTO	36,99	0,27
ANTROPICO	366,26	2,66
CONSERVACION Y PROTECCIÓN	6.023,07	43,77
FORESTAL	291,34	2,12
AGUA	161,82	1,18
TOTAL	13.761,48	100,00

Fuente: https://www.goo.gl/XVDLZJ

1.3 OBJETIVOS

1.3.1 Objetivo General

Determinar los tipos de rocas en función de la mineralogía del cuerpo ígneo para definir litologías y aportar a la génesis de la unidad geológica estudiada.

1.3.2 Objetivos Específicos

- Definir la composición mineralógica y tipo de roca mediante cortes petrográficos y calcográficos, análisis químicos (MEB-EDS) y fluorescencia de rayos X.
- Estimar la génesis y paragénesis de la roca mediante comparación de otros estudios realizados en el basamento ígneo de la Costa del Ecuador.
- Determinar áreas productivas de calidad de roca para la industria de agregados de asfalto, por presencia de minerales.

1.4 MATERIALES Y METODOLOGÍA

La metodología al estudio que se utilizó fue la recopilación de información sobre rocas ígneas, petrografía de minerales. Para la cartografía se utilizó un Sistema de Información Geográfico (SIG), programa Quantum-Gis (Q-GIS). Para el desarrollo del proyecto se requirió de los implementos geológicos necesarios para el campo, laboratorio y gabinete. Para la primera actividad se utilizo:

- Martillo geológico
- Combo
- Brújula Brunton
- Lupa x 10 y x20 aumentos
- Lápiz de dureza con imán

- Ácido Clorhídrico
- Libreta de campo
- Poscisionador Satelital (GPS)

Las muestras fueron preparadas en el laboratorio y se requirió de los siguientes materiales:

- Portaobjetos de vidrio de 0,05mm de espesor de 5x4cm
- Resina Epoxy
- Polvo de carburo de silíceo
- Glicerol
- Agua destilada

En gabinete se trabajó en el laboratorio de Petrografía y Mineralogía se utilizó el siguiente equipamiento:

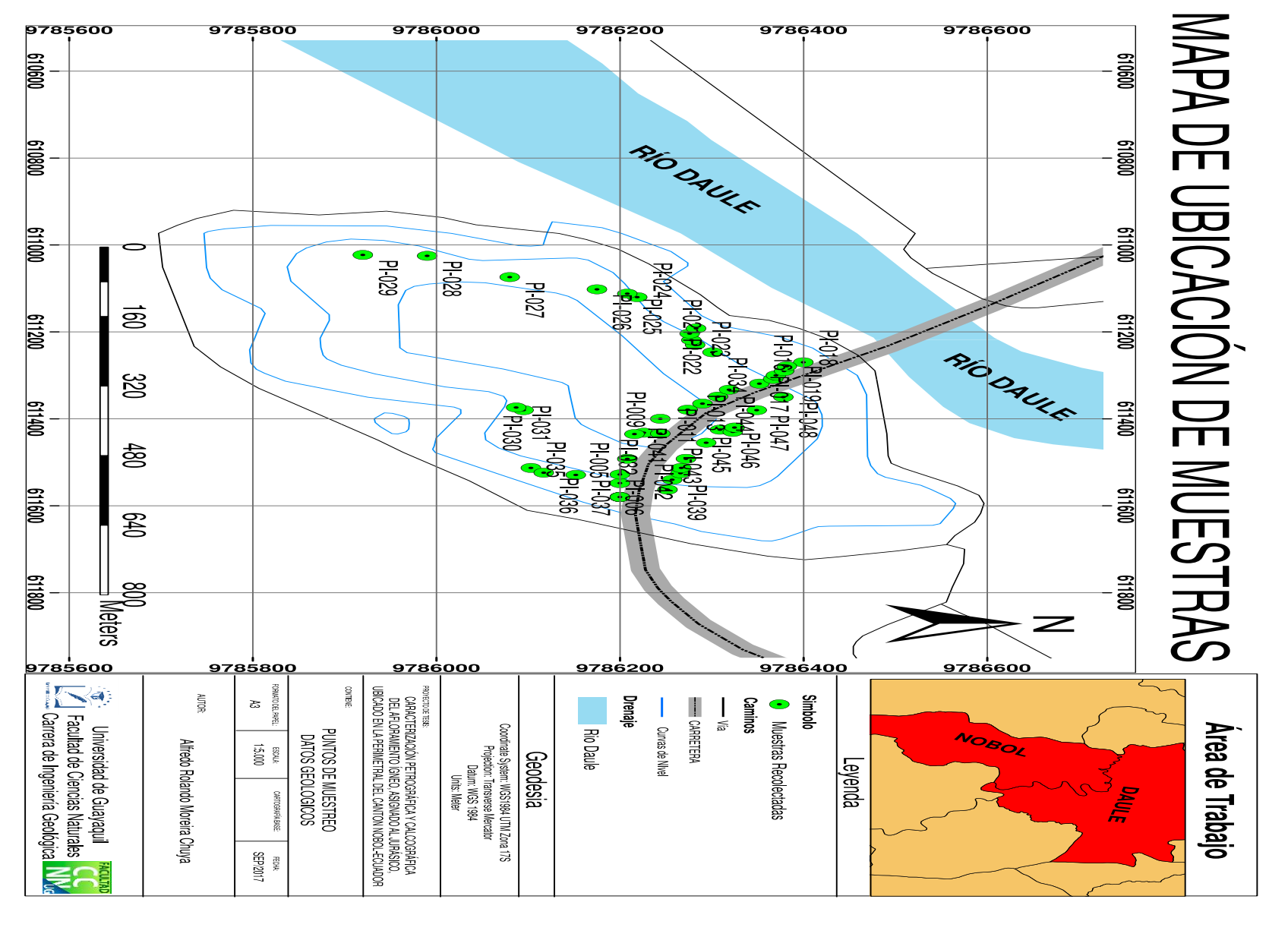
- Estereomicroscopio
- Estereomicroscopio digital
- Muestras de mano
- Láminas delgadas y opacas de rocas
- Microscopio petrográfico de luz transmitida y reflejada

•

1.4.1 Actividades en campo

Las muestras fueron recolectadas mayormente en el afloramiento expuesto a la vía por el corte que han realizado para la construcción de la vía perimetral Nobol – Daule.

Las muestras se tomaron cada 20 metros o en un punto donde se observaba alguna alteración (ver mapa 1.2). El total es de 48 muestras, 12 se ensayaron para petrografía de minerales transparentes y 5 muestras para minerales opacos. En 4 muestras se realizaron Fluorescencia de rayos X (FRX), así como su descripción en microscopio electrónico (MEB) con análisis químico (EDAX).



Mapa 1.2 Puntos de ubicacación de muestra, vista de planta. Fuente: Autor

1.4.2 Actividades en Laboratorio

Los cortes de rocas primario se realizaron en el laboratorio de la Facultad de Ciencias Naturales de la Universidad de Guayaquil. Este primer corte es necesario para que las muestras puedan ser procesadas en cortes petrográficos para láminas delgadas.

El corte secundario consiste en seleccionar las caras más interesantes de las rocas, por contener minerales. Esta cortadora se denomina máquina de corte abrasivo METACUT 251, y pertenece al laboratorio de Petrografía de la Facultad de Ciencias de la Tierra (FICT) de la Escuela Superior Politécnica del Litoral (ESPOL), tiene cuchillas de tugsteno con un medidor de espesores para definir el ancho del corte petrográfico. Posteriormente, se sigue el siguiente proceso:

- Se adhiere la cara de interés de la roca al portaobjetos de vidrio con resina epoxy, ya cuando se ha secado, cerca de 60 minutos en la plancha secadora eléctrica.
- Se procede al siguiente corte.
- El corte es pulido con la preparación de carburo de silíceo y glicerol hidratado que es dosificado en la máquina pulidora metalográfica
 FORCIPOL 2V.

Todos estos procedimientos deben ser verificados mediante la observación en el microscopio petrográfico de luz transmitida, para evitar que la resina deje ingresar burbujas de aire, y en cuanto al pulimento, hay que tratar de evitar perder los minerales y sus formas (foto 1.1).



Foto 1.1 Láminas petrográficas para luz transmitida. Fuente: autor.

Las microfotografías fueron tomadas mediante una cámara digital de 13 Mega Pixel.

Las láminas opacas, se realizaron en el laboratorio de la petrografía de la FICT de la ESPOL en un total de 4 muestras (foto 1.2) y también se elaboraron 2 muestras en Departamento de Investigación en Recursos Geológicos del Instituto Geológico y Minero de España (IGME) y la Universidad de Oviedo en España (UNIOVI). Posteriormente, se sigue el siguiente proceso:

- Cortar la roca de 3x2 cm
- Lubricar los moldes.
- Mezcla de la resina poliéster y el endurecedor y agitar durante un 1 minuto aproximadamente.
- Poner la muestra de roca en el molde.
- Colocar la resina hasta que cubra en su totalidad la muestra, no agitar demasiado para evitar la formación de burbujas.
- Luego se lo lleva al plato caliente.
- Se lo debe dejar 24 horas para su endurecimiento.







Foto 1.2.- Proceso de las láminas opacas. Fuente: Autor.

Como complemento a los estudios realizados en la Universidad de Guayaquil se estudiaron un número limitado de muestras (4) en el Instituto Geológico y Minero de España (IGME). Estos estudios consistieron en la descripción de cuatro láminas delgadas y 2 probetas pulidas mediante MOP y MEB. Además, se realizó un análisis químico mediante FRX de las cuatro muestras de roca en los Laboratorios de la Universidad de Oviedo (UNIOVI). Los resultados obtenidos fueron interpretados y relacionados con los descritos en Ecuador e incorporados conjuntamente en la memoria.

- MEB: JEOL 6010 PLUS/LA Touchscope con Filamento termoiónico de W, voltaje hasta 30 Kv (rango de 0,5-30 Kv) en 43 pasos. Corriente de sonda de 1 pA a 1 mA.
- MOP: (luz transmitida y Luz reflejada). Leica DM 6000. Motorizado-Automatizado.

1.4.3 Actividades en Gabinete

La metodología que se sigue para reconocer las propiedades de los minerales es mediante el uso del microscopio de luz polarizada y luz reflejada, en un microscopio petrográfico como se indica en la figura 1.1. Luego se realiza un conteo de los minerales para utilizar los diagramas ternarios que permiten reconocer el tipo de roca.

La luz que utiliza el microscopio es la luz natural que atraviesa un

polarizador que hace que la luz ya no vibre en todas las direcciones, sino que vibra en un solo plano. Este consta de 2 dispositivos que polarizan la luz.

- a) Polarizador
- b) Analizador

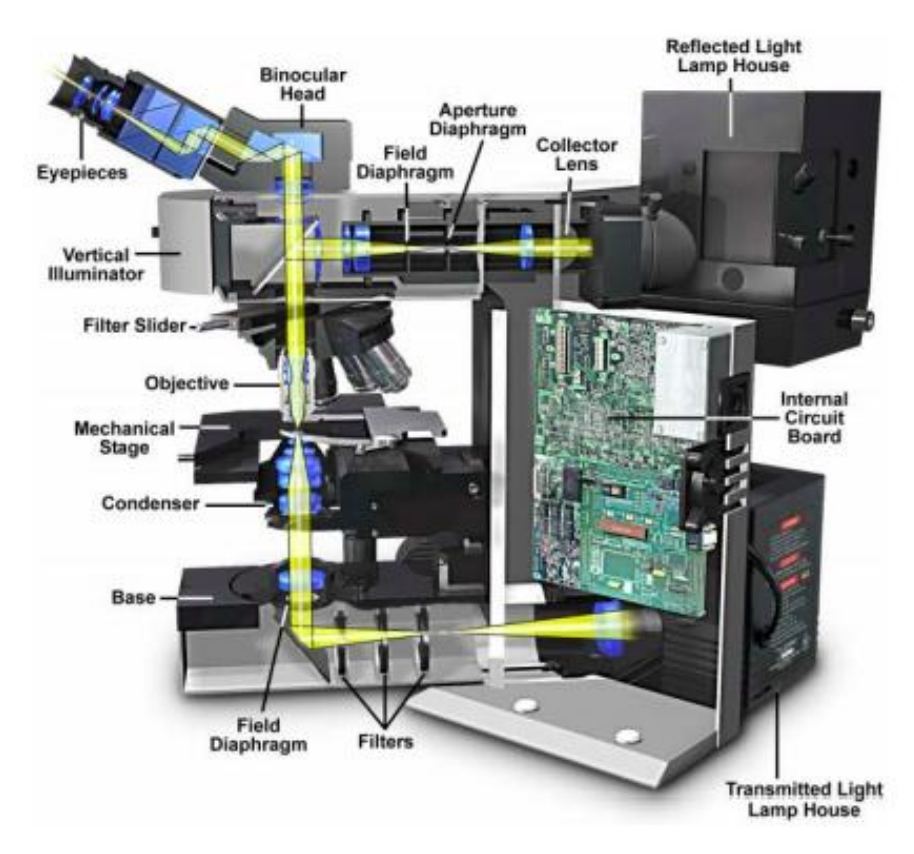


Figura 1.1 Partes del microscopio de polarización. **Fuente:** Davidson, MW, y Abramowitz, M. (2002)

La laminas delgadas o transparente fueron observadas en microscopios petrográficos de luz polarizada de marca CARL ZEISS JENA con lentes de aumentos 4/0,10 - 10/0,25 – 32/0,10, pertenecientes a la Facultad de Ciencias Naturales de la Universidad de Guayaquil y a la Escuela Superior Politécnica del Litoral. Las propiedades ópticas de los minerales que se estudian para reconocer la presencia de los mismos son: (Rengel, 1999)

Tabla 1.3 Propiedades ópticas con nicoles paralelo.

Propiedades ópticas con Nicoles Paralelo El relieve según se destaque en el campo visual se clasifica en relieve bajo, relieve moderado, Relieve relieve alto o fuerte. Relieve bajo en plagioclasas de muestras PI 027 la amarilla En el caso de los minerales Isótropos, el color permanece constante al girar la platina; Pleocroísmo pero los minerales anisótropos presentan una propiedad especial y al girar la platina cambian los tonos de su color, Foto corresponde a la epidota este efecto se conoce como muestra PI 019 Pleocroísmo. Es la tendencia que muestran minerales a fracturarse según planos regulares. Estos Exfoliación planos corresponden direcciones privilegiadas de la 0 estructura cristalina. Son planos clivaje reticulares con una alta Muestra PI 007 de la muestra una densidad de átomos. Foto de olivino y plagioclasa con habitos típicos fuertemente unidos por enlaces.

Fuente: Autor

Tabla 1.4 Propiedades ópticas con nicoles cruzado.

Propiedades ópticas con Nicoles Cruzado			
Extinción	Muestra PI 008. Extinción oblicua en plagioclasa 45º	Extinción Paralela: cuando ocurre en la dirección vertical u horizontal, paralela a la dirección de polarización de los nicoles. Extinción Oblicua: cuando ocurre con cierto ángulo de desviación de la dirección vertical u horizontal. Extinción Simétrica: ocurre en los minerales con clivaje rómbico, cuando las diagonales de los rombos son paralelas a la dirección de los	
Birrefringencia	Muestra PI 015. La variación de colores de interferencia	Propiedad que controla la aparición de los colores de interferencia.	
Maclas		Las maclas son asociaciones de cristales de la misma naturaleza regidas según leyes geométricas precisas ligadas a los elementos de simetría del sistema cristalino considerado. Una macla se puede desarrollar por contacto de una cara definida o por interpenetración de cristales.	

Fuente: Autor.

En el caso de minerales opacos, la técnica empleada para su caracterización fue la microscopía de reflexión. Esta técnica permite el reconocimiento de las fases minerales presentes en una sección pulida a través de la identificación de sus propiedades ópticas al microscopio, con luz reflejada. El interés de esta técnica en el desarrollo de una mineralogía analítica aplicada está basado en su capacidad de competir con la química analítica, en problemas específicos (Berrezueta et al., 2002; Castroviejo et al., 2009).

La descripción de las propiedades cualitativas observables al microscopio (color, pleocroísmo, dureza, anisotropismo, reflexiones internas, etc.), separa estas propiedades según sean observadas con nicoles paralelos (sin analizador) o con nicoles cruzados (con analizador) en el microscopio óptico de reflexión.

Para clasificar una roca ígnea en base a su moda, se utilizan el diagrama ternario de Streckeisen, 1976 (figura 1.2), en los que se representan los contenidos de minerales primarios.

El diagrama utiliza los parámetros que se indican en la Tabla 1.5.

Tabla 1.5 Parámetros para uso del diagrama de streckeisen

Q	Polimorfos de SiO2	Típicamente cuarzo, aunque también tridimita y cristobalita en algunas rocas ígneas cristalizadas a altas temperaturas
A	Feldespato alcalino	Incluyendo feldespato potásico (sanidina, ortosa y/o microclina) y albita (término de la serie de las plagioclasas con porcentajes molares de anortita entre 0 y 5 %
P	Plagioclasas	Todos los términos de la serie de las plagioclasas con porcentajes molares de anortita entre 95 y 100 % y escapolita.
F	Feldespatoides	Leucita, pseudoleucita, nefelina, analcima, sodalita, noseana, kalsilita, haiiyna, cancrinita
M	Minerales máficos	Micas, anfíboles, piroxenos, olivino), minerales opacos en luz transmitida (magnetita, ilmenita), epidota, allanita, granate, melilita, monticellita, carbonatos primarios y accesorios (circón, apatito, titanita, etc.).

Fuente: https://www.goo.gl/79N1UP.

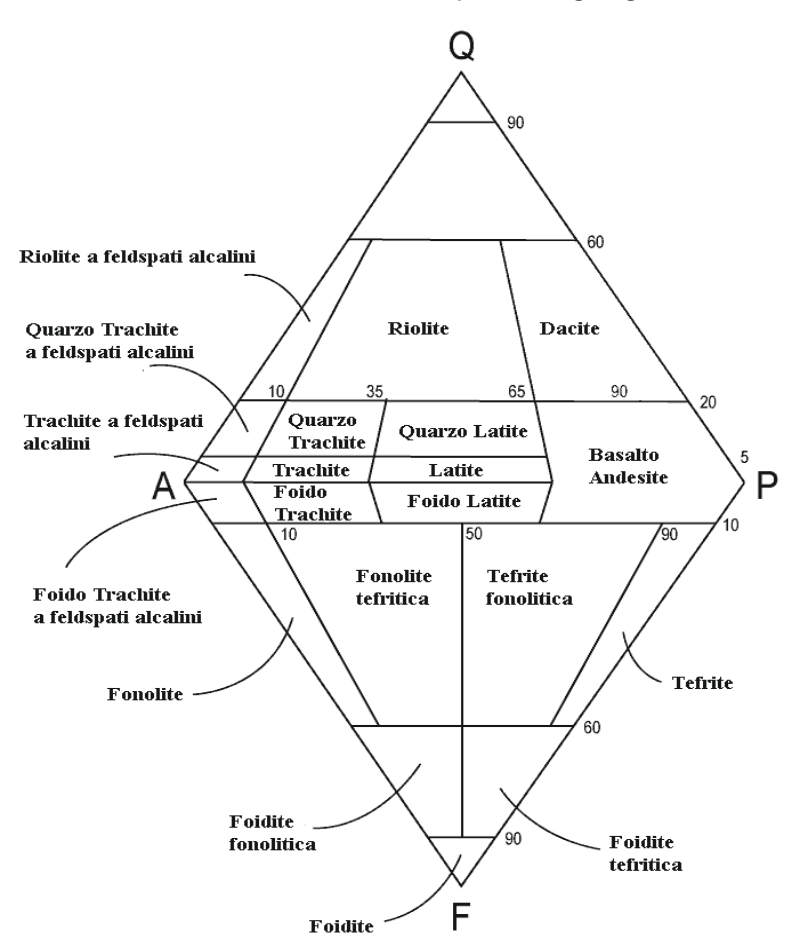


Figura 1.2 Diagrama de Streckeisen para rocas volcánicas. **Fuente:** https://www.goo.gl/TafWGo

El conteo de minerales en rocas ígneas de textura afanítica es arduo, y se sigue la siguiente metodología (figura 1.3 A).

- Se realiza una foto digital de la muestra.
- Se sobrepone una malla de 12 por 12 líneas.
- Se analiza los minerales que se encuentran bajo de las intersecciones.

Por medio de un listado estadístico de todas las intersecciones se calcula los porcentajes totales y normados. Los datos obtenidos van en la ficha de la Figura 1.3 B

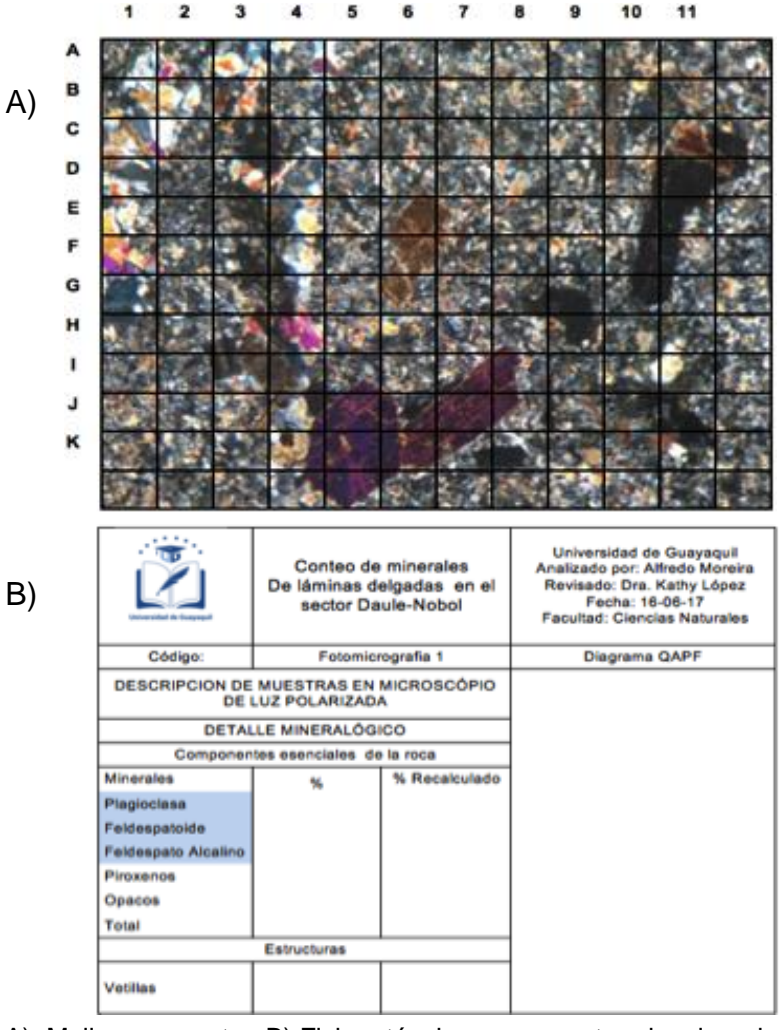


Figura 1.3 A). Malla para conteo B) Fichas técnicas para conteo de mineral. Fuente: Autor.

Una vez identificadas las tipologías de rocas mediante el estudio petrográfico se procedió al desarrollo de una cartografía en detalle del cuerpo Ígneo. La caracterización geológica del cuerpo ígneo se plasmó mediante cortes geológicos y una cartografía a escala 1: 1000 donde, además de la información recolectada en el campo se incorporó la obtenida mediante análisis petrográficos. La cartografía se realizó en un Sistemas de Información Geográfica (SIG) de acceso libre como Quantum SIG, que permitió determinar una cartografía temática más específica sobre zonas con uso potencial en la industria. La elaboración de esta cartografía temática se sustentó en las propiedades de las rocas definidas mediante petrografía y en las valoraciones que se dan en la literatura científica sobre las propiedades de las rocas según su tipología.

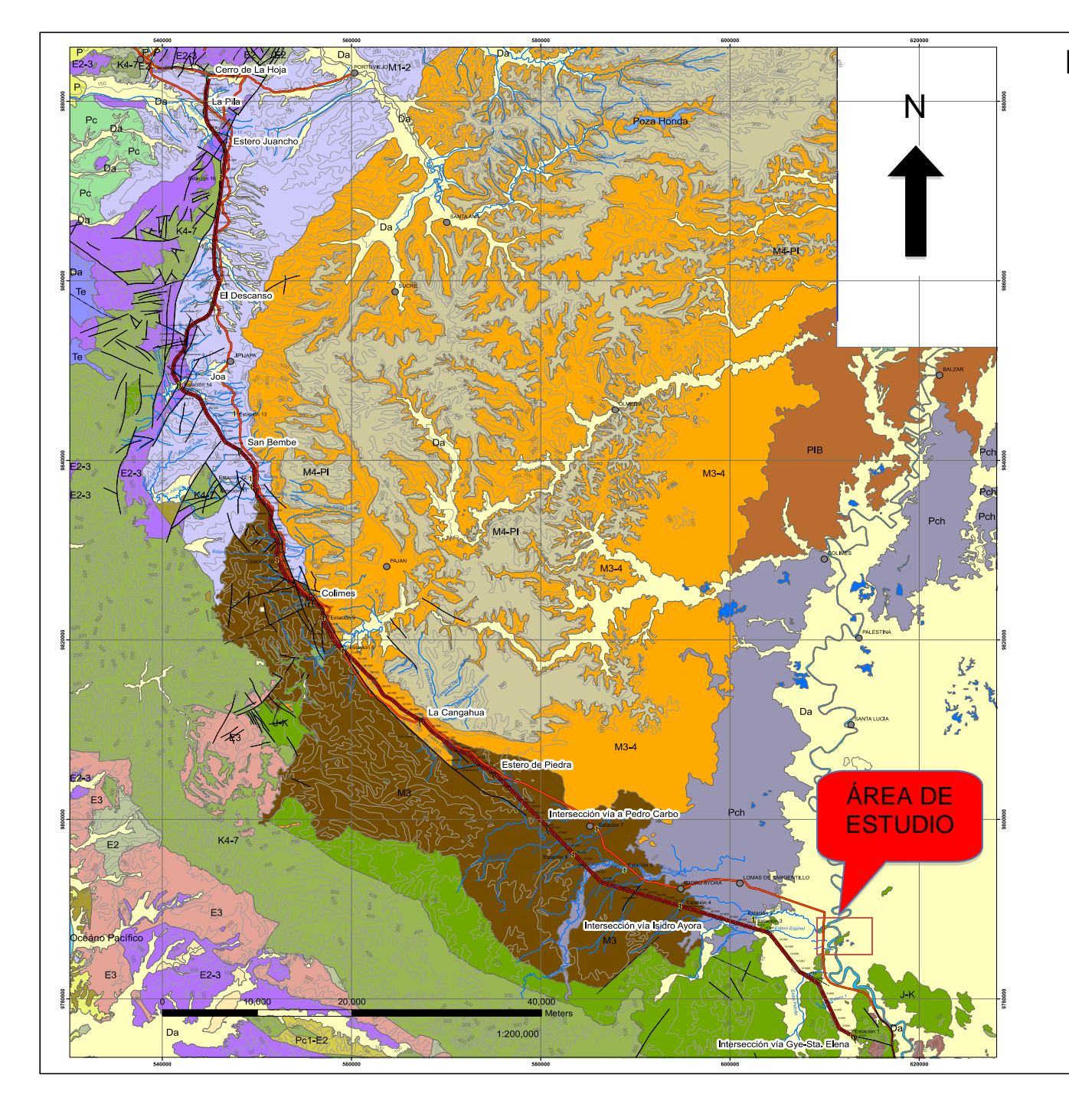
CAPÍTULO II

MARCO GEOLÓGICO REGIONAL

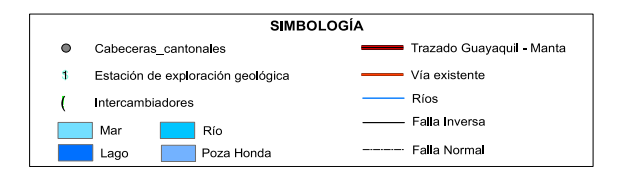
Las descripciones de la geología regional de este trabajo están enfocadas principalmente en el complejo ígneo de la Formación Piñón, de manera especial en el Bloque Piñón de Guayaquil, ubicado al Sur del Bloque Costero, como se indica en la mapa 2.1.

Esta zona inferior está limitada al Oeste por una cadena montañosa costera entrecortada (conocidas como las montañas de Jama-Mache, Cerro de Manta y Cordillera Chongón Colonche), compuesta de núcleos de rocas volcánicas y sedimentarias del Mesozoico, superpuesta por sedimento terciarios. Estas montañas y la estrecha zona costanera en le margen del Pacífico, especificadamente en la península de Santa Elena, tiene un clima sedimentario, excepto en las regiones Norteñas (Esmeraldas) y Sureñas (Guayaquil-Machala). (Baldock, 1982, p.12)

Las descripciones litológicas y estratigráficas que se hacen para la cobertura sedimentaria de este trabajo, son solo informativas, pues esta investigación está únicamente caracterizando una localidad puntual de material asignado inicialmente a la Fm. Piñón, por tal razón se citan descripciones breves de la Fm. Calentura, Fm. Cayo y Fm. Guayaquil.



MAPA GEOLÓGICO REGIONAL





PROYECTO DE TESIS:

CARACTERIZACIÓN PETROGRAFÍCA Y CALCOGRÁFICA DEL AFLORAMIENTO ÍGNEO, ASIGNADO AL JURÁSICO, UBICADO EN LA PERIMETRAL DEL CANTÓN NOBOL-ECUADOR

AUTOR:

ALFREDO ROLANDO MOREIRA CHUYA

Fecha:

SEP/2017

Mapa 2.1 Geología del Bloque Piñón, al sur se reconoce el área de estudio. Fuente: Hojas geológicas Instituto Nacional de Investigación Geológico Minero Metalúrgico del Ecuador INIGEMM



Escala: 1:200.000



Mapa 2.1 Geología del Bloque Piñón, al sur se reconoce el área de estudio. Fuente: Hojas geológicas Instituto Nacional de Investigación Geológico Minero Metalúrgico del Ecuador INIGEMM

2.1 FORMACIÓN PIÑÓN (JURÁSICO - ALBIANO)

2.1.1 Historia

Se denomina a así a las rocas que constituyen el basamento máfico de los bloques costeros denominado Fm. Piñón. Originalmente, el término "Piñón" fue introducido por Tschopp (1948) para referirse a la Rocas volcánicas emplazadas en el norte de Guayaquil, y extendiéndose hacia el oeste hacia Nobol y Pedro Carbo. Los primeros trabajos propusieron una edad de cristalización Jurásico Tardío al Cretácico Temprano (Sauer, 1965; Tschopp, 1948), principalmente basado en ensamblajes bioestratigráficos alojados sobre la base de rocas sedimentarias (Thalmann, 1946).

Goossens and Rose (1973) propusieron que las rocas volcánicas oscuras y básicas en la costa, y más generalmente en los Andes septentrionales, debe ser llamado como el Complejo Básico Ígneo (CBI), implicando un origen común sobre una área extensa. Este término se utilizó en Ecuador hasta que Lebrat (1985) demostró que las rocas volcánicas del CBI constituyen tanto del MORB (Basaltos de dorsales mid-ocenáica) como de un arco de islas, que pueden ser identificadas a lo largo de la región costera. Desde entonces, el termino Fm. Piñón se aplica para designar sólo a las rocas máficas más antiguas, con características geoquímicas de MORB.

La Fm. Piñón se consideró que representaba un remanente de suelo oceánico normal (Goossens and Rose, 1973, Juteau *et al.*, 1977; Lebras *et al.*, 1987) hasta Reynaud *et al.*, (1999) demostraron que las rocas tienen

Características geoquímicas de rocas erupcionadas a partir de un *mantle-plumes*. Esta interpretación geoquímica corrobora la presencia de anomalías de un basamento grueso máfico que subyacente a la zona costera (Feininger y Seguin, 1983). Esto implica, que algunos de los bloques oceánicos que forman el antearco pudieron ser de una gran provincia ígnea (Reynaud *et al.*, 1999, Kerr *et al.*, 2002). Anteriormente la Fm. Piñón fue usada para designar a rocas máficas expuestas en el trasarco de la costa ecuatoriana, que extruyó sobre un *mantle-plume*.

La Fm. Piñón se extiende en todo el bloque costero del Ecuador, excepto en el bloque de Santa Elena, donde no ha sido posible distinguirlo. En los otros bloques (Mapa 2.1) no es fácil distinguir entre la Fm. Piñón y las rocas volcánicas de arco de islas que le sobreyace, y frecuentemente ambas unidades son mapeadas como Fm. Piñón (figura 2.1 y 2.2).

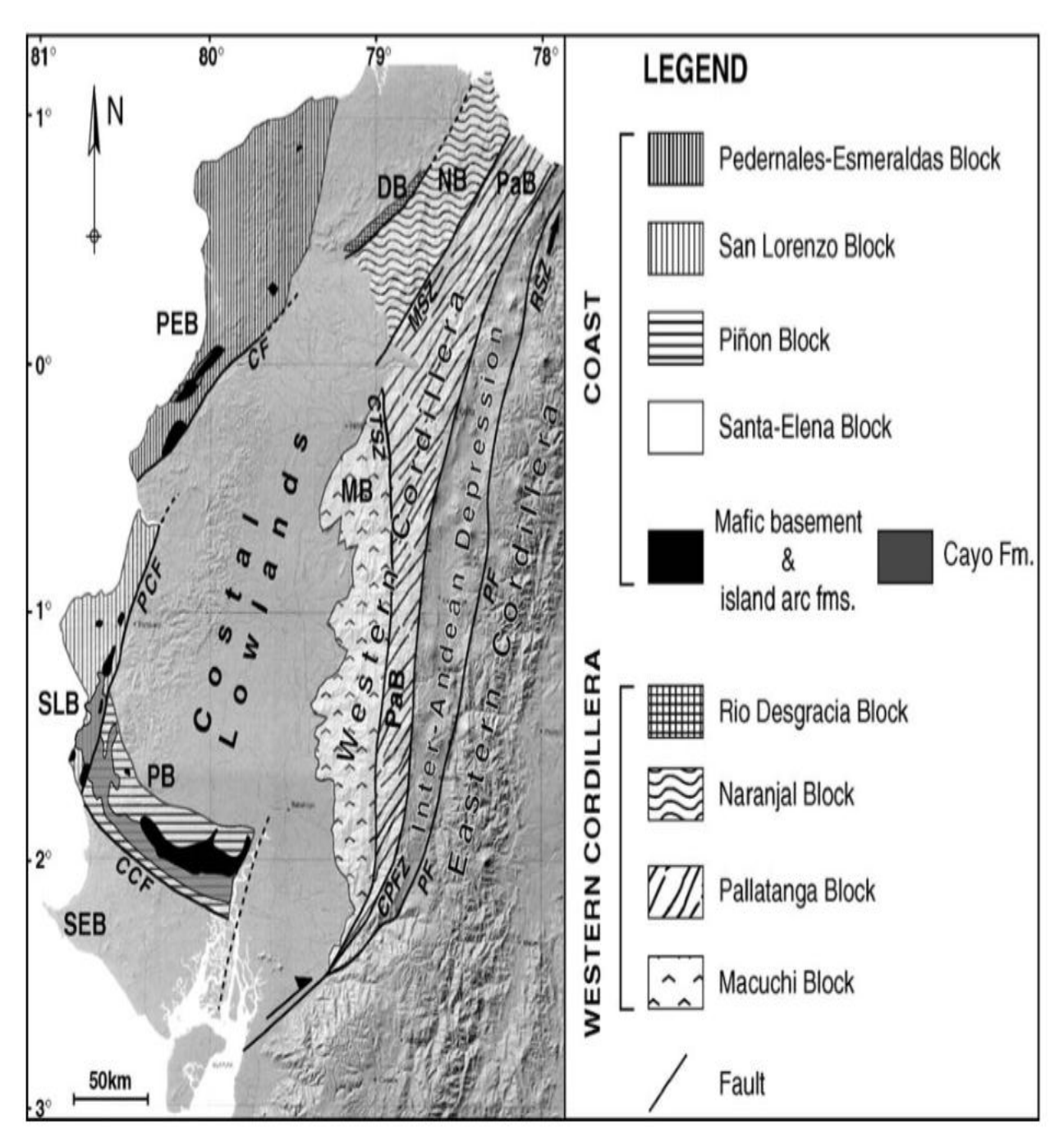


Figura 2.1 Mapa de unidades tectonoestratigráficas en el antebrazo ecuatoriano. Abreviaturas: CCF, falla Chongón-Colonche; CF, falla de Canandé; CTSZ, zona de corte Chimbo-Toachi; CPFZ, zona de falla Calacalí-Pujilí; DB, Bloque Desgracia; MB, bloque Macuchi; MSZ, Mulaute Shear Zone; NB, Bloque Naranjal; PaB, bloque Pallatanga; PB, Piñón Block; PEB, bloque Pedernales-Esmeraldas; PCF, falla Puerto Cayo; PF, Pallatanga Falla; RSZ, Romeral Suture Zone; SEB, bloque Santa-Elena; SLB, bloque San Lorenzo. La Falla de Pallatanga es la extensión ecuatoriana de la Zona de Falla Romeral. Plano de elevación digital de fondo de Souris. **Fuente**: (Luzieux *et al.*, 2006).

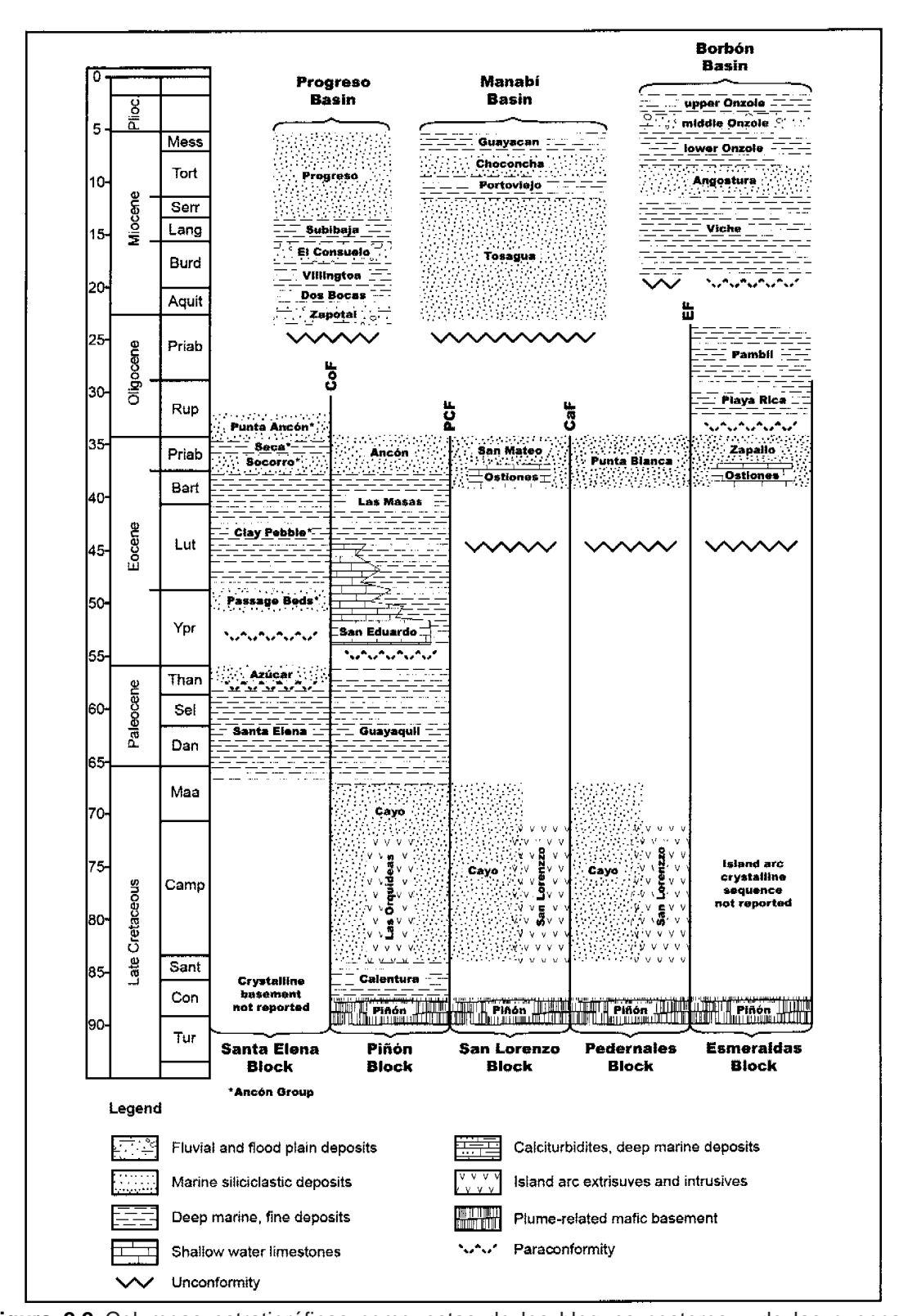


Figura 2.2 Columnas estratigráficas compuestas de los bloques costeros y de las cuencas neogénicas sobrepuestas. Abreviaturas: CoF, Falla de Colonche, PCF, Falla de Puerto Cava, CaF, Falla de Canande, EF, Esmeraldas Pauli Escala de tiempo de Gradstein *et al.*, (2004). **Fuente:** Luzieux 2007.

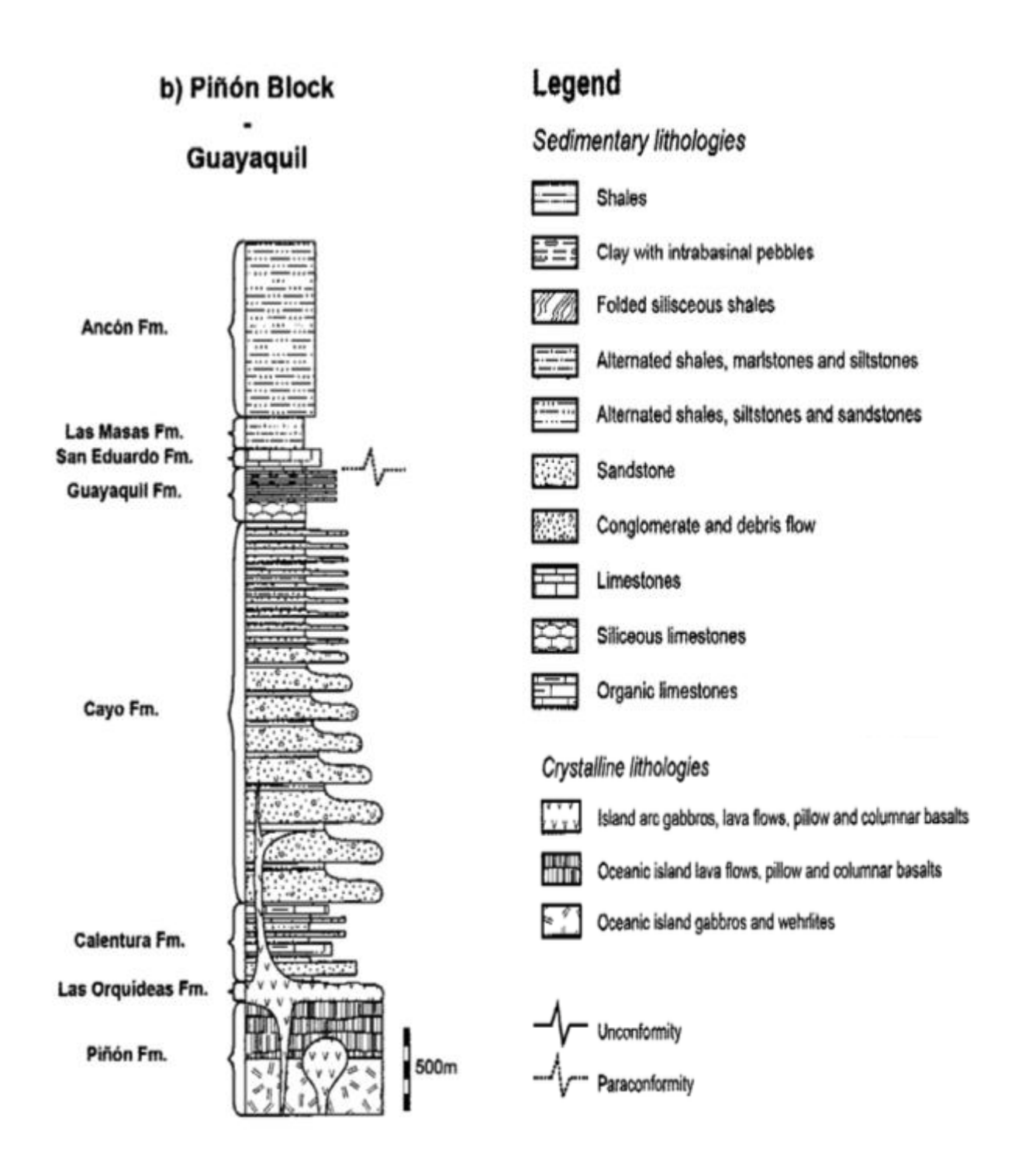


Figura 2.3 El bloque de Piñón, y de Guayaquil en el antebrazo costero sur. La escala métrica vertical se aplica para espesores de formación, no para camas individuales. Las compilaciones se basan en este trabajo y Benítez (1995). **Fuente:** Luzieux 2007

2.1.2 Litología y Petrología

La Fm. Piñón está representada por una amplia gama de litologías máficas, entre las que se incluyen las wehrlitas, los gabros, los flujos de lava, basaltos columnares y en almohadillas. Las rocas tienen metamorfismo de bajo grado representado por zeolita y facies de prehnita-pumpellyita (Raharijohana, 1980; Lebrat, 1985; Reynaud *et al.*, 1999).

En afloramientos al sur se localizan exposiciones de los bloques Piñón y San Lorenzo, y su litología es de basaltos y doleritas que contienen microlitos de plagioclasa y clinopiroxenos glomeroporfíricos que están incrustados en una matriz de vidrio pobre. En algunos casos, se puede observar la presencia de ortopiroxenos, pero han tenido un reemplazo principalmente por esmectita y clorita. Los gabros principalmente contienen piroxeno y plagioclasa (raramente se encuentra hornblenda), y tienen una estructura granular subeudrale. Las wehrlitas muestran una textura poikilítica, con cristales de olivino euhedral, a veces contenidos en grandes láminas de piroxenos.

Las exposiciones del Norte, que son los bloques Pedernales y Esmeraldas ambos, tienen en su litología basaltos en almohadilla en los que se distingue vidrio en almohadilla y hialoclastitas picríticas. Los basaltos almohadillados fíricos están compuestos por fenocristales de clinopiroxeno y plagioclasas sostenidos en una matriz de microlitos de plagioclasa y clinopiroxeno. Las hialoclastitas se componen de vidrio, el cual está

parcialmente reemplazado por palagonita, y contienen fragmentos picríticos y basálticos.

2.1.3 Atribución estratigráfica

Los autores que iniciaron las investigaciones en este complejo, asignaron una edad de cristalización que oscilaba entre el Jurásico y Albiano (Thalmann, 1946; Marks, 1956; Faucher and Savoyat, 1973; Jaillard *et al.*, 1995), basado en las relaciones radiométricas K / Ar y correlaciones bioestratigráficas.

Los intentos a la fecha del basamento por el método de K / Ar en roca total, revelaron edades entre 50 y 120 Ma (Goossens and Rose, 1973; Kennerley, 1980; Pichler and Aly, 1983; Wallrabe, 1990). Sin embargo, estas edades no son fiables, e indican dos razones, la primera porque no siempre está claro si las muestras analizadas son de la Fm. Piñón o son del arco de isla que le sobreyace, debido a que no hay datos geoquímicos para diferenciar entre estos dos tipos de rocas volcánicas, y segundo porque el rango amplio para estas edades permite sugerir que algunas rocas han experimentado la pérdida parcial de ⁴⁰Ar, que no puede ser cuantificada por el método K / Ar. Por lo tanto, estas edades no pueden utilizarse para proporcionar una medida cuantitativa exacta de la edad de la Fm. Piñón.

En las dataciones realizadas por Luzieux 2007 definieron una edad de 88.8 ± 1.6 Ma (2 σ) en 40 Ar / 39 de hornblenda, de un gabro localizado cerca de la ciudad de Nobol (coordenadas de UTM: 610094; 9787726, WGS 84).

Además, los análisis de datos geoquímicos para las tierras raras y otros elementos, son comparables a los datos previamente publicados en los que relacionan estas rocas con el *mantle-plume* en Ecuador (Reynaud *et al.*, 1999; Kerr *et al.*, 2002), confirmando la atribución estratigráfica de esta muestra para la Fm. Piñón (figura 2.3).

2.1.4 Correlación

El basamento máfico cristalino sería proveniente de un *mantle-plume* que está presente en los otros bloques a lo largo de la costa, incluyendo los bloques de San Lorenzo, Pedernales y Esmeraldas (Reynaud *et al.*, 1999; Kerr *et al.*, 2002), donde también se lo conoce como Fm. Piñón, esto a pesar de que no ha sido datada radiométricamente. Kerr and Tarney (2005) propusieron sobre los análisis geoquímicos que estas rocas pueden haber sido derivadas de dos puntos calientes oceánicos, con ubicaciones geográficas diferentes pero situados en la región del Pacífico. Sin embargo, Luzieux 2007 excluyen la posibilidad de que los remanentes de estas dos grandes provincias ígneas estén emplazados en toda la costa.

2.2 FORMACIÓN CALENTURA (CONIACIANA - SANTONIANA)

2.2.1 Historia

El término para Fm. Calentura fue introducido por primera vez por Thalmann (1946) refiriéndose al miembro basal de rocas volcanoclásticas de la Fm. Cayo. Este autor determino que Biostratigráficamente correspondía a una edad Cenomanian-Turonian (100-90 Ma). Esta información también se ha utilizado para inferir la edad del complejo que la subyacente, Fm. Piñón. Sin embargo los actuales estudios bioestratigráficos, argumentan una edad Coniaciana a Santoniana.

2.2.2 Ocurrencia

La Fm. Calentura Se encuentra al norte de Guayaquil, y más generalmente al lado este Del Bloque Piñón. La Formación se adelgaza y finalmente se aprieta en la parte occidental del bloque. No se conocen afloramientos fuera del bloque Piñón, unos pocos afloramientos son fácilmente accesibles en los campos del Consorcio Las Iguanas, (Laboratorio de lixiviados y gases), Vía a Daule (km14.5), al norte de Guayaquil y la sección más completa se encuentra en el Río Guaraguau, al NW de Guayaquil.

2.2.3 Litología

El Fm Calentura se compone de capas decimétricas de lútitas negras que están intercaladas con turbiditas calcáreas, calizas orgánicas, margas y radiolaritas (figura 2.4). Hacia la parte superior de la formación, hay aproximadamente 5 metros de estratos decímetricas de areniscas y limolitas

(Río Guaraguau, coordenadas UTM: 595636; 9775610, WGS84). La sección de Río Guaraguau es de unos 70 m sin embargo, la Formación podría estar más desarrollada en otros lugares, ya que Benítez reporta un espesor de 400 m en Guayaquil. (Benítez, 1995).

La Fm. Calentura se superpone a la Fm. Piñón (Figuras 2.1a y 2.1b), aunque el contacto no ha sido observado. Los nuevos datos radiométricos y bioestratigráficos presentados en por Luzieux 2007 indican que existe un contacto entre ambas formaciones. La transición entre la Fm. Calentura y la Fm. Cayo es gradual, con un aumento del material clástico hacia la parte superior.

2.2.4 Ambiente de deposición

Las lútitas negras, calizas, margas y radiolaritas indican un ambiente marino de tipo depositacional hemipelágico.

En secciones delgadas, Luzieux 2007 reconocen calizas con una composición dominante de *mudstone*. Ocasional se observan los wackestones, donde los bioclastos están rotos y flotan en una matriz dominada por materia orgánica fina. Los bioclastos incluyen piezas de briózoos, foraminíferos pelágicos, bentónicos y aglutinados. Los Packstones son escasos y se formaron por deposición de lagunas de foraminíferos. Ocasionalmente se observa trazas de actividad bacteriana. La abundancia de materia orgánica en la matriz, indica un ambiente depositacional tipo anóxico. El escaso desarrollo

de los restantes foraminíferos pelágicos y los pequeños tamaños indican que el ambiente disóxico en el que vivieron fue, por razones desconocidas, bastante hostiles.

Las areniscas graduadas y las limolitas, que aparecen en la parte superior de la formación, contienen clastos derivados de rocas volcánicas (piroxenos, hornblendes y vidrio volcánico), que fueron transportados a al ambiente hemipelágico, a través de flujos turbidíticos.

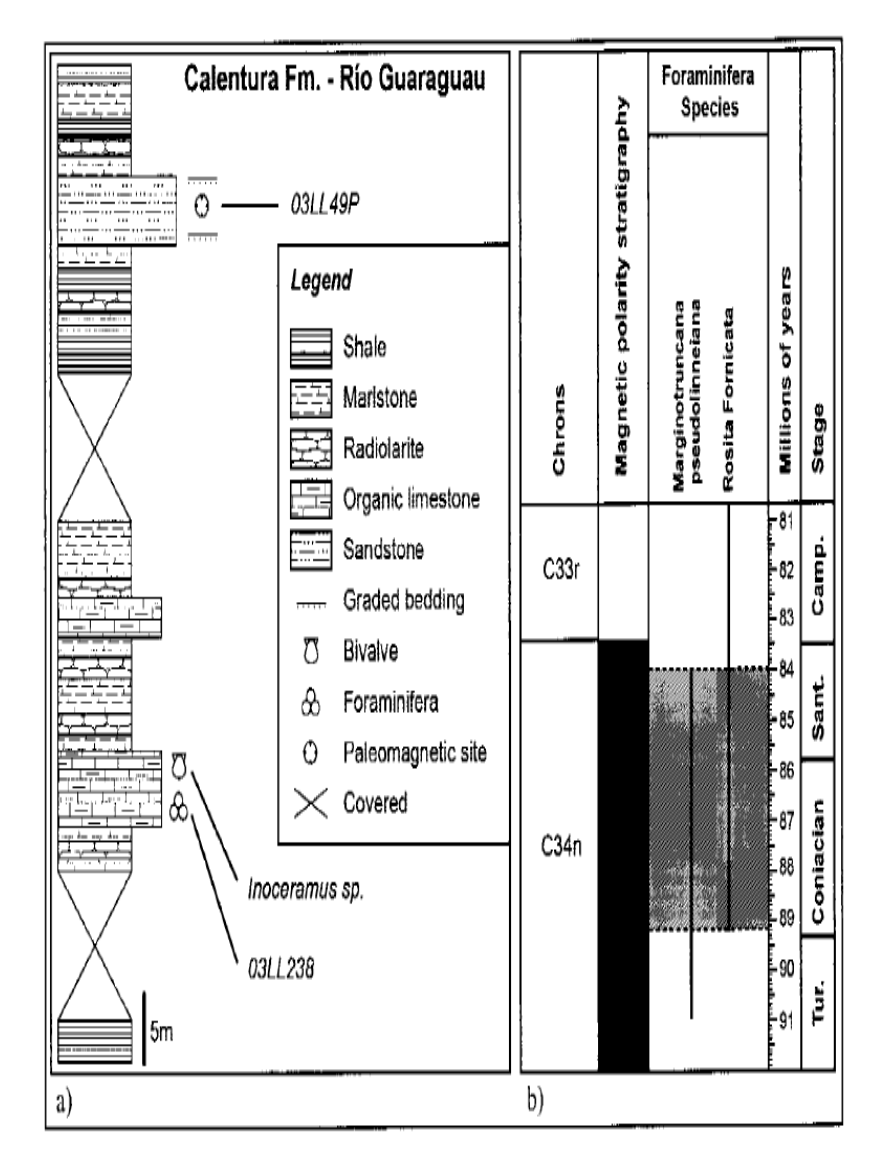


Figura 2.4 (A) litología de la Fm. Calentura., Guaraguau. (B) Biozonas de fauna foraminífera planctónica en la muestra 03LL230, Fm. Calentura Rio Guaraguau. Escala tiempo después Gradstein et al. (2004), escala bioestratigráfica después de Premoli Silva and Verga (2004) y escala de polaridad magnética después de Cande and Kent (1995). Fuente: Luzieux 2007

2.3 FORMACIÓN LAS ORQUÍDEAS

2.3.1 Historia

El término " miembro Las Orquídeas " fue introducido por primera vez por Benítez (1995) para rocas volcánica que se encuentran en los suburbios del norte de Guayaquil, quien la propuso para representar el componente volcánica efusivo de la Fm. Cayo. Más tarde, Reynaud *et al.* (1999) demostraron que las rocas geoquímica hacen distinguibles con una isla oceánica de afinidad, distinguiendo en de la *pluma mantle*-relacionados a rocas magmáticas de la Fm. Piñón por otra parte, se sugiere que la Fm. Cayo debe constituir estrictamente a las rocas sedimentarias y por lo tanto las rocas volcánicas proximal situado a Guayaquil están asignados a la Fm. Las Orquídeas.

2.3.2 Litología y petrología

La Fm. El Orquídeas se compone de microgabbros intrusivos y basaltos que forman estructuras de almohada. Basaltos y textura porfídica tiene microgabros muestran con fenocristales de piroxeno con frecuencia que sustituyó por clorita y esmectita. La masa fundamental es rica en plagioclasa, y esta parte sustituido por esmectita y clorita.

La naturaleza de los contactos entre los volcánica de Fm. Las Orquídeas el clástico de la Fm. Cayo Subyacente y Fm. Calentura no se entiende completamente, porque no es posible identificarlo en el afloramiento sin embargo, diques máficos invaden la parte basal del Fm. Cayo (Benítez, 1995)

lo que sugiere que un componente de la Fm. Las Orquídeas son coetáneas o más jóvenes que la Fm. Calentura.

2.3.3 Atribución estratigrafía

La asignación de la estratigrafía Fm. Las Orquídeas principalmente están sin restricciones. Reynaud *et al.* (1999) sostiene la localidad, ya no existe (por lo tanto impidiendo su localidad), basaltos de almohada de la Fm. Las Orquídeas están concordantemente cubierta por la Fm. Calentura sin embargo, un estudio previo por Stalin Benítez (1995) afirma que no estaban presentes almohadas en los tipos de localidad (Stalin Benítez, comunicación personal, este archivo persona muestras los administrados analizados en Reynaud *et al.* (1999). En consecuencia, las muestras contempladas por Reynaud *et al.* (1999) de mayo-have archivo terminado el juego Gestionado de un cuerpo intrusivo, y por desgracia el resultado nunca será resuelta debido a la destrucción del afloramiento.

Aunque se requieren observaciones de datación radiométrica y / o nuevo campo para determinar las filas estratigráficas de la Fm. Las Orquídeas revirtieron la magnetización Grabado en el Fm. Las Orquídeas implica que la formación volcánica esta parcialmente más joven que la Fm. Calentura que está confirmada por relaciones intrusivas. Sin embargo, Luzieux 2007 prefieren asignar a las lavas y a las mayorías de rocas intrusivas como un equivalente del Fm. San Lorenzo, basado en los datos geoquímica de un arco de Islas en los datos paleomagnéticos.

2.4 FORMACIÓN CAYO (MAASTRICHTIAN - PALEOCENE)

2.4.1 Historia

Olsson (1942) asignó a la Fm. Cayo inferior a las facies marinas de rocas sedimentarias expuestas en los acantilados de Puerto Cayo (ubicado en el Bloque San Lorenzo), esta tiene litologías similares en el área de Guayaquil que también fueron asignadas a la Fm. Cayo (Thalmann, 1946; Bristow, 1976). Romero (1990) incluyo a Las Orquídeas y Calentura, como miembros de la Fm. Cayo, este autor presenta estudios más detallados sobre la formación del Bloque San Lorenzo y Benítez (1990) sobre el Bloque Piñón.

2.4.2 Litología

La Fm. Cayo consiste típicamente de secuencias repetitivas y delgadas de estratos de color verde oliva claro, flujos de escombros volcánicos y turbiditas silicificadas.

El espesor máximo de la Fm. Cayo Se estima en Guayaquil (a lo largo de la sección de circunvalación), aproximadamente 2400m. El espesor de la formación disminuye gradualmente hacia el noroeste, y la formación desaparece en la zona de Portoviejo - Manta. La sección reportada en el Bloque Pedernales tiene un espesor máximo de unos pocos cientos de metros.

La Fm. Cayo es generalmente más silicificado en el Bloque Piñón que en otros lugares y contiene sólo unos pocos clastos de piedra pómez, que se observan comúnmente en exposiciones más septentrionales.

Fm. Cayó sobreyace a la Fm. Calentura en el Bloque Piñón. El contacto no puede ser observado, pero estratos regionales similares observados en ambas formaciones indican una naturaleza concordante a para-concordante. La Fm. Cayo está en concordancia por debajo de la Fm. Guayaquil, la que fue depositada durante el Maastrichtian-Paleocene (Keller *et al.*, 1997).

En los bloques San Lorenzo y Pedernales, la Fm. Cayo descansa en la Fm. Piñón o en la Fm. San Lorenzo. La naturaleza del contacto no se ha caracterizado porque no se ha observado. Las Fms. San Mateo y Punta Blanca del Eoceno están por sobre Fm. Cayo en una discordancia angular (Romero, 1990; Benítez, 1995).

2.4.3 Ambiente de deposición

La parte inferior de la serie está compuesta principalmente de clastos volcánicos angulares a subangulares, incrustados en una matriz de fragmentos volcánicos más pequeños de Orto y clinopiroxeno, hornblenda, Plagioclasa, óxidos y vidrio volcánico.

La Fm. Cayo se hace más fina hacia su parte superior, que va acompañada de un aumento gradual de la fracción de bioclastos que se vuelven dominantes en la parte superior de la formación. Las espículas de esponja y los esqueletos radiolarianos son los principales responsables de la cementación silícea en la parte superior del Fm. Cayo también están presentes los foraminíferos bentónicos y plantónicos. Los foraminíferos plantónicos tienen

pruebas anormalmente finas, que a menudo se rompen y se aprietan debido a la compactación del sedimento. La abundancia de microcavidades de mm a cm de ancho hacia la parte superior de la formación es indicativa de una actividad significativa de la bioturbación.

La tendencia al alza general de la melladura observada en el tamaño de grano y el espesor de la cama probablemente refleja la erosión progresiva del área volcánica de la fuente. Sin embargo, la profundización de la cuenca debido al hundimiento general (son asociada con la sumergencia de la fuente), también puede haber contribuido a la tendencia al alza de la finalización. Las mallas más pequeñas y de segundo orden se interpretan como el resultado de la migración lateral de los depocentro de ventiladores medianos e inferiores en un entorno de aguas profundas.

Varios moldes de flauta observados en Los Frailes (Bloque San Lorenzo, coordenadas UTM: 523169, 9835803. WGS 84) indican una dirección de flujo desde NE a SW, sin considerar las rotaciones post-deposicionales que el bloque obviamente experimenta. Esta observación es consistente con indicadores de paleo-transporte del flujo similares al este similares, aunque pocos, reportados tanto en los bloques de Piñón como de San Lorenzo (Benítez, 1995). Las trazas de betún se encuentran comúnmente en pequeñas grietas y poros, que probablemente derivan de la migración de hidrocarburos desde la Fm. Calentura subyacente.

2.5 FORMACIÓN GUAYAQUIL (MAASTRICHTIANO)

2.5.1 Historia

Thalman (1946) y Sheppard (1946) describieron por primera vez la Fm. Guayaquil, en el suburbio de Guayaquil conocido como San Pedro; en este lugar el cuerpo expuesto no es muy largo. Benítez en 1995 propuso una nueva localidad del afloramiento en un redondel de la vía noroeste Guayaquil-Salinas.

2.5.2 Litología

La Fm. Guayaquil está compuesta de aproximadamente 300 m de estratos con espesores centimétricos a disimétricos, de calizas silíceas con nódulos de chert, areniscas turbidíticas y limos de tufitas intercalados con lútitas y estratos de cenizas en la base de la columna estratigráfica (~ 90m) de la formación existe estratos centimétricos a disimétricos de calizas silíceas negras, nódulos de chert y limolitas marrones. En la parte media (~ 200m), las areniscas tufitas son de disimétricas a métricas y alternan con calizas silíceas. Las areniscas se vuelven progresivamente más calcáreas y ricas en materia orgánica hacia la parte superior.

El techo de la Fm. Guayaquil (~ 20m) está compuesto de calizas silíceas, con algunas deformaciones sedimentarias (estructuras sedimentarias de deslizamiento) que están intercaladas con areniscas turbidíticas. Ocasionalmente se reconocen diques sedimentarios estos rellenos de areniscas en la parte media y baja de la formación.

Mejía (1997) propuso que las areniscas turbidíticas fueran depositadas por flujos las paleo-corrientes desde el SSW, basado de un estudio de la imbricación de granos. Desafortunadamente, el autor no aclaró sus criterios para distinguir entre imbricación de granos, aguas arriba o aguas abajo, y sus conclusiones no han sido verificadas por otras publicaciones. Sin embargo, Benítez en una comunicación indicó que la imbricación se derivaría de una corriente de aguas arriba, los cuales se predicen con modelos predictivos (Rusnak, 1957) y observaciones (Spotts, 1964) que sugieren que las direcciones paleocorrientes fueron del S-SW, confirmando las conclusiones de Mejía (1997).

El contacto entre la Fm. Guayaquil y la Fm. Cayo que la subyacente, es concordante; el contacto entre la Fm. Guayaquil y las calizas del Eoceno de la Fm. San Eduardo, está sobrepuestas en paraconformidad.

2.5.3 Atribución estratigráfica

La Fm. Guayaquil fue depositada durante el Maastrichtiano al paleoceno tardío, de acuerdo con las asociaciones de radiolarios encontrados (Benítez, 1995). Los miembros inferiores y medios fueron estudiados a detalle por Keller *et al.*, (1997), específicamente para definir que esta formación está localizada en el límite del Cretácico – Terciario.

CAPÍTULO III

GEOLOGIA LOCAL

Los resultados encontrados durante el desarrollo de esta tesis de grado han sido los siguientes:

- El inventario e identificación de los rasgos geológicos y estructurales del afloramiento estudiado.
- El estudio y caracterización petrográfica de las muestras recolectadas en el afloramiento volcánico mediante técnicas de microscopía: (MOP) y Microcopia electrónica (MEB) y análisis químicos (FRX). Análisis de láminas y probetas con luz reflejada y luz transmitida, respectivamente.
- Estimación del Esfuerzo de Compresión Uniaxial
- Desarrollo de una cartografía detallada preliminar (geológica y temática)
 mediante el uso de la información recolectada en el campo y los análisis
 en laboratorio.

3.1 RECONOCIMIENTO GEOLÓGICO DE CAMPO

La descripción de la geología local incluyó, la descripción y medición de datos estructurales, litológicos, y estratigráficos in situ, destacando la naturaleza y el tipo de roca y suelos modernos, presencia de fallas geológicas

meteorización química y física, medida de espesores, secuencia cronológica de formación, y finalmente, grados de alteración.

En general, el cuerpo ígneo estudiado presenta una exposición de roca que se encuentra sin mucha alteración (roca fresca) en todo el afloramiento. El afloramiento inicia en la abscisa 1+700 hasta 2+100 de la vía perimetral Daule-Nobol.

Un primer estudio se enfocó a establecer perfiles o cortes geológicos en el cuerpo aflorante (Figura 3.1). Éstos permitieron extraer una información general sobre principales estructuras y litología presentes. Los perfiles desarrollados (A, B, C y D) se representan por medio de fotos panorámicas (foto 3.1, 3.2, 3.3 y 3.4).



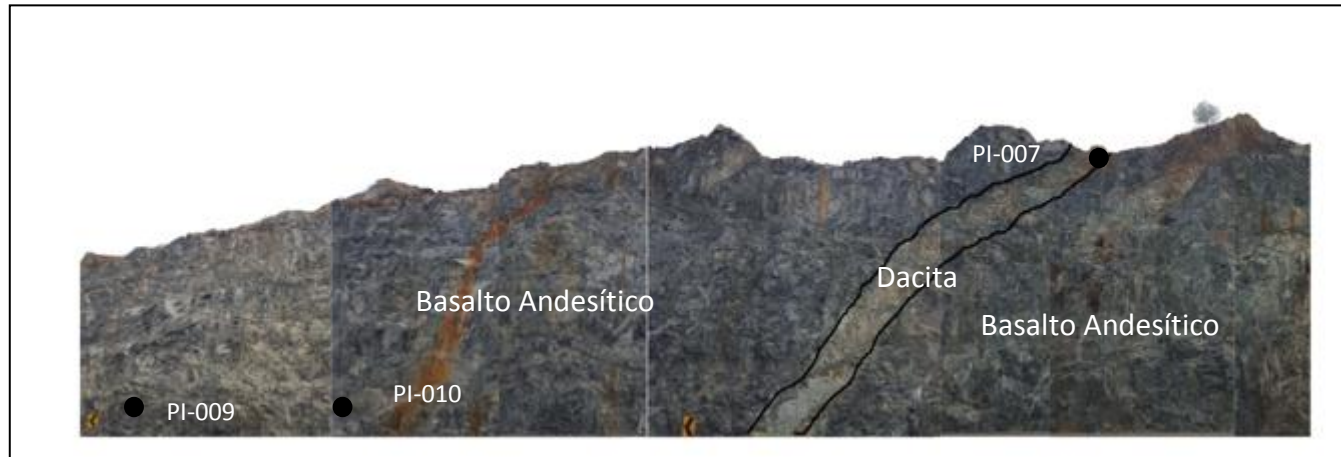
Figura 3.1 Ubicación de Perfiles fotográficos. Fuente: Google Earth.

El Perfil A se inicia con la descripción desde el sureste, iniciando por la abscisa 1+700. En este sector se reconoce meteorización del cuerpo ígneo, seguido esta el cuerpo de rocas volcánicas en el que se reconoció diferenciaciones magmáticas. Estas son de dos tipos, una de color gris oscuro y otra de color gris muy claro. Aquí también queda expuesta una falla de tipo inversa debido a los esfuerzos compresivos de la zona (foto 3.1).



Foto 3.1 Fotografía panorámica del Perfil A. Muestras PI 002 y PI 001 Basalto Andesítico. **Fuente**: Autor.

El Perfil B está entre las abscisas 1+940 hasta 1+770. Aquí se reconoce y la diferenciación magmática, como diques, de color gris claro, que ingresa en el magma predominante de color gris oscuro (foto 3.2).



44

Foto 3.2 Fotografía panorámica del perfil B. Fuente: Autor

El Perfil C presenta un cuerpo un color gris oscuro desde la abscisa 1+760 hasta 1+700. En la parte superior se reconoce meteorización de las rocas ígneas, y gran parte de este material ya ha sido removido por erosión (foto 3.3).



Foto 3.3 Fotografías panorámicas de la zona meteorizada. Fuente: Autor.

El Perfil D se encuentra en frente de los perfiles A, B y C. En la Foto 3.4 Se reconocen los dos frentes de exposición de las rocas y se puede ver los diferentes colores para los magmas.



Foto 3.4 Vista de los diques en el afloramiento. Fuente: Autor.

Los datos recolectados en los perfiles permitieron distinguir posibles cambios en la litología aflorante y, por lo tanto, planificar la toma de muestras para la correcta caracterización de tipologías de rocas mediante petrografía y geoquímica. Además, se pudo recolectar datos sobre contactos y estructuras generales que sirvieron para el desarrollo de la cartografía detallada.

Dentro del trabajo de campo también se describió las características litológicas de las muestras tomadas junto con las coordenadas de recolección (Tabla 3.1). Esto permitió una descripción del afloramiento específico de zona aledaña a la del muestreo.

En campo, las muestras recolectadas fueron descritas y etiquetadas. Las muestras fueron analizadas para obtener las propiedades físicas que permitieran clasificarlas preliminarmente. Las propiedades descritas fueron, color, textura, magnetismo, reacción al HCI, estimación de dureza de la roca con el golpe del martillo geológico y otras características como fisuras y sus rellenos. En general, una primera clasificación por su color permitió diferenciar 4 grupos de rocas (que están en color gris oscuro, gris oscuro verde oliva, gris y gris claro). Posiblemente: Basalto, Basalto andesítico, diorita y roca volcánica alterada (meteorizada). Como información adicional fue posible establecer que gran parte de este afloramiento está afectado por un proceso posterior de fluidos que es reconocido por la presencia de vetillas rellenas de carbonatos, cuarzo y en algunos casos epidota (ANEXO I: Descripción de muestras de

rocas).

Muestra P-001

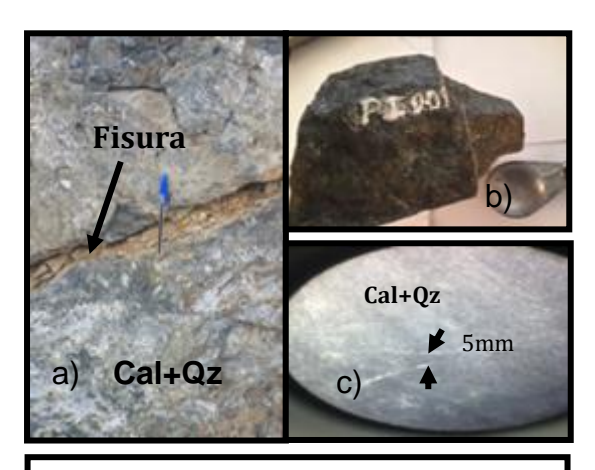


Foto 3.5.-Muestra P-001. a) Fisura de hasta 7cm de espesor b) Muestra de mano, c) reconocimiento macroscópico

El sector donde se tomó la muestra PI-001 es adyacente a la zona meteorizada, contiene fisuras de hasta 7 cm de espesor rellenas de pequeños fragmentos de rocas alteradas a arcillas (Foto 3.5 a), también se reconoce una pátina de carbonato, que es por donde se ha desprendido el bloque para dejar la roca en exposición.

La foto 3.5 b se reconoce que la roca es de textura afanítica, de color gris oscuro con vetillas de hasta 0,5 cm rellenas de carbonatos y cuarzo de color blanco lechoso. La muestra se rompe a los 1 -2 golpes.

Muestra P-004

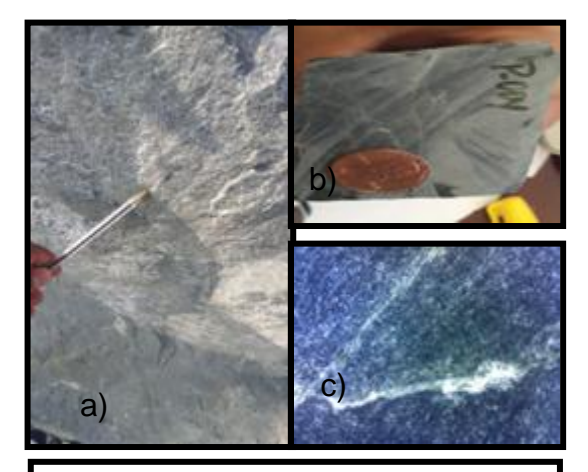


Foto 3.6.- Muestra P-004. a) Lugar donde se secciona. b) Muestra de mano, c) reconocimiento macroscópico.

La foto 3.6 a corresponde a un "espejo de falla", la misma que esta rellena de calcita y cuarzo. La muestra de mano, foto 3.5 b, de la roca de caja es de color gris oscuro con pequeñas vetillas de la misma mineralización, ver foto 3.6 c.

Muestra P-006

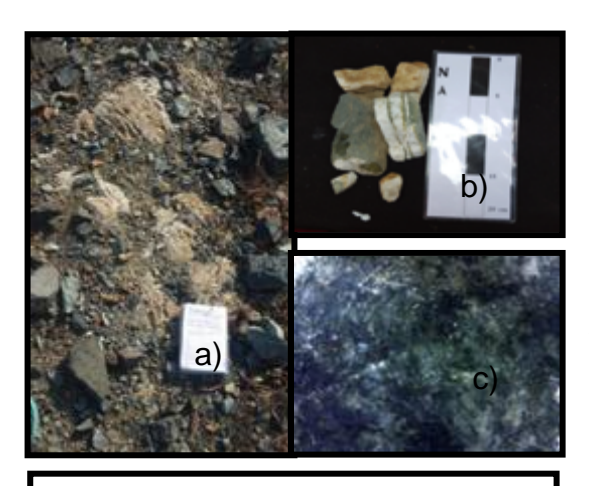


Foto 3.7.- Muestra P-006. a) Roca ígnea fresca. b) Muestra de mano, c) reconocimiento macroscópico

En el sector del punto muestreado se reconoce la presencia de una falla de mayor espesor que otras, llegando a medir hasta 3,5 cm, ver en la foto 3.7 a. La falla esta rellena de calcita y cuarzo. En algunos sectores se presenta zonas de oxidación de la roca, probablemente por alteración de la

pirita presente. En la foto 3.7 b se muestra la coloración verdosa asignada a epidota, en la muestra de mano de roca color gris oscuro.

Muestra P-011

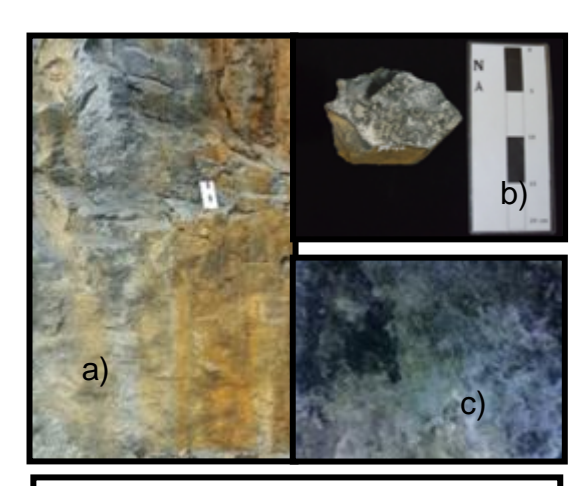


Foto 3.8- Muestra P-011. a) Lugar donde se secciona. b) Muestra de mano, c) reconocimiento macroscópico

La muestra es de la zona de oxidación de la parte superficial del cuerpo básico aunque también presenta una cobertura de calcita con cuarzo, ver foto 3.8 a. La roca es de color gris, en lupa digital se reconoce epidota por sobre la calcita (foto 3.8 b y c). No posee presencia de sulfuros.

Muestra P-012

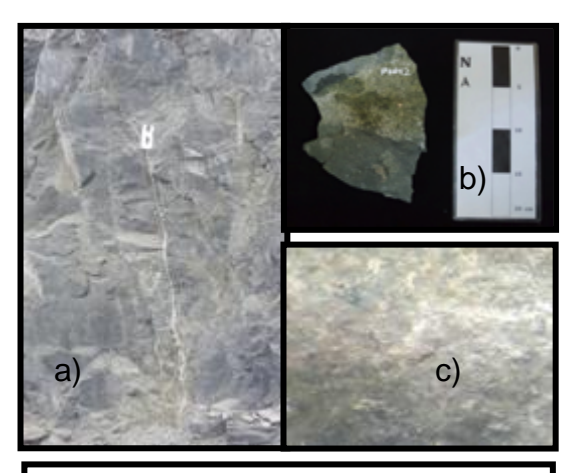


Foto 3.9.- Muestra P-012. a) Lugar donde se secciona. b) Muestra de mano, c) reconocimiento

muestra se reconoce un juego de tres fallas paralelas rellenas de calcita + cuarzo de hasta 5 mm de espesor. La roca de caja es de color gris (foto 3.9 a) y en la muestra de mano se reconoce pequeñas vetillas de hasta 2 mm y presencia de epidota, y muy bajo

En la zona de selección de

magnetismo.

Una descripción general de los datos recolectaros en el campo de presentan en la Tabla 3.1

Las muestras Pl039 y Pl048 tienen un alto magnetismo, las muestras Pl023, Pl029, Pl038, Pl042 y Pl044 tiene bajo magnetismo, Pl002, Pl035 y Pl040 son de muy bajo magnetismo.

Tabla 3.1 Ubicación de muestras de mano. Coordenadas en sistema UTM WGS-84, Zona 17 Sur.

Prof.			TABLA	A DE DESCRIPCION	N DE ROCAS DEL AF	LORAMIENTO DE ESTUDIO DAULE - NOBOL				
Code Part Code Part Code Code Code Code Part Code	FECHA: 25 de septiembre 2016				Muy bajo (Mb) Bajo (B)					
Description Control	COORDENADAS					DESCRIPCION				
Place	Código	x	Y	Color	una roca volcánica en el triángulo Q-A-P-F (Streckeisen,	Minerales	Magnetismo	DUREZA(Golpes de martillo)		
Pricase 1978-100 1978-200	PI-001	611580	9786200	gris oscuro	Basalto Andesítico	Presenta vetillas de hasta 5 mm compuestas de carbonatos y cuarzo.	Nc	1		
Procedure 1978-200	PI-002	611580	9786200	gris oscuro	Basalto Andesítico		Mb	3		
Probable	PI-003	611580	9786200	gris oscuro	Basalto Andesítico	pirita y calcopirita <1mm, ambas diseminadas pero también se las identifica en fisuras que están rellenas de cuarzo, carbonato y	Nc	3		
PRODE 611528 9782290 gris clara Dacido Conference (Conference (Con	PI-004	611580	9786200	gris clara	Dacita	Contiene cristales de calcopirira con tamaños entre 1mm y 0,003mm	Nc			
Price 11-120 978-0029 grs dars	PI-005	611548	9786200	gris	Basalto Andesítico		Nc	7		
PH-026	PI-006	611528	9786200	gris	Basalto Andesítico		Nc	7		
PHONE 611-00 978-0029 gris dars Decis Confines borderate cristative de calcoratina y fauras de havia C.3 No. 7	PI-007	611492	9786208	gris clara	Dacita	1 cm de espesor rellenas de carbonatos y cuarzo. La muestra está	Nc	7		
Pictor P	PI-008	611432	9786226	gris clara	Dacita	Contiene abundantes cristales de calcopirita y fisuras de hasta 0,3	Nc	7		
Pr.010	PI-009	611400	9786244	gris	Basalto Andesítico		Nc	3		
PR-011	PI-010	611379	9786274	gris oscura	Basalto Andesítico	calcopirita diseminada de hasta 1mm, además abundandte	Nc			
PR-012	PI-011	611365	9786290	gris	Basalto Andesítico		Nc	3		
Pi-013 611339 9786319 gris clara Ducila preference accoprated disemnada de lamanface de hastal 1 mm. No. 2 2 2 2 2 2 2 2 2	PI-012	611349	9786307	gris	Basalto Andesítico		Mb			
Pict 6 61339 9786322 gris evende cina Bassalho Andesilico Conferien Regiment and Estantia Com any operation and provide the basis of Common process catesportate. No. 4	PI-013	611333	9786319	gris clara	Dacita	Contiene calcopirita diseminada de tamaños de hasta 1 mm,	Nc	2		
Pi-015	PI-014	611319	9786352	gris clara	Dacita	Muestra con alto grado de meteorización, contiene gran cantidad	Nc			
Pi419 611290 9788379 gris Basalto Andesitico Contiene fiedespetos de hasta 5 mm No 5	PI-015	611308	9786367	gris + verde oliva	Basalto Andesítico	Contiene calcopirita de hasta 1mm y fisuras rellenas de carbonatos,	Nc			
PH-017 611270 9786400 gris daria Dacta Dacta Conferen foliageates de hasta 5 mm No \$ \$	PI-016	611300	9786370	gris	Basalto Andesítico	Contiene magnetita de hasta 1mm y cristales de calcopirita de hasta	Mb	3		
PH-129 611279 9786382 gris clara gris clara Contener cristales anhedrales de calcoprita y fisuras de carbonatos, No. 3 PH-220 611230 9786282 gris cocura + yerde oliva marcin de carbonatos controles de natignatas rejorces. No. 3 PH-221 611219 9786276 gris cocura + yerde oliva marcin de carbonatos y cuarzo con epidoto en algunas rejorces. No. 3 PH-222 611224 9786276 gris cocura + gris oliva + Basalto Andesitto Contener catografica de hasta 0.71 mm. Fisuras de carbonatos, cuarzo y xepdoto. No. 3 PH-223 611192 9786276 gris cocura + marcin Basalto Andesitto Contener facurario de hasta 0.71 mm. Proces cotidos de natignatas rejorces, tembris has recorde assercipita. No. 4 PH-223 611192 9786278 gris cocura + marcin Basalto Andesitto Muestra con cubiertas de catócador que contene arsencipita. B 4 PH-224 611120 9786279 gris cocura + marcin Basalto Andesitto Contener facilespora de hasta 3 mm. No. 4 PH-225 611102 9786175 gris cocura + marcin Basalto Andesitto Contener facilespora de hasta 0.71 mm. No. 4 PH-226 61102 9786175 gris cocura + marcin Basalto Andesitto Contener facilespora de hasta 0.71 mm. No. 4 PH-227 611074 9786080 gris dara Dacida PH-228 611025 9786990 gris cocura - marcin Basalto Andesitto Contener facilespora de hasta 0.71 mm. relargamento No. 4 PH-229 611023 9786900 gris cocura - marcin Basalto Andesitto Contener facilespora de hasta 0.71 mm. relargamento No. 4 PH-230 611035 9786900 gris cocura - marcin Basalto Andesitto Contener facilespora de hasta 0.71 mm. relargamento No. 4 PH-231 61102 9786900 gris cocura - marcin Basalto Andesitto Contener facilespora de hasta 0.71 mm. relargamento No. 4 PH-232 611035 9786900 gris cocura - marcin Basalto Andesitto Contener facilespora de hasta 0.71 mm. relargamento No. 4 PH-233 611035 9786900 gris cocura - marcin Basalto Andesitto Contener facilespora de hasta 0.71 mm. relargamento No. 4 PH-233 611035 9786101 gris cocura - marcin Basalto Andesitto Contener facilespora de hasta 0.71 mm. relargamento No. 5 PH-233 611035 9786102 gris cocura - marcin Ba	PI-017	611290	9786379	gris	Basalto Andesítico		Nc			
Pi-019	PI-018	611270	9786400	gris clara	Dacita		Nc	3		
PH-020 611239 9786228 gris oscura + verde oliva Basallo Andesitico Corriene catopirira de hasta 0,01 mm. Fisuras de carbonato, cuarro y spódico. PH-021 611219 9786276 gris oscura + marrón Basallo Andesitico Corriene fisuras de carbonatos y cuarzo en epidot en algunas regiones, también se recursos arrangorita. PH-023 611192 9786283 gris oscura + marrón Basallo Andesitico Corriene fisuras de carbonatos y cuarzo en epidot en algunas regiones. PH-024 611120 9786219 gris oscura + marrón Basallo Andesitico Mustra con cubiertas de oxidación que contiene arrangorita. PH-025 611112 9786219 gris oscura + marrón Basallo Andesitico Corriene fisuras de hasta 0,01 mm y pocos oxidos de manganeso. PH-026 611102 9786175 gris oscura + marrón Basallo Andesitico Corriene fisuras de hasta 0.01 mm relienas de carbonatos y cuarzo. PH-027 611074 9786080 gris cara Dacta Dacta Corriene fisidespatos de hasta 3 mm. No. 4 PH-028 611025 9785990 gris cara Dacta Dacta Corriene fisidespatos de hasta 3 mm. No. 4 PH-029 611023 9785990 gris caramón Basallo Andesitico Corriene fisidespatos de hasta 3 mm. No. 4 PH-030 611380 9786090 gris caramón Basallo Andesitico Corriene fisidespatos de hasta 3 mm. No. 4 PH-031 611390 9786090 gris caramón Basallo Andesitico Corriene fisidespatos de hasta 3 mm. No. 4 PH-032 611023 9785900 gris caramón Basallo Andesitico Corriene fisidespatos de hasta 3 mm. No. 4 PH-033 611390 9786090 gris caramón Basallo Andesitico Corriene fisidespatos de hasta 3 mm. No. 4 PH-033 611390 9786090 gris caramón Basallo Andesitico Corriene fisidespatos de hasta 3 mm. No. 4 PH-033 611390 9786090 gris caramón Basallo Andesitico Corriene fisidespatos de hasta 3 mm. No. 4 PH-033 611390 9786090 gris caramón Basallo Andesitico Corriene fisidespatos de hasta 3 mm. No. 4 PH-033 611390 9786090 gris caramón Basallo Andesitico Corriene fisidespatos de hasta 3 mm. No. 4 PH-034 611390 9786090 gris caramón Basallo Andesitico Corriene fisidespatos de hasta 3 mm. No. 4 PH-035 611390 9786090 gris caramón Basallo Andesitico Corriene f	PI-019	611279	9786382	gris clara	Basalto		Nc			
PH-022 611204 9786276 gris oscura Basalto Andestitico Comisene Calcipprital disministrato de hasta 0.01 mm y pocos oxidos de manganeso. PH-023 611192 9786283 gris oscura + manrón Basalto Andestitico Muestra con cubiertas de oxidación que contiene arsenopirita. B 4 PH-024 611120 9786219 gris oscura + manrón Basalto Andestitico Muestra con cubiertas de oxidación que contiene arsenopirita. No: 4 PH-025 611112 9786208 gris Basalto Andestitico Muestra con cubiertas de oxidación que contiene arsenopirita. No: 4 PH-026 611102 9786175 gris oscura + manrón Basalto Andestitico Contiene felidespatos de hasta 3 mm. No: 4 PH-027 611074 9786080 gris clara Dacita Contiene felidespatos de hasta 3 mm. No: 4 PH-028 611025 9786990 gris + manrón Basalto Andestitico Contiene felidespatos de hasta 3 mm. No: 4 PH-029 611025 9786990 gris - manrón Basalto Andestitico Contiene felidespatos de hasta 3 mm. No: 4 PH-029 611023 9786920 gris oscura + manrón Basalto Andestitico Contiene felidespatos de hasta 3 mm. No: 4 PH-030 611380 9786980 gris oscura + manrón Basalto Andestitico Contiene felidespatos de hasta 3 mm. No: 4 PH-031 611374 9786087 gris oscura + manrón Basalto Andestitico Contiene felidespatos de hasta 3 mm. No: 4 PH-032 611435 9786216 gris oscura + manrón Basalto Andestitico Contiene felidespatos de carbonatos y cuarzo con epidoto en algunas regiones, tambén se reconoce arsenopirita. No: 4 PH-032 611435 9786216 gris oscura + manrón Basalto Andestitico Contiene felidespatos de carbonatos y cuarzo con epidoto en algunas regiones, tambén se reconoce arsenopirita No: 4 PH-033 611434 9786244 gris - verde oliva Basalto Andestitico Contiene felidespatos de carbonatos y cuarzo con epidoto en algunas regiones, tambén se reconoce arsenopirita No: 5 PH-033 611529 9786266 gris Basalto Andestitico Contiene felidespatos de carbonatos y cuarzo con epidoto en algunas regiones, tambén se reconoce arsenopirita. No: 5 PH-035 611529 9786266 gris Basalto Andestitico Contiene felidespatos de carbonatos y cuarzo con epidoto en algunas	PI-020	611230	9786282	gris oscura + verde oliva	Basalto Andesítico	Contiene calcopirira de hasta 0,01 mm. Fisuras de carbonato, cuarzo	Nc			
PH-022 611204 9786276 gris oscura Basalto Andesitico Contiene calcopirital diseminada de hasta 0,01 mm y pocos oxidos de marganeso. Basalto Andesitico Muestra con oubiertas de oxidación que contiene arsenopirita. B 4	PI-021	611219	9786278		Basalto Andesítico		Nc	4		
PH028 611192 9786283 gris oscura + marrón Basalto Andesiltico Muestra con cubiertas de oxidación que contiene arsenopirita. B 4 PH026 6111102 9786208 gris Oscura + marrón Basalto Andesiltico Contiene feldespatos de hasta 3 mm. Nc 4 PH026 611102 9786175 gris oscura + marrón Basalto Andesiltico Contiene feldespatos de hasta 3 mm. Nc 4 PH026 611102 9786175 gris oscura + marrón Basalto Andesiltico Contiene feldespatos de hasta 3 mm. Nc 4 PH027 611074 9786080 gris chara Docita Contiene feldespatos de hasta 3 mm. Nc 4 PH028 611025 9786990 gris + marrón Basalto Andesiltico Contiene feldespatos de hasta 3 mm. Nc 4 PH029 611023 9786990 gris - marrón Basalto Andesiltico Contiene feldespatos de hasta 3 mm. Nc 4 PH029 611023 9786900 gris oscura - Basalto Andesiltico Contiene feldespatos de hasta 3 mm. Nc 4 PH029 611023 9786900 gris oscura - marrón Basalto Andesiltico Contiene fisuras de hasta 0.3 mm relienas de carbonatos y cuarzo. B 4 PH030 611380 9786095 gris oscura - marrón Basalto Andesiltico Contiene fisuras de hasta 0.3 mm relienas de carbonatos y cuarzo. B 4 PH031 611374 9786097 gris oscura + marrón Basalto Andesiltico Contiene fisuras de carbonatos y cuarzo con epidoto en algunas regiones, tambén en reconoce assencipirita Nc 4 PH032 611434 9786087 gris oscura + marrón Basalto Andesiltico Contiene fisuras de carbonatos y cuarzo con epidoto en algunas regiones, tambén se reconoce assencipirita Nc 4 PH033 611434 9786244 gris + verde oliva Basalto Andesiltico Contiene fisuras de carbonatos y cuarzo con epidoto en algunas regiones, tambén se reconoce assencipirita Nc 5 PH033 611534 9786103 gris Basalto Andesiltico Contiene fisuras de carbonatos y cuarzo con epidoto en algunas regiones, tambén se reconoce assencipirita Nc 5 PH036 611524 9786103 gris Basalto Andesiltico Contiene fisuras de carbonatos y cuarzo con epidoto en algunas Nc 5 PH037 611529 9786103 gris Basalto Andesiltico Contiene fisuras de carbonatos y cuarzo con epidoto en algunas Nc 5 PH038 611563 97862657 gris Basalto Andesiltico Contiene fisuras de carbona	PI-022	611204	9786276	gris oscura	Basalto Andesítico	Contiene calcopirita diseminada de hasta 0,01 mm y pocos oxidos de	Nc			
PH-025 611112 9786208 gris Basalto Andesitico Contiene feidespatos de hasta 3 mm. No 4 PH-026 611102 9786175 gris oscura + marrón Basalto Andesitico Contiene feidespatos de hasta 3 mm. No 4 PH-027 611074 9786080 gris clara Dacita Contiene feidespatos de hasta 3 mm. No 4 PH-028 611025 9785990 gris + marrón Basalto Andesitico Contiene feidespatos de hasta 3 mm. No 4 PH-028 611025 9785990 gris - marrón Basalto Andesitico Contiene feidespatos de hasta 3 mm. No 4 PH-029 611023 9785920 gris oscuro Basalto Andesitico Contiene feidespatos de hasta 3 mm. No 4 PH-030 611380 9786095 gris oscura + marrón Basalto Andesitico Contiene feidespatos de hasta 3 mm. No 4 PH-031 611374 9786087 gris oscura + marrón Basalto Andesitico Contiene feidespatos de hasta 3 mm. Relenas de carbonatos y cuarzo. Ph-031 611380 9786095 gris oscura + marrón Basalto Andesitico Contiene feidespatos de hasta 3 mm. Relenas de carbonatos y cuarzo. Ph-031 611374 9786087 gris oscura + marrón Basalto Andesitico Contiene feidespatos de hasta 3 mm. Relenas de carbonatos y cuarzo. Ph-032 611439 9786095 gris oscura + marrón Basalto Andesitico Ph-032 611434 9786087 gris oscura + marrón Basalto Andesitico Ph-032 611434 9786087 gris oscura + marrón Basalto Andesitico Ph-033 611434 9786216 gris Basalto Andesitico Ph-033 611434 9786216 gris Basalto Andesitico Ph-033 611434 9786217 gris Basalto Andesitico Ph-033 61153 9786103 gris Basalto Andesitico Ph-033 611524 9786117 gris Basalto Andesitico Ph-033 611524 9786117 gris Basalto Andesitico Ph-033 611524 9786117 gris Basalto Andesitico Ph-034 611524 978617 gris Basalto Andesitico Ph-035 61153 9786252 gris Basalto Andesitico Ph-036 611524 9786267 gris Basalto Andesitico Ph-036 611524 9786266 gris Basalto Andesitico Ph-036 611524 9786267 gris Basalto Andesitico Ph-036 611530 9786266 gris Basalto Andesitico Ph-036 611530 9786267 gris oscura Basalto Andesitico Ph-036 611455 9786209 gris Basalto Andesitico Ph-036 611455 9786209 gris Gris oscura Basalto Andesitico Ph-036 611455 9786209 gris Gris oscura Basalto Andesitico	PI-023	611192	9786283	gris oscura + marrón	Basalto Andesítico		В			
PH-026 61102 9786175 gris oscura + marrón Basalto Andesitico Contiene fisturas de hasta 0,3 mm rellenas de carbonatos y cuarzo. No. 4 PH-027 611074 9786080 gris clara Dacita Contiene fistespaste de hasta 3 mm. No. 4 PH-028 611025 9785990 gris + marrón Basalto Andesitico Contiene fisturas de carbonatos y cuarzo. One pidoto en algunas regiones, también se reconoce arsenopirita. No. 4 PH-029 611023 9785920 gris oscura + marrón Basalto Andesitico Contiene fisturas de carbonatos y cuarzo. B A Contiene fisturas de carbonatos y cuarzo. Contiene fisturas de carbonatos y cuarzo. Decos óxidos de manganeso. No. 4 PH-030 611380 9786087 gris oscura + marrón Basalto Andesitico Contiene fisturas de carbonatos y cuarzo con epidoto en algunas regiones, también se reconoce arsenopirita y óxidos de manganeso. No. 4 PH-031 611374 9786087 gris oscura + marrón Basalto Andesitico Contiene fisturas de carbonatos y cuarzo con epidoto en algunas regiones, también se reconoce arsenopirita y óxidos de manganeso. No. 4 PH-032 611435 978616 gris Basalto Andesitico Calcopirira de 0,01 mm No. 5 PH-033 611434 9786244 gris» + verde oliva Basalto Andesitico Contiene fisturas de carbonatos y cuarzo con epidoto en algunas No. 5 PH-035 611513 9786103 gris Basalto Andesitico Contiene fisturas de carbonatos y cuarzo con epidoto en algunas No. 5 PH-036 611524 9786117 gris Basalto Andesitico Contiene fisturas de carbonatos y cuarzo con epidoto en algunas No. 5 PH-037 611529 9786152 gris Basalto Andesitico Contiene fisturas de carbonatos y cuarzo con epidoto en algunas No. 5 PH-038 611540 9786157 gris Basalto Andesitico Contiene fisturas de carbonatos y cuarzo con epidoto en algunas No. 5 PH-039 611520 9786252 gris Basalto Andesitico Contiene fisturas de carbonatos y cuarzo con epidoto en algunas No. 5 PH-039 611540 9786257 gris Basalto Andesitico Contiene fisturas de carbonatos y cuarzo con epidoto en al	PI-024	611120	9786219	gris oscura + marrón	Basalto Andesítico	Muestra con cubiertas de oxidación que contiene arsenopirita.	Nc	4		
Pi-028	PI-025	611112	9786208	gris	Basalto Andesítico	*	Nc	4		
PI-028 611025 9786990 gris + marrón Basalto Andestitico Contiene fisuras de carbonatos y cuarzo con epidoto en algunas regiones, también se reconoce assenopirita. PI-030 611380 978695 gris oscura + marrón Basalto Andestitico Contiene fisuras de carbonatos y cuarzo. PI-031 611374 9786087 gris oscura + marrón Basalto Andestitico Contiene fisuras de carbonatos y cuarzo con epidoto en algunas regiones, también se reconoce assenopirita y óxidos de manganeso. No. 4 PI-031 611374 9786087 gris oscura + marrón Basalto Andestitico Pátinas de Calcita + areanepririta y óxidos de manganeso. No. 4 PI-032 611435 9786216 gris Basalto Andestitico Pátinas de Calcita + areanepririta y óxidos de manganeso. No. 5 PI-033 611434 9786244 gris+ verde oliva Basalto Andestitico Epidota Diagnos de Calcita + proprio de Calcita + proprio de O.01 mm No. 5 PI-034 611247 9786301 gris Basalto Andestitico Contiene fisuras de carbonatos y cuarzo con epidoto en algunas regiones, también se reconoce assenopirita. No. 5 PI-035 611513 9786103 gris Basalto Andestitico Contiene fisuras de carbonatos y cuarzo con epidoto en algunas regiones, también se reconoce assenopirita. No. 5 PI-036 611524 9786117 gris Basalto Andestitico Magnetita de 1mm, calcopitita 3mm b 5 PI-037 611529 9786152 gris Basalto Andestitico Magnetita de 1mm, calcopitita 3mm b 5 PI-038 611563 9786252 gris Basalto Andestitico Calcopirira de 0,01 mm , cuarzo de aproximadamente 0,03mm B 5 PI-039 611540 9786266 gris Basalto Andestitico Calcopirira de 0,01 mm , cuarzo de aproximadamente 0,03mm B 5 PI-040 611525 9786266 gris Basalto Andestitico Calcopirira de 0,01 mm , puatro de aproximadamente 0,01 mm y se encuentra pátina calcita Mb 5 PI-041 611513 9786267 gris cara + verde oliva Basalto Andestitico Patina de Calcita Mb 5 PI-043 611426 9786323 gris clara Perde oliva Basalto Andestitico Pátina de Calcita Mb 5 PI-044 611420 9786323 gris clara Dacita Cuarzo de 1mm Noc 4 PI-045 611480 9786325 gris cara + verde oliva Basalto Andestitico Pátina de Calcita Andestitico Noc 6 PI-0	PI-026	611102	9786175	gris oscura + marrón	Basalto Andesítico		Nc	4		
PLO29 611023 9786920 gris oscuro Basalto Andesfitico Contiene fisuras de carbonatos y cuarzo. PLO30 611380 9786920 gris oscura + marrón Basalto Andesfitico Contiene fisuras de carbonatos y cuarzo con epidoto en algunas regiones, también se reconoce arsenopirita y óxidos de manganeso. No 4 PLO31 611374 9786087 gris oscura + marrón Basalto Andesfitico Pátinas de Calcita + arsenopirita y óxidos de manganeso. No 4 PLO32 611435 9786216 gris Basalto Andesfitico Pátinas de Calcita + arsenopirita y óxidos de manganeso. No 5 PLO33 611434 9786244 gris+ verde oliva Basalto Andesfitico Epidota PLO33 611247 9786301 gris Basalto Andesfitico Epidota PLO33 611513 9786103 gris Basalto Andesfitico Epidota regiones, también se reconoce arsenopirita No 5 PLO35 611513 9786103 gris Basalto Andesfitico Contiene fisuras de carbonatos y cuarzo con epidoto en algunas regiones, también se reconoce arsenopirita No 5 PLO36 611524 9786117 gris Basalto Andesfitico Contiene fisuras de carbonatos y cuarzo con epidoto en algunas regiones, también se reconoce arsenopirita. No 5 PLO37 611529 9786152 gris Basalto Andesfitico Magnetita de 1,011 mm, cuarzo de aproximadamente 0,03mm b 5 PLO38 611540 9786252 gris Basalto Andesfitico Calcopirira de 0,011 mm, cuarzo de aproximadamente 0,03mm B 5 PLO39 611540 9786266 gris Basalto Andesfitico Calcopirira de 0,011 mm, pátina de calcita Mb 5 PLO40 611525 9786266 gris Basalto Andesfitico Calcopirira de 0,011 mm, pátina de calcita No 5 PLO41 61153 978627 gris oscura Basalto Andesfitico Calcopirira de 0,011 mm, pátina de calcita No 5 PLO42 611492 9786272 gris clara + verde oliva Basalto Andesfitico Calcopirira de 0,011 mm, pátina de calcita No 5 PLO44 611426 9786309 gris clara Basalto Andesfitico Calcopirira de 0,011 mm, pátina de calcita No 5 PLO44 611426 9786309 gris clara Basalto Andesfitico Calcopirira de 0,011 mm, pátina de calcita No 6 PLO44 611420 9786323 gris clara Basalto Andesfitico Calcopirira de 0,011 mm, pátina de calcita No 6 PLO45 611480 9786309 gris clara Basalto Andesfitico Calc	PI-027	611074	9786080	gris clara	Dacita		Nc	4		
PI-030 611380 9786095 gris oscura + marrón Basalto Andestitico Contiene fisuras de carbonatos y cuarzo con epidoto en algunas regiones, también se reconoce arsenopirita y óxidos de manganeso. No 4 PI-031 611374 9786087 gris oscura + marrón Basalto Andestitico Patinas de Calcita + arsenopirita y óxidos de manganeso. No 4 PI-032 611435 9786216 gris Basalto Andestitico Calcopirira de 0,01 mm No 5 PI-033 611434 9786244 gris+ verde oliva Basalto Andestitico Epidota Calcopirira de 0,01 mm No 5 PI-034 611247 9786301 gris Basalto Andestitico Contiene fisuras de carbonatos y cuarzo con epidoto en algunas regiones, también se reconoce arsenopirita. No 5 PI-035 611513 9786103 gris Basalto Andestitico Contiene fisuras de carbonatos y cuarzo con epidoto en algunas regiones, también se reconoce arsenopirita. No 5 PI-036 611524 9786117 gris Basalto Andestitico Magnetita de 1mm, calcopitita 3mm b 5 PI-037 611529 9786152 gris Basalto Andestitico Magnetita de 1mm, calcopitita 3mm b 5 PI-038 611563 9786252 gris Basalto Andestitico Calcopirira de 0,01 mm, cuarzo de aproximadamente 0,03mm B 5 PI-039 611540 9786257 gris Basalto Andestitico Calcopirira de 0,01 mm, cuarzo de aproximadamente 0,03mm B 5 PI-041 611513 9786266 gris Basalto Andestitico Calcopirira de 0,01 mm, pátina de calcita Mb 5 PI-042 611492 9786272 gris oscura Basalto Andestitico Calcopirira de 0,01 mm, pátina de calcita No 5 PI-043 611492 9786272 gris oscura Basalto Andestitico Calcopirira de 0,01 mm, pátina de calcita No 5 PI-044 611492 9786323 gris clara Dacita Calcopirira de 0,01 mm, pátina de calcita No 5 PI-046 611400 9786325 gris oscura Basalto Andestitico Calcopirira de 0,01 mm, pátina de calcita No 6 PI-046 611400 9786325 gris clara Dacita Cuarco Pátina de calcopita de 3mm B 5 PI-047 611380 9786349 gris oscura Basalto Andestitico Calcopirira de 0,01 mm, pátina de calcita No 6 PI-046 611400 9786325 gris clara Dacita Cuarco Pátina de alteraciones Se observa pirita mu pequeña menores a 0,01 mm. No 6 PI-047 611380 9786349 gris oscura Basalto And						regiones, también se reconoce arsenopirita.		4		
PI-031 611374 9786087 gris oscura + marrón Basalto Andestitoo Patinas de Calcita + arsenopirita y óxidos de manganeso. No. 4 PI-032 611435 9786216 gris oscura + marrón Basalto Andestitoo Calcopririra de 0,01 mm No. 5 PI-033 611434 9786244 gris+verde oliva Basalto Andestitoo Epidota No. 5 PI-034 611247 9786301 gris Basalto Andestitoo Epidota Contiene fisuras de carbonatos y cuarzo con epidoto en algunas regiones, también se reconoce arsenopirita. No. 5 PI-035 611513 9786103 gris Basalto Andestitoo Epidota No. 5 PI-036 611524 9786117 gris Basalto Andestitoo Magnetta de 1mm, calcopitita 3mm b 5 PI-037 611529 9786152 gris Basalto Andestitoo Magnetta de 1mm, calcopitita 3mm b 5 PI-038 611563 9786252 gris Basalto Andestitoo Calcopririra de 0,01 mm, cuarzo de aproximadamente 0,03mm B 5 PI-039 611540 9786152 gris Basalto Andestitoo Calcopririra de 0,01 mm, cuarzo de aproximadamente 0,03mm B 5 PI-039 611540 9786257 gris Basalto Andestitoo Calcopririra de 0,01 mm, cuarzo de aproximadamente 0,03mm B 5 PI-040 611525 9786266 gris Basalto Andestitoo Calcopririra de 0,01 mm, patina de calcita Mb 5 PI-041 611513 9786267 gris oscura Basalto Andestitoo Calcopririra de 0,01 mm, patina de calcita Mb 5 PI-042 611492 9786272 gris clara + verde oliva Basalto Andestitoo Patina de alcopitia de 0,01 mm, patina de calcita Nc 4 PI-044 611425 9786309 gris clara - Basalto Andestitoo Patina de alcopitita de 1mm, horblenda de 0,03mm + epidota B 4 PI-045 611430 9786323 gris clara Basalto Andestitoo Patina de alcoprita de 1mm, horblenda de 20,03mm + epidota Nc 4 PI-046 611420 9786325 gris oscura Basalto Andestitoo Patina de alcoprita de 1mm, posee patina calcita Nc 5 PI-046 611420 9786325 gris oscura Basalto Andestitoo Magnetta calcoprita de 1mm, posee patina calcita + Nc 6 Exceptiones, también de 20,01 mm, horblenda de 3,01 mm. Nc 6 PI-047 611380 9786349 gris oscura Basalto Andestitoo Magnetta menores a 0,01 mm. Nc 6						Pocos óxidos de manganeso		4		
PI-032 611435 9786216 gris Basalto Andesitico Calcopirira de 0,01 mm Nc 5 PI-033 611434 9786244 gris+ verde oliva Basalto Andesitico Epidota Nc 5 PI-034 611247 9786301 gris Basalto Andesitico Contiene fisuras de carbonatos y cuarzo con epidoto en algunas regiones, también se reconoce arsenopirita. Nc 5 PI-035 611513 9786103 gris Basalto Andesitico Contiene fisuras de carbonatos y cuarzo con epidoto en algunas regiones, también se reconoce arsenopirita. Nc 5 PI-036 611524 9786117 gris Basalto Andesitico Contiene fisuras de carbonatos y cuarzo con epidoto en algunas regiones, también se reconoce arsenopirita. Nc 5 PI-037 611529 9786152 gris Basalto Andesitico Magnetita de 1mm, calcopitita 3mm b 5 PI-038 611563 9786252 gris Basalto Andesitico Calcopirira de 0,01 mm, cuarzo de aproximadamente 0,03mm B 5 PI-039 611540 9786257 gris Basalto Andesitico Posee pirita másiva de aproximadamente 0,01 mm y se encuentra pátina calcita PI-040 611525 9786266 gris Basalto Andesitico Calcopirira de 0,01 mm, pátina de calcita Mb 5 PI-041 611513 9786267 gris oscura Basalto Andesitico Rica en sulfuros Nc 4 PI-042 611492 9786272 gris clara + verde oliva Basalto Andesitico Calcopirira de 0,01 mm, horblenda de 0,03mm + epidota B 4 PI-043 611455 9786294 gris oscura Basalto Andesitico Pátina de calcopirita de 10,01 mm, pátina de calcita Nc 5 PI-044 611425 9786309 gris Basalto Andesitico Pátina de Calcopirira de 10,01 mm, pátina de calcita Nc 5 PI-045 611430 9786325 gris oscura Basalto Andesitico Pátina de Magnetita, calcopitita de 3mm B 5 PI-046 611420 9786325 gris oscura Basalto Andesitico Calcopirira de 10,01 mm, pótina de calcita Nc 6 PI-047 611380 9786349 gris oscura Basalto Andesitico Calcopirira de 10,01 mm, pótina de calcita Nc 6				-		regiones, también se reconoce arsenopirita y óxidos de manganeso.		4		
PI-033 611434 9786244 gris+ verde oliva Basalto Andestitico PI-034 611247 9786301 gris Basalto Andestitico PI-035 611513 9786103 gris Basalto Andestitico PI-036 611524 9786117 gris Basalto Andestitico PI-037 611529 9786152 gris Basalto Andestitico PI-038 611563 9786252 gris Basalto Andestitico PI-039 611540 9786257 gris Basalto Andestitico PI-040 611525 9786266 gris Basalto Andestitico PI-041 611513 9786272 gris oscura Basalto Andestitico PI-043 611492 9786252 gris Gara + verde oliva Basalto Andestitico PI-044 611425 9786252 gris Basalto Andestitico PI-045 611400 9786257 gris oscura PI-046 611400 9786257 gris oscura Basalto Andestitico PI-040 611525 9786266 gris Basalto Andestitico PI-040 611525 9786266 gris Basalto Andestitico PI-040 611520 9786272 gris oscura Basalto Andestitico PI-040 611492 9786272 gris oscura Basalto Andestitico PI-040 611492 9786273 gris oscura Basalto Andestitico PI-040 611492 9786274 gris oscura Basalto Andestitico PI-040 611492 9786275 gris oscura Basalto Andestitico PI-040 611492 9786270 gris oscura Basalto Andestitico PI-040 611492 9786294 gris oscura Basalto Andestitico PI-040 611425 9786294 gris oscura Basalto Andestitico PI-040 611426 9786309 gris Basalto Andestitico PI-041 611420 9786323 gris clara PI-045 611430 9786325 gris oscura PI-046 611420 9786325 gris oscura Basalto Andestitico PI-047 611380 9786349 gris oscura Basalto Andestitico PI-048 611420 9786349 gris oscura Basalto Andestitico PI-049 611420 9786349 gris oscura PI-049 01040 Basalto Andestitico PI-049 611420 9786349 gris oscura PI-049 01040				-						
PI-034 611247 9786301 gris Basalto Andestitico Contiene fisuras de carbonatos y cuarzo con epidoto en algunas regiones, también se reconoce arsenopirita. PI-035 611513 9786103 gris Basalto Andestitico Contiene fisuras de carbonatos y cuarzo con epidoto en algunas regiones, también se reconoce arsenopirita. Mb 5 PI-036 611524 9786117 gris Basalto Andestitico Magnetita de 1mm, calcopitita 3mm b 5 PI-037 611529 9786152 gris Basalto Andestitico Calcopirira de 0,01 mm , cuarzo de aproximadamente 0,03mm B 5 PI-038 611563 9786252 gris Basalto Andestitico Calcopirira de 0,01 mm , cuarzo de aproximadamente 0,03mm B 5 PI-039 611540 9786257 gris Basalto Andestitico Posee pirita másiva de aproximadamente 0,01 mm y se encuentra pátina calcita PI-040 611525 9786266 gris Basalto Andestitico Calcopirira de 0,01 mm, pátina de calcita Mb 5 PI-041 611513 9786267 gris oscura Basalto Andestitico Rica en sulfuros Nc 4 PI-042 611492 9786272 gris clara + verde oliva Basalto Andestitico Calcopirira de 0,01 mm, horblenda de 0,03mm + epidota B 4 PI-043 611455 9786294 gris oscura Basalto Andestitico Pátina de calcopirita de 1mm, pátina de calcita Nc 5 PI-046 611420 9786325 gris oscura Basalto Andestitico Pátina de calcopirita de 1mm, pátina de calcita Nc 4 PI-046 611420 9786325 gris oscura Basalto Andestitico Pátina de dagoprita de 1mm, pátina de calcita Nc 4 PI-047 611380 9786349 gris oscura Basalto Andestitico Calcopirita de 1mm, pátina de calcita Nc 6 Calcopirita de Agnetita , calcopitita de 3mm B 5										
PI-035 611513 9786103 gris Basalto Andestitoo Contiene fisuras de carbonatos y cuarzo con epidoto en algunas regiones, también se reconoce arsenopirita. PI-036 611524 9786117 gris Basalto Andestitico Magnetita de 1mm, calcopitita 3mm b 5 PI-037 611529 9786152 gris Basalto Andestitico Calcopirira de 0,01 mm , cuarzo de aproximadamente 0,03mm b 5 PI-038 611563 9786252 gris Basalto Andestitico Calcopirira de 0,01 mm , cuarzo de aproximadamente 0,03mm b 5 PI-039 611540 9786257 gris Basalto Andestitico Posee pirita másiva de aproximadamente 0,01 mm y se encuentra A 5 PI-040 611525 9786266 gris Basalto Andestitico Calcopirira de 0,01 mm, pátina de calcita Mb 5 PI-041 611513 9786267 gris oscura Basalto Andestitico Rica en sultruros Nc 4 PI-042 611492 9786272 gris clara + verde oliva Basalto Andestitico Calcopirira de 0,01 mm, pórthenda de 0,03mm + epidota B 4 PI-043 611425 9786294 gris oscura Basalto Andestitico Pátina de calcopirta de 1,01 mm, pátina de calcita Nc 5 PI-044 611425 9786294 gris oscura Basalto Andestitico Pátina de calcopirita de 1,01 mm, pátina de calcita Nc 5 PI-045 611430 9786323 gris clara Dacita cuarzo de 1mm asociada a alteraciones . Se observa pirita mu y pequeña menores a 0,01 mm. PI-046 611420 9786325 gris oscura Basalto Andestitico Calcopirita de hasta 1 mm asociada a alteraciones . Se observa pirita mu y pequeña menores a 0,01 mm. Calcopirita de hasta 1 mm asociada a alteraciones . Se observa pirita mu y pequeña menores a 0,01 mm. Calcopirita de aproximadamente 1 mm, posee pátina calcita+epidota Nc 6				-		Contiene fisuras de carbonatos y cuarzo con epidoto en algunas				
PI-036 611524 9786117 gris Basalto Andesitico Magnetita de 1mm, calcopitita 3mm b 5 PI-037 611529 9786152 gris Basalto Andesitico Nc 4 PI-038 611563 9786252 gris Basalto Andesitico Calcopirira de 0,01 mm, cuarzo de aproximadamente 0,03mm B 5 PI-039 611540 9786257 gris Basalto Andesitico Posee pirita masiva de aproximadamente 0,01 mm y se encuentra pátina calcita A 5 PI-040 611525 9786266 gris Basalto Andesitico Calcopirira de 0,01 mm, pátina de calcita Mb 5 PI-041 611513 9786267 gris oscura Basalto Andesitico Rica en sulfuros Nc 4 PI-042 611492 9786272 gris clara + verde oliva Basalto Andesitico Calcopirira de 0,01 mm, horblenda de 0,03mm + epidota B 4 PI-043 611455 9786294 gris oscura Basalto Andesitico Pâtina de Calcopirita de 1mm, pátina de calcita Nc 5 PI-044 611425 <td></td> <td></td> <td></td> <td></td> <td></td> <td>Contiene fisuras de carbonatos y cuarzo con epidoto en algunas</td> <td></td> <td></td>						Contiene fisuras de carbonatos y cuarzo con epidoto en algunas				
PI-037 611529 9786152 gris Basalto Andesítico Calcopirira de 0,01 mm , cuarzo de aproximadamente 0,03mm B 5	PI-036	611524	9786117	gris	Basalto Andesítico		b			
PI-039 611540 9786257 gris Basalto Andestitico patina calcita pictorita de 0,01 mm, patina de calcita patina de calci	PI-037	611529	9786152	gris	Basalto Andesítico		Nc			
PI-040	PI-038	611563	9786252	gris	Basalto Andesítico		В	5		
PI-041 611513 9786267 gris oscura Basalto Andesitico Rica en sulfuros Nc 4 PI-042 611492 9786272 gris clara + verde oliva Basalto Andesitico Calcopirira de 0,01 mm, horblenda de 0,03mm + epidota B 4 PI-043 611455 9786294 gris oscura Basalto Andesitico Pátina de calcopirita de 1mm, pátina de calcita Nc 5 PI-044 611425 9786309 gris Basalto Andesítico Pátina de Magnetita , calcopirita de 3mm B 5 PI-045 611430 9786323 gris clara Dacita cuarzo de 1mm Nc 4 PI-046 611420 9786325 gris oscura Basalto Andesítico Calcopirita de hasta 1 mm asociada a alteraciones . Se observa pirita muy pequeña menores a 0,01 mm. Nc 6 PI-047 611380 9786349 gris oscura + verde oliva Basalto Andesítico Calcopirita de aproximadamente 1mm, posee pátina calcita+epidota Nc 6				gris	Basalto Andesítico	pátina calcita		5		
PI-042 611492 9786272 gris dara + verde oliva Basalto Andesitico Calcopirira de 0,01 mm, horblenda de 0,03mm + epidota B 4 PI-043 611455 9786294 gris oscura Basalto Andesitico Pátina de calcopirita de 1mm, pátina de calcita Nc 5 PI-044 611425 9786309 gris Basalto Andesitico Pátina de Magnetita , calcopirita de 3mm B 5 PI-045 611430 9786323 gris clara Dacita cuarzo de 1mm Nc 4 PI-046 611420 9786325 gris oscura Basalto Andesitico Calcopirita de hasta 1 mm asociada a alteraciones . Se observa pirita muy pequeña menores a 0,01 mm. PI-047 611380 9786349 gris oscura + verde oliva Basalto Andesitico Calcopirita de aproximadamente 1mm, posee pátina calcita+epidota Nc 6										
PI-043 611455 9786294 gris oscura Basalto Andesítico Pátina de calcopirita de 1mm, pátina de calcita Nc 5 PI-044 611425 9786309 gris Basalto Andesítico Pátina de Magnetita , calcopirita de 3mm B 5 PI-045 611430 9786323 gris clara Dacita cuarzo de 1mm Nc 4 PI-046 611420 9786325 gris oscura Basalto Andesítico Calcopirita de hasta 1 mm asociada a alteraciones . Se observa pirita muy pequeña menores a 0,01 mm. PI-047 611380 9786349 gris oscura + verde oliva Basalto Andesítico Calcopirita de aproximadamente 1mm, posee pátina calcita+epidota Nc 6										
PI-044 611425 9786309 gris Basalto Andesítico Pátina de Magnetita , calcopitita de 3mm B 5 PI-045 611430 9786323 gris clara Dacita cuarzo de 1mm Nc 4 PI-046 611420 9786325 gris oscura Basalto Andesítico Calcopirita de hasta 1 mm asociada a alteraciones . Se observa pirita muy pequeña menores a 0,01 mm. Nc 6 PI-047 611380 9786349 gris oscura + verde oliva Basalto Andesítico Calcopirita de aproximadamente 1mm, posee pátina calcita+epidota Nc 6				-						
PI-046 611420 9786325 gris oscura Basalto Andesítico Calcopirita de hasta 1 mm asociada a alteraciones . Se observa pirita muy pequeña menores a 0,01 mm. PI-047 611380 9786349 gris oscura + verde oliva Basalto Andesítico Calcopirita de aproximadamente 1 mm, posee pátina calcita+epidota Nc 6	PI-044	611425	9786309	gris	Basalto Andesítico	Pátina de Magnetita , calcopitita de 3mm	В			
PI-040 011420 9766325 gris oscura Basairo Andestitico muy pequeña menores a 0,01 mm. NC 6 PI-047 611380 9786349 gris oscura + verde oliva Basalto Andesítico Calcopirita de aproximadamente 1mm, posee pátina calcita+epidota Nc 6								4		
						muy pequeña menores a 0,01 mm.				
PI-048 611350 9786378 gris + verde oliva Basalto Pátina de magnetita, pátina de cuarzo, calcopirita de 1mm+epidota A 6	PI-047	611350	9786378	gris + verde oliva	Basalto	Pátina de magnetita, pátina de cuarzo, calcopirita de 1mm+epidota	A			

Fuente: Datos tomados por Autor, diciembre, 2016

3.2 IDENTIFICACIÓN DE ROCAS

La identificación específica de las rocas se realizó mediante técnicas microscópicas y geoquímicas. El estudio en laboratorio se realizó sobre las muestras recolectadas.

3. 2.1 Estudio y caracterización petrográfico

Los cortes petrográficos de láminas delgadas permitieron reconocer los porcentajes de los minerales presentes en las rocas. Estas descripciones se realizaron en base a las propiedades ópticas de cada mineral. Fueron 12 láminas delgadas en las siguientes muestras: PI 002, PI 003, PI 005, PI 007, PI 008, PI 009, PI 010, PI 015, PI 019, PI 027, PI 039, PI 044. (Tabla 3.1)

Mediante este análisis se reconoció predominancia de Plagioclasas en todas las muestras estudiadas de manera especial es el componente principal de la pasta de la roca. Por otro lado se identifica la presencia de piroxenos en las muestras de color gris oscuro, gris oscuro verde oliva y gris, mientras que las muestras de colores gris claro, correspondientes a las lavas ácidas, incluyen la presencia de cuarzo y feldespato alcalino. El piroxeno que se identifico fue la augita, fue dificultoso identificar el tipo de plagioclasa por la forma de los cristales y porque gran parte está distribuido en la matriz.

En cuanto a minerales accesorios se identificó: epidota, clorita y opacos, si como también la presencia de vidrio volcánico en algunas muestras y en muy pocas muestras se reconoció la presencia de anfíboles y olivinos; y en una de

las muestras que presenta alteración se reconoció la prehnita. La clorita al igual que la prehnita sería producto de alteración de las plagioclasas específicamente los contenidos en la matriz.

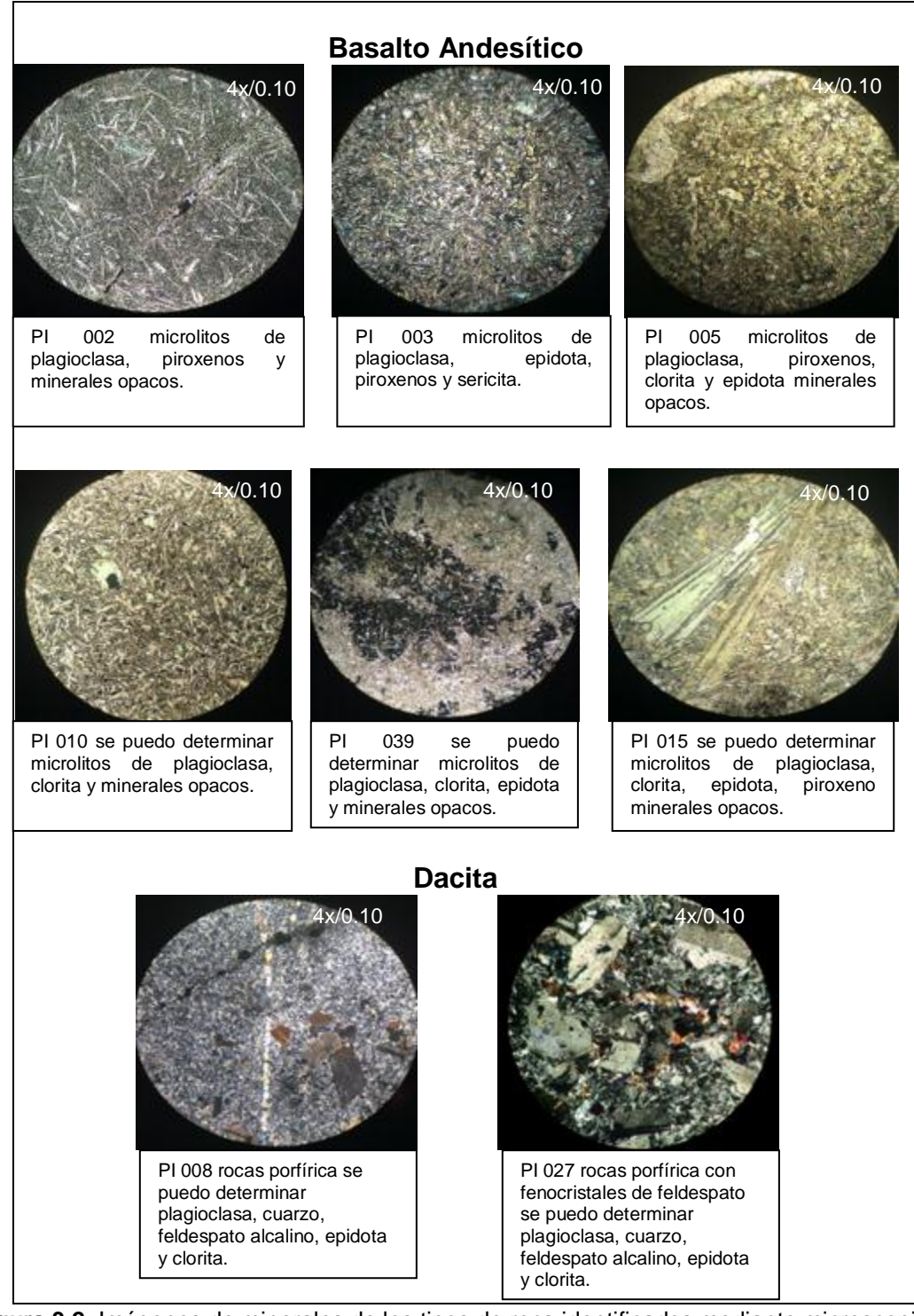


Figura 3.2 Imágenes de minerales de los tipos de roca identificados mediante microscopio óptico. **Fuente:** Autor.

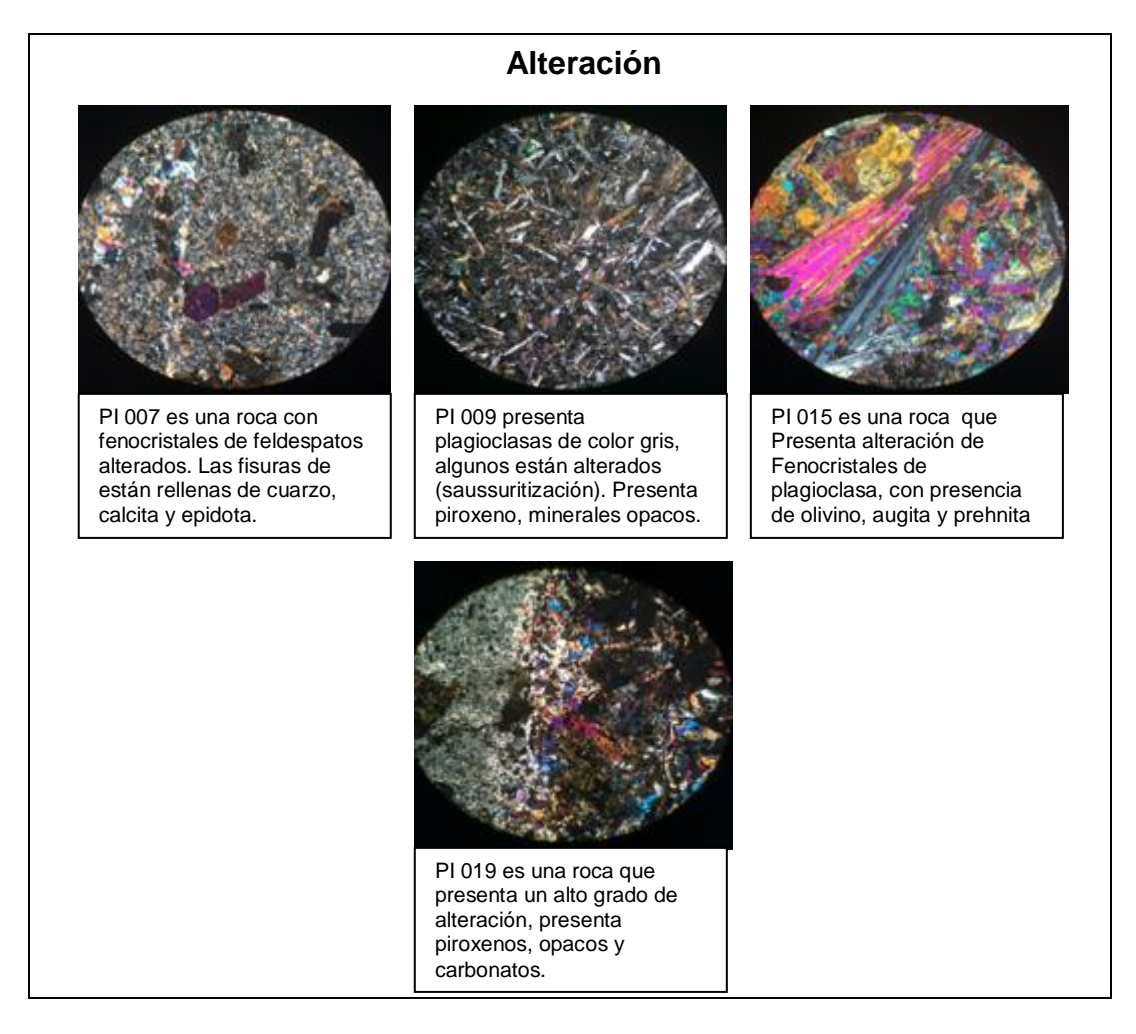


Figura 3.3 Imágenes de minerales alterados de roca identificados mediante microscopio óptico. Fuente: Autor.

3.2.2 Estudios geoquímicos complementarios

Resultados de Fluorescencia de rayos X (FRX)

Los resultados se muestran en la tabla 3.2 e indican los análisis por Fluorescencia de rayos X y Absorción Atómica (Sodio).

MUESTRA	%SiO ₂	%Al ₂ O ₃	% Fe ₂ O ₃	%CaO	%TiO ₂	%MnO	%K₂0	%MgO	%P ₂ O ₅	%Na ₂ O	%PPC
P1-005	52.6	12.3	11.7	10.2	1.04	0.20	<0.10	6.96	0.08	2.919	1.61
P1-018	49.0	12.5	11.1	14.4	0.91	0.19	<0.10	6.21	0.08	1.386	4.26
P1-027	71.8	13.7	3.40	1.54	0.24	<0.05	0.10	0.57	0.06	6.539	1.14
P1-048	46.8	13.0	13.0	16.4	1.01	0.20	<0.10	6.28	0.09	1.048	1.79

Tabla 3.2 Análisis por Fluorescencia de rayos X y Absorción Atómica (Sodio). Muestras PI-005, PI- 018, PI 027 y PI 048.

El análisis químico de las muestras y la representación de los valores SiO₂ Vs NaO₂ + N₂O son representados en el diagrama de SiO₂ Vs NA₂O + K₂ (Irvine and Baragar 1971 and Le Maitre et al. 1989) con clasificación de rocas y discriminación de rocas alcalinas y subalcalinas (Figura 3.4). Las cuatro muestras estudiadas pertenecerían a la serie sub-alcalina. El estudio de las secciones delgadas de estas cuatro muestras y la representación de los contenidos Q-A-P-F en el diagrama de Streckeisen, puso de manifiesto que podría tratarse de las siguientes rocas:

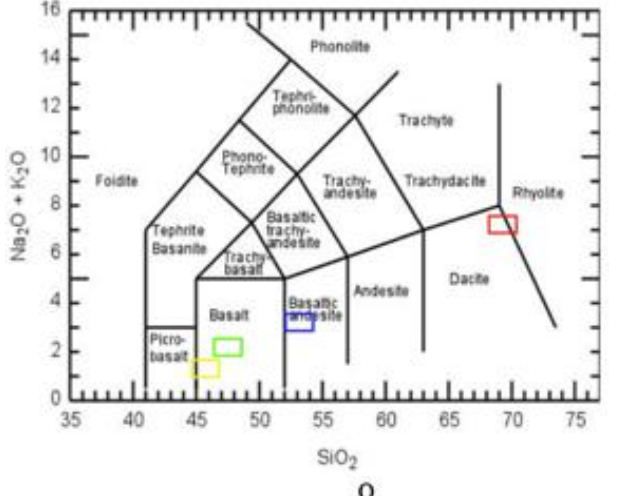
PI-005 (Andesita-basáltica): Plagioclasa (70%, recalculada casi 95%), anfíbol, clorita, epidota, opacos, cuarzo (3%, recalculado 5%) y algo de feldespato potásico (visto al MEB). La matriz está formada por cristales de plagioclasa. Textura: Afanítica, Holocristalina, Matriz Masiva Microcristalina, No fragmental, Porfírica Seriar.

PI-018 (Basalto): Alteración importante. Solo parte de la lámina muestra roca original. Muestra presenta fenocristales de olivino no zonificado y piroxeno cálcico. Además, presenta valores más importantes de plagioclasa (70%, recalculada casi 98%) y sílice que basaltos alcalinos. El resto de características similares a basaltos. Textura: Afanítica, Holocristalina, Matriz, Masiva, Microcristalina, No fragmental, Porfíricas.

PI-027 (Riodacita): En esta lámina se observan fenocristales de plagioclasa, algunas zonadas, La matriz está formada por microcristales de

cuarzo-plagioclasa y vidrio. También se ponen de manifiesto cristales de apatito. La presencia de epidota probablemente tenga su origen en una alteración hidrotermal posterior (alteración hidrotermal de feldespatos, piroxenos, anfíboles u otros componentes). Aparece también Esfena.

PI-048 (Basalto): Muestra presenta fenocristales de olivino no zonificado y piroxeno cálcico. Además, presenta valores más importantes de plagioclasa (70%, recalculada casi 98%) y sílice que basaltos alcalinos. El resto de características similares a basaltos. Textura: Afanítica, Holocristalina, Matriz, Masiva, Microcristalina, No fragmental, Porfíricas.



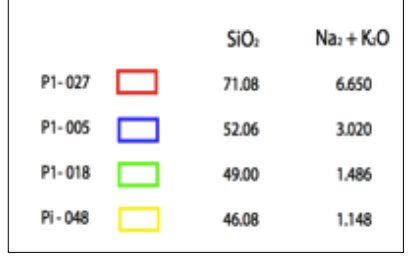


Figura 3.4 Interpretación de los datos del FRX en diagrama SiO₂ Vs NA₂O + K₂ (Irvine and Barragar 1971 and LeMaitre et al. 1989) con clasificación de rocas y discriminación de rocas alcalinas y subalcalinas.

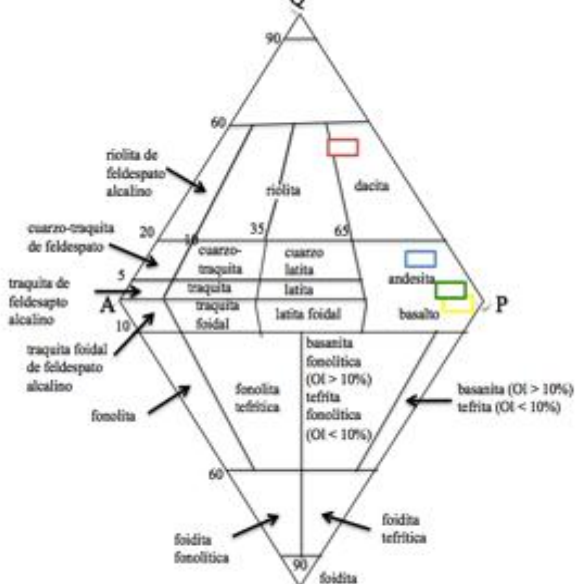
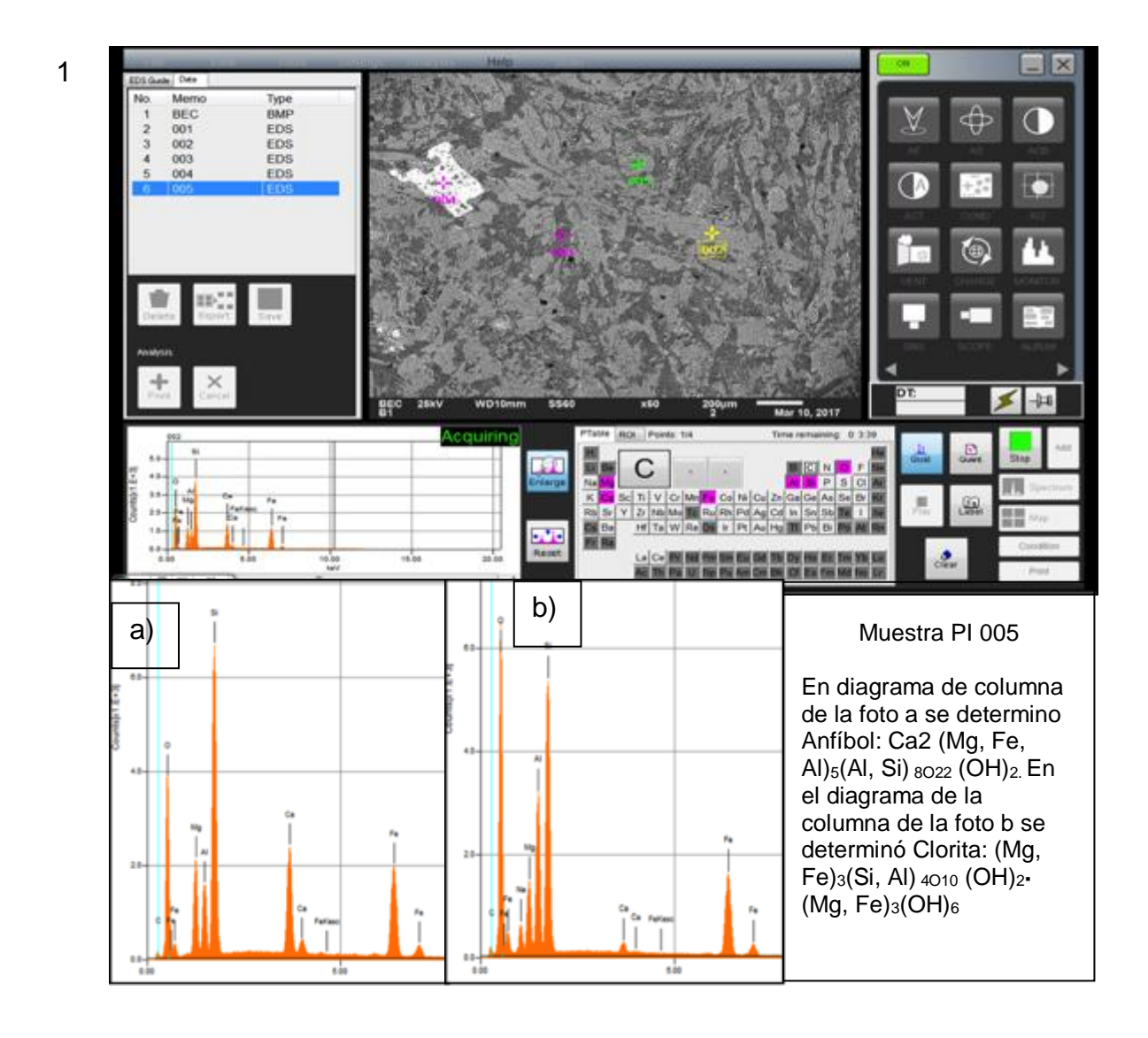


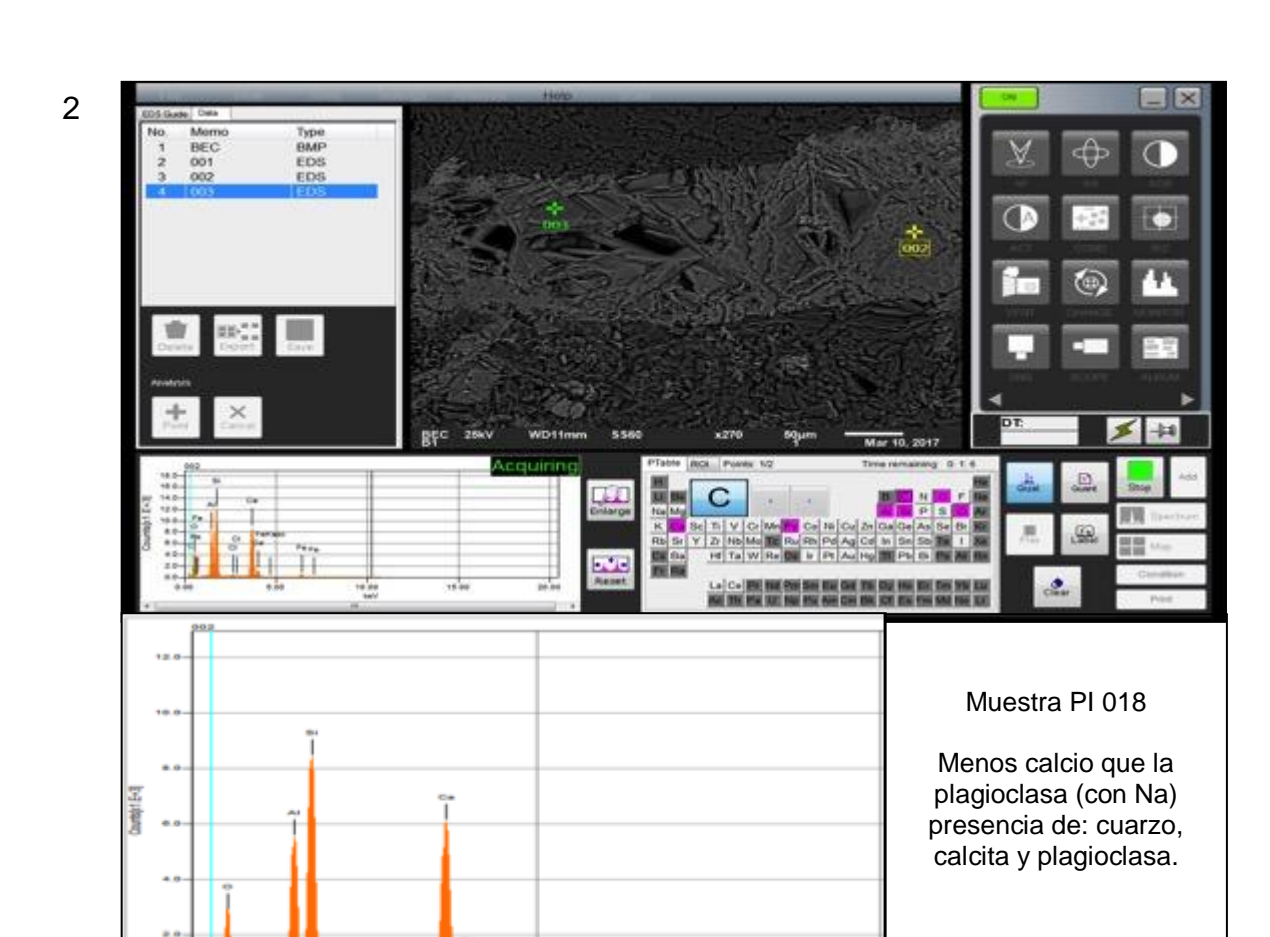
Figura 3.5 Diagrama de Streckeisen, 1976 con clasificación modal de una roca volcánica en el triángulo Q-A-P-F. Los datos fueron recalculados de los análisis químicos. **Fuente:** Autor.

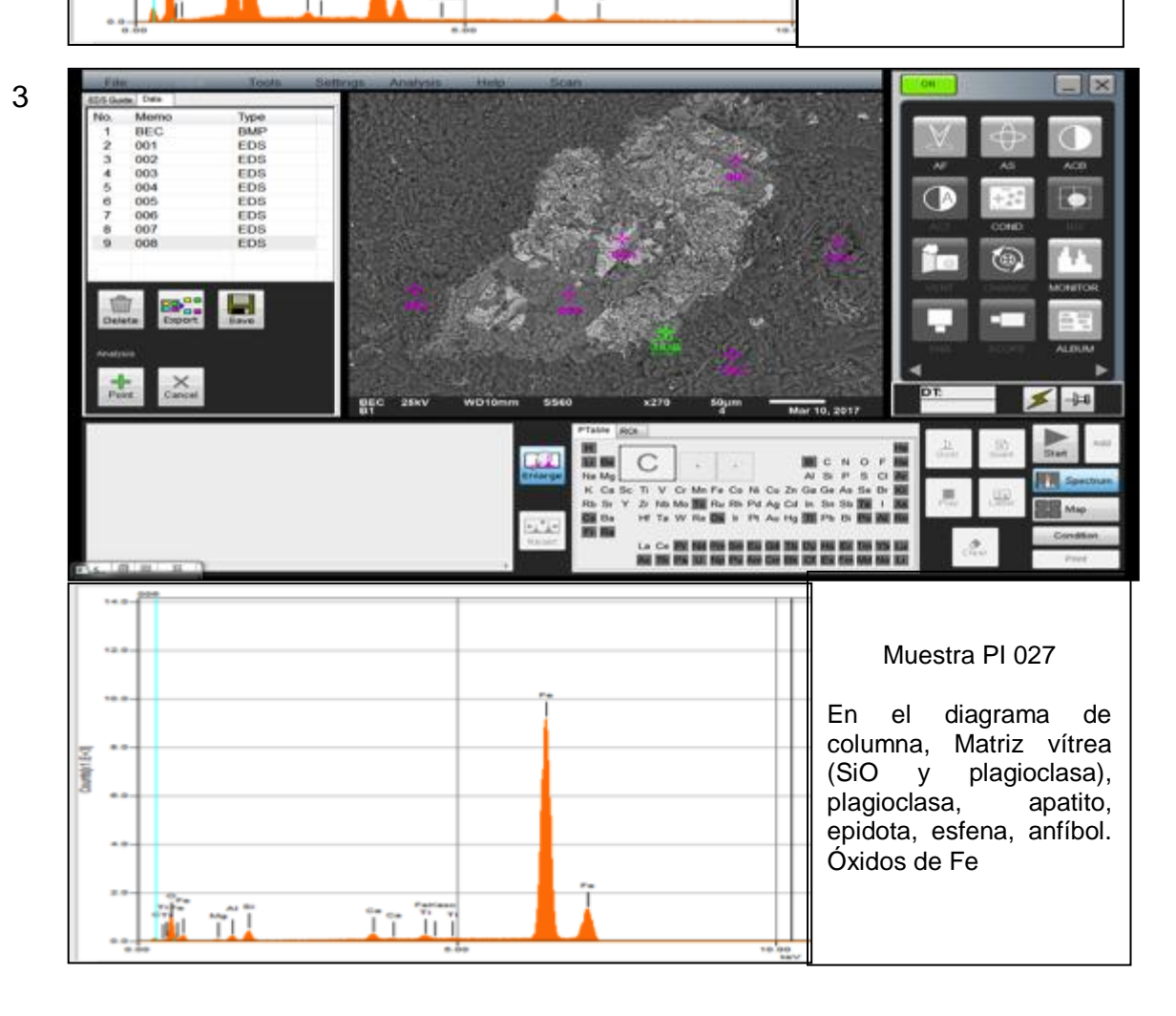
3.2.3 Estudios mineralógicos-geoquímicos complementarios

Microscopio Electrónico de Barrido (MEB)

El estudio mediante MEB de las muestras (Figura 3.6) puso de manifiesto que de las mineralogías predominantes se corresponden a las observaciones realizadas con MOP y FRX. (ANEXO 3)







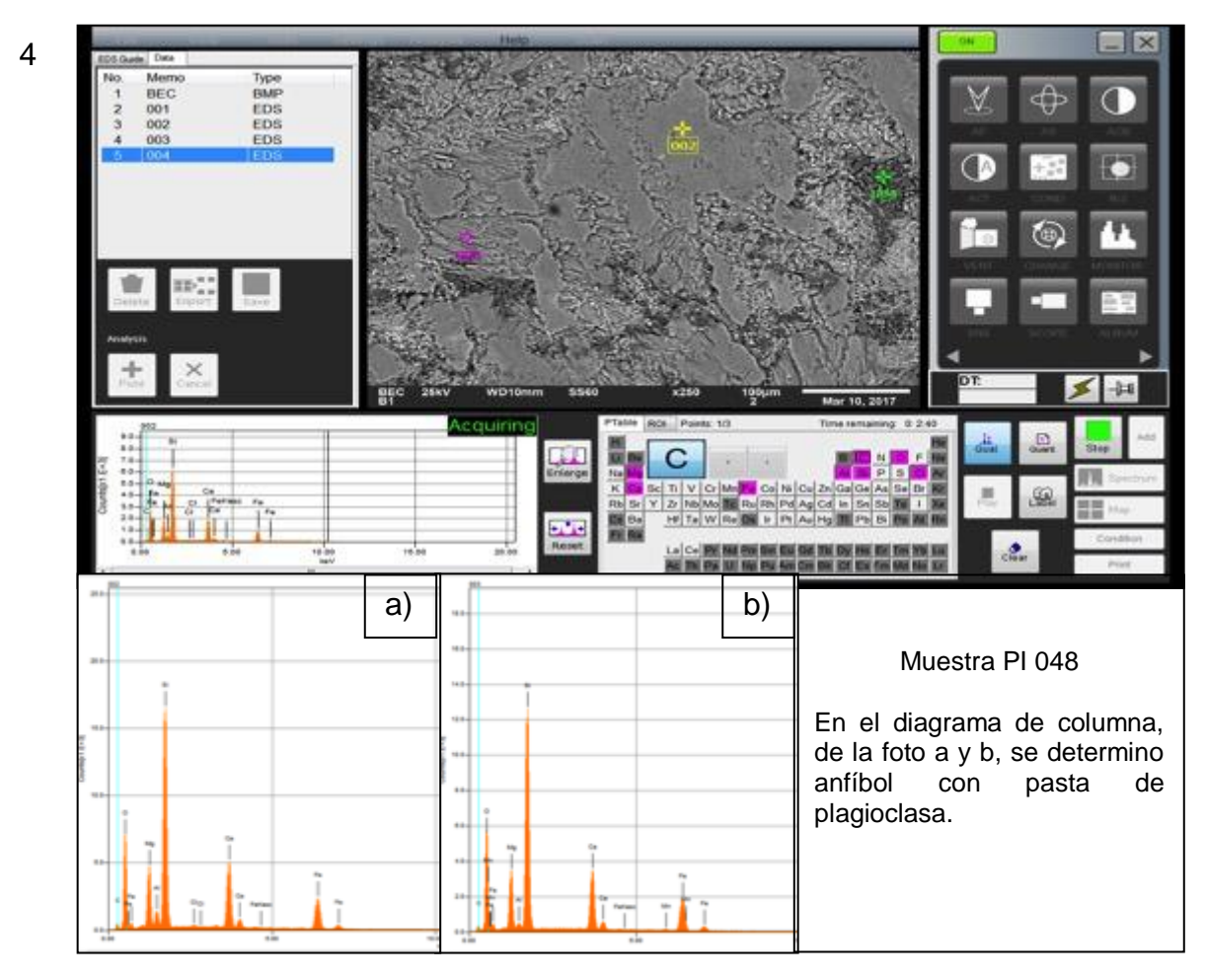


Figura 3.6 Imágenes MEB (foto 1,2 ,3 y 4) de las principales tipologías de rocas evaluadas. **Fuente:** Autor.

- PI-005 (Andesita basáltica): Plagioclasa, anfíbol, clorita, epidota, opacos, cuarzo.
- PI- 018 (Basalto): Plagioclasa y sílice.
- PI-027 (Riodacita): plagioclasa, microcristales de cuarzo-plagioclasa y vidrio, cristales de apatito, epidota y esfena.
- PI-048 (Basalto) plagioclasa, sílice, olivino y piroxeno cálcico.

3.2.4. Tipos de rocas en el cuerpo volcánico

La descripción al MOP, FRX y MEB permitió definir los siguientes tipos de roca en el cuerpo volcánico.

Tabla 3.3 Tipos de rocas, textura, mineralogía principal y accesorios.

Código	Tipo de roca	Plagioclasa	Piroxeno	Opacos	Sericita	Epidota	Clorita	Cuarzo	Feldespato Alcalino	Vidrio Volcánico	Anfibol	Olivino	Carbonatos	Augita	Prehnita
PI - 002	Basalto Andesítico	70	27	3											
PI - 003	Basalto Andesítico	61	15	10	9	5									
PI - 005	Basalto Andesítico	70	15	2		5	8								
PI - 007	Dacita	30				8	15	25	10	12					
PI - 008	Dacita	37		3		5	10	20	10	15					
PI - 009	Basalto Andesítico	53	25	2							15	5			
PI - 010	Basalto Andesítico	10	25	5			20								
PI- 015	Basalto Andesítico	15		2			10					45		10	18
PI - 019	Basalto	10	30	5			40						15		
PI - 027	Dacita	30	10	2		6	12	18	10	12					
PI - 039	Basalto Andesítico	20		5		15	60								
PI - 044	Basalto Andesítico	40	30	3		7									

Fuente: Autor

3. 3 ESFUERZO DE COMPRESIÓN UNIAXIAL DE LAS ROCAS

Se realizó el ensayo con martillo geológico para estimar la dureza de la muestra según Marinos and Hoek (2000). Estos autores definen que la roca que resiste entre 4 y 10 golpes de martillo, hasta antes de ser partida, es muy fuerte y esto permite estimar el Esfuerzo a la Compresión de 100 a 250 MPa, para este caso, sería una roca muy fuerte. A continuación se presenta una

tabla que resume lo propuesto por los autores (tabla 3.4).

El 58% de las muestras seleccionadas en la zona de estudio son rocas fuertes con un esfuerzo de compresión estimado de entre 50-250 MPa, las rocas muy fuertes son el 38% de todas las muestras seleccionadas y el restante que es el 4% corresponde a rocas medianamente fuertes.

Tabla 3.4 Estimación del esfuerzo de compresión uniaxial de las rocas

Golpes con martillo geológico para estimación del Esfuerzo de Compresión	Términos que usas Marinos y Hoek (2000)	Cantidad de muestras	Estimación de esfuerzo de compresión		
1	Mediantemente Fuerte	2	25 a 50 Mpa		
2		_			
3	Fuerte	28	50 a 100 MPa		
4	ruerte	20			
5			100 a 250 Mpa		
6					
7	Musy fuorto	18			
8	Muy fuerte	10			
9					
10					

Fuente: Marinos and Hoek (2000).

3.4 MINERALIZACIONES

La caracterización se realizó mediante calcografía se y utilizó un microscopio óptico de luz reflejada: utilizando luz polarizada (paralela) - luz polarizada (cruzada) – luz campo oscuro, con los cuales se pudo determinar principales características de la mineralización presente en las muestras.

Tratándose de minerales opacos, se corta un trozo pequeño, procediéndose en superficie cortada al desbaste y pulido fino para su observación al microscopio.

Muestra PI 005 consta de 2 textura diferentes:

Textura Diseminada: cual está contenida por pirita de subhedral a anhedral de (amarillo pálido). Presenta cuarzo que es el principal silicato presente.

Textura Bandeada: presenta calcopirita anhedral (amarilla), la ganga comprende gruesos cristales de cuarzo (gris oscuro). Esta roca presenta bajos valores en álcalis -Na₂O + K₂O- (2%) y titanio (1%).

Esto es típico de las zonas de dorsal oceánica, y de los llamados "basaltos de inundación" o "basaltos de *plateu*" (*flood basalts*), que constituyen enormes acumulaciones de lavas que han salido a la superficie en un momento muy específico de la historia de la Tierra. Serie calco- alcalina.

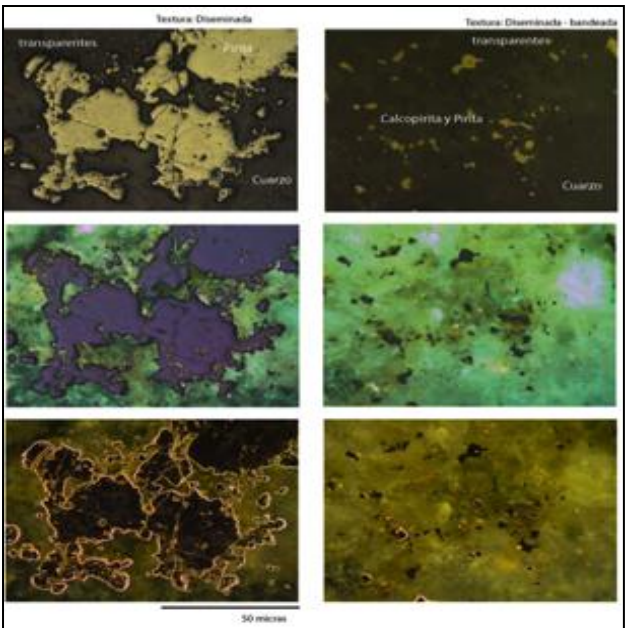


Foto 3.1.1 Láminas opacas de la muestra PI 005. Fuente: Autor.

Muestra PI 048 consta de 3 textura diferentes:

Textura Masiva – bandeada: presenta magnetita euhedral (café claro), calcopirita anhedral (amarilla).

Textura diseminada: presenta calcopirita anhedral (amarilla), la ganga comprende gruesos cristales de cuarzo (gris oscuro).

Textura columnar: presenta magnetita euhedral (café claro), la ganga comprende gruesos cristales de cuarzo.

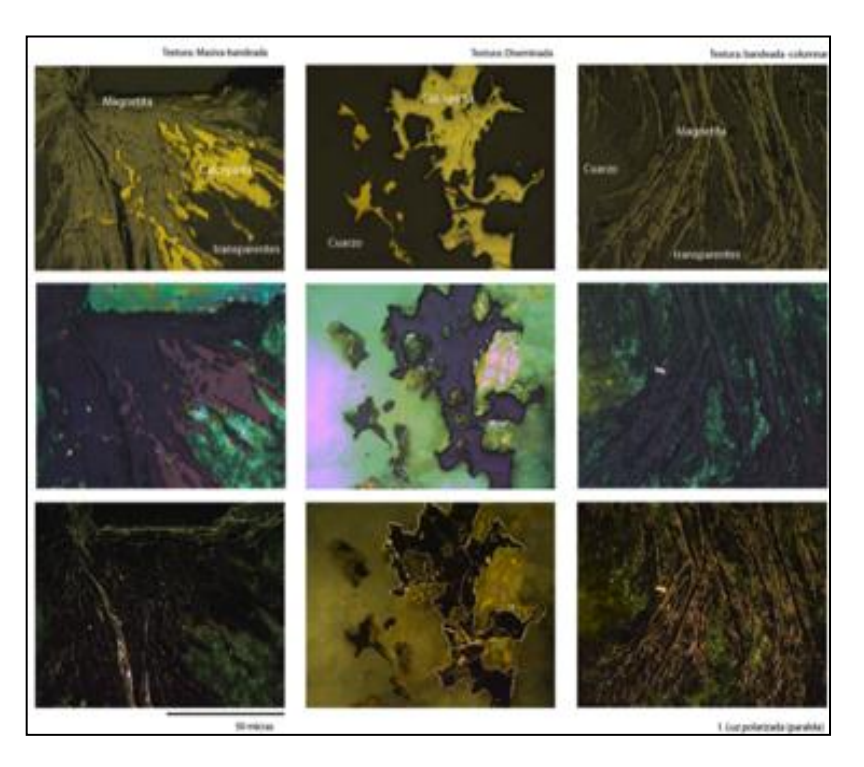


Foto 3.1.2 Láminas opacas de la muestra PI 048. Fuente: Autor.

El porcentaje en sílice (SiO₂) en este tipo de magma es del 50%.

Las mineralizaciones definidas se localizaron en muestras localizadas en contactos entre diferentes litologías y asociadas a discontinuidades (fallas y diaclasas). Probablemente la mineralización presente se debió a procesos hidrotermales posteriores a la formación de las rocas estudiadas y no a

procesos contemporáneas a estos. Ejemplos de la mineralización descrita también se presentan en otras probetas estudiadas (Foto 3.1.3).

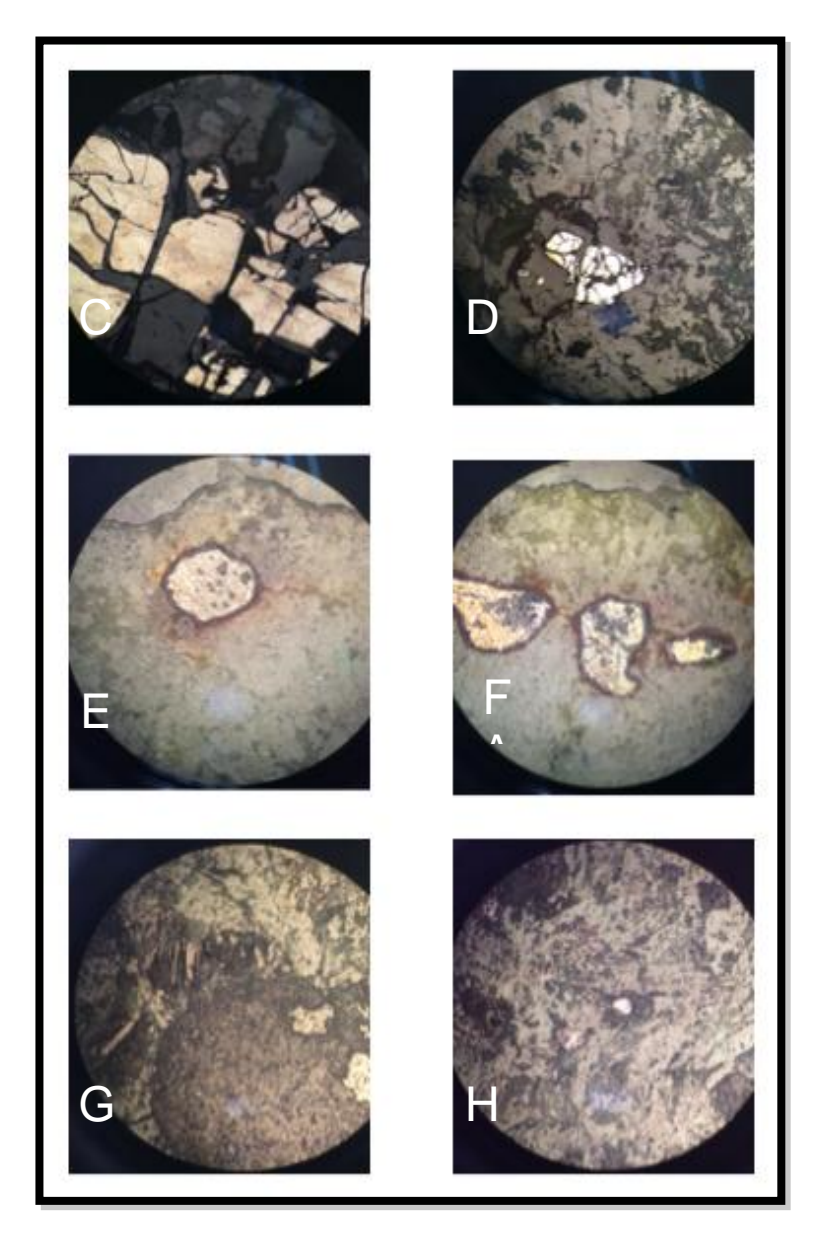


Foto 3.1.3 Láminas opacas de la muestra PI 014 (C y D). Láminas opacas de la muestra PI 046 (E y F). Láminas opacas de la muestra PI 009 (G y H). **Fuente:** Autor.

3.5 CARTOGRAFÍA

La información de muestra de rocas recolectadas en el campo, junto con las descripciones petrográficas y calcográfica efectuadas en el laboratorio sirvieron para realizar diferentes mapas temáticos.

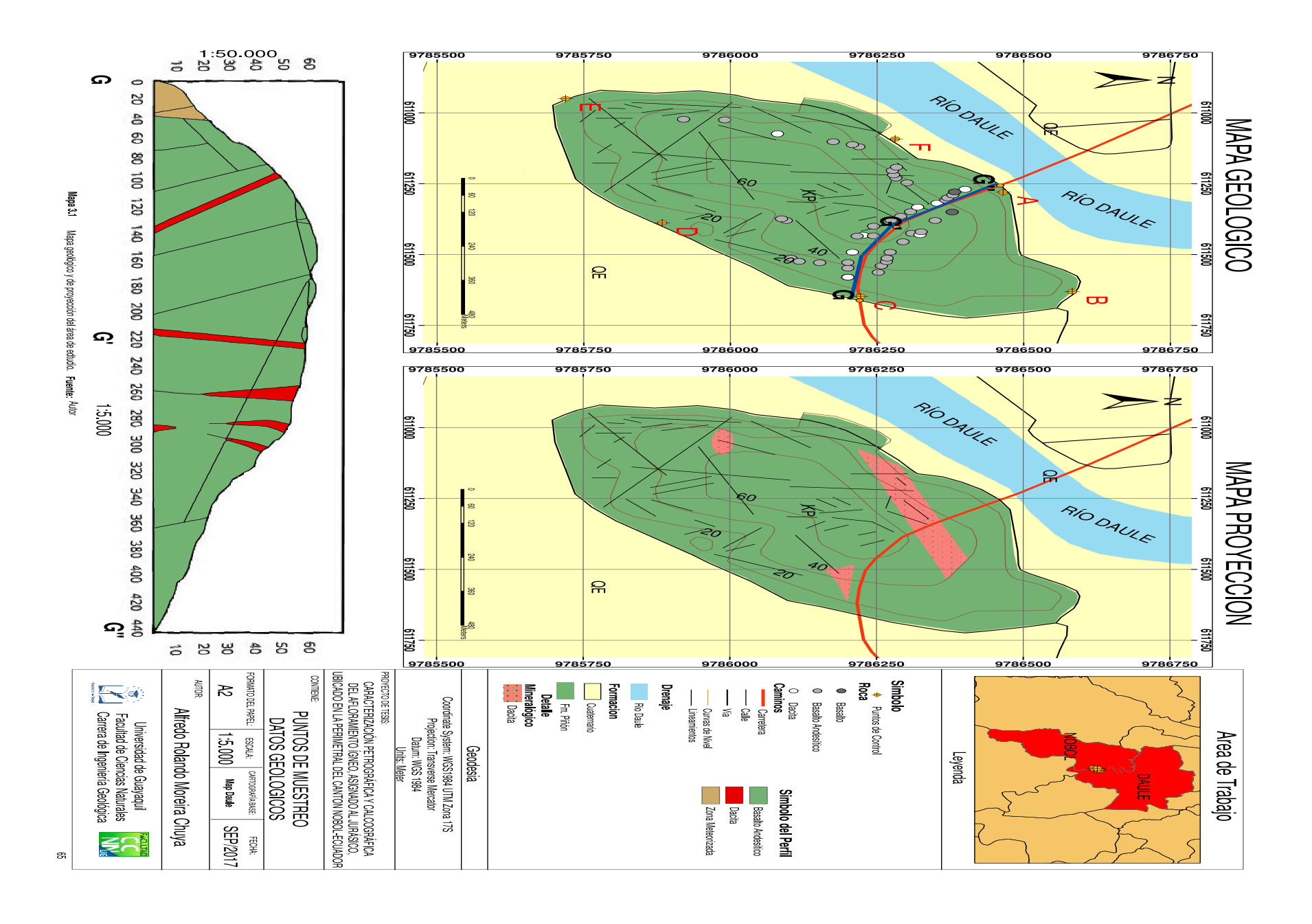
La cartografía incluye geología simplificada, cortes representativos del afloramiento, geología diferenciada asociada a cotas y lineamentos principales en relación a elevaciones.

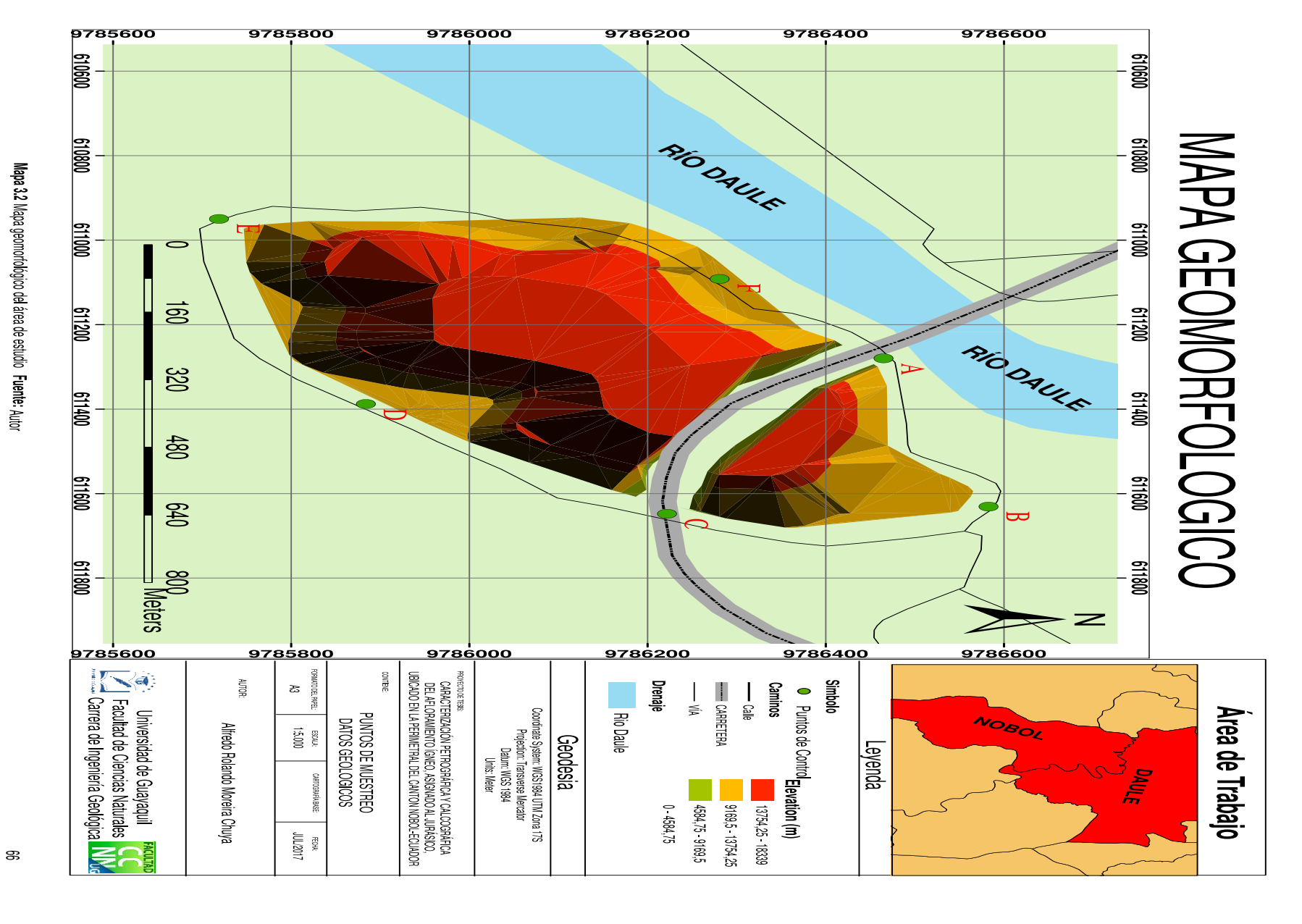
Para el mapeo fue necesario partir de un mapa base e imágenes satélitales que permitieron determinar las zonas de lineamientos. Por otra parte las hojas geológicas y cartográficas permitieron establecer la formación en la cual se presentaba el afloramiento en estudio.

Una vez en el campo se tomaron muestras de rocas cada 20 m, y a cada una se las codificó con datos que incluían coordenadas y descripción (color, golpe de martillo, magnetismo, minerales accesorios, datos estructurales).

Finalmente los análisis petrográficos y calcográficos realizados a las muestras de rocas permitió su identificación. De esta manera en el perfil geológico fue la herramienta necesaria para fijar los diques de dacitas encontrados en el afloramiento (figura 3.7).

.





Mapa 3.2 Mapa geomorfológico del área de estudio Fuente: Autor

CAPÍTULO IV

IMPLICACIONES GENÉTICAS

4.1 DISCUSIONES

Desde el punto de vista metodológico, el proceso llevado en la tesis ha permitido una adecuada caracterización mineralógica y petrográfica del afloramiento volcánico estudiado. La secuencia de trabajo planteada llevó los apartados habituales durante iniciativas orientadas a la identificación precisa de los materiales rocosos (Melgarejo et al., 2010, Castroviejo y Berrezueta, 2007; Berrezueta y Castroviejo, 2009) y a su posterior representación cartográfica.

El trabajo de campo facilitó una visión preliminar del afloramiento estudiado (identificación de cambios litológicos, estructuras principales) lo que a continuación permitió una adecuada planificación del trabajo en cuanto a trabajar las zonas más adecuadas del muestreo. El muestreo se enfocó a reflejar todas las litologías que se apreciaban a nivel macroscópico y a zonas aledañas a discontinuidades. Finalmente una primera base cartográfica geológica fue desarrollada junto con datos descriptivos de campo (litologías, localización de puntos de muestreo, cortes preliminares, datos mecánicos de las rocas). La campaña de toma de muestras se realizó en dos meses.

En lo relacionado a las técnicas empleadas en la caracterización petrográfica de las muestras recolectadas, la Mineralogía Óptica Polarizada MOP (reflejada y transmitida) complementada con la Microscopía Electrónica de Barrido (MEB) con su respectivo Análisis Químico (EDAX) y la

Fluorescencia de Rayos X (FRX), representan unas herramientas eficientes, eficaces y actuales para una caracterización detallada preliminar de rocas y minerales en aplicaciones prácticas (MacKenzie et al., 1982; Krrinsley and Takahashi, 1962; Reed, 2005; Melgarejo et al., 2010; Berrezueta et al., 2016 a; Berrezueta et al., 2016 b). El estudio petrográfico con Microscopio de transmisión permitió una definición general de la tipología de roca (textura minera y mineralización). El microscopio de reflexión facilitó la identificación de la mineralización metálica y su textura. El MEB proporcionó la definición exacta de algunas fases minerales previamente identificadas ópticamente y con su respectivo EDAX. Finalmente, la FRX aportó el criterio químico de los elementos mayores de la roca total en la interpretación de la clasificación de rocas mediante los procedimientos disponibles en la literatura (Tosselli, 2012; Winter, 2010). Los ensayos complementarios realizados en España (IGME y UNIOVI) permitieron validar los análisis realizados en la Universidad de Guayaquil. La metodología de interpretación y análisis fue similar por lo que la reproducibilidad de las sistemáticas quedó garantizada. La preparación de muestras específicas y análisis se realizaron en tres meses.

La relación entre los datos de campo y los ensayos de laboratorio permitió el desarrollo de diversas cartografías temáticas (geología general, lineamientos, topografía, mapa geológico detallado). El procedimiento para el desarrollo del mapa geológico detallado consistió de trabajo de gabinete y nuevas visitas al campo para afinar contactos y lineamientos. Finalmente, se definieron las zonas favorables para el aprovechamiento de los recursos

definiendo las características de las principales tipología de roca según su potencial uso (Puche and García de Miguel, 1991). Esta tarea se desarrolló en un mes.

Desde el punto de vista de los resultados, las litologías definidas para el afloramiento (basaltos, basalto andesítico y dacitas) pueden interpretarse en un contexto de génesis como (figura 4.1):

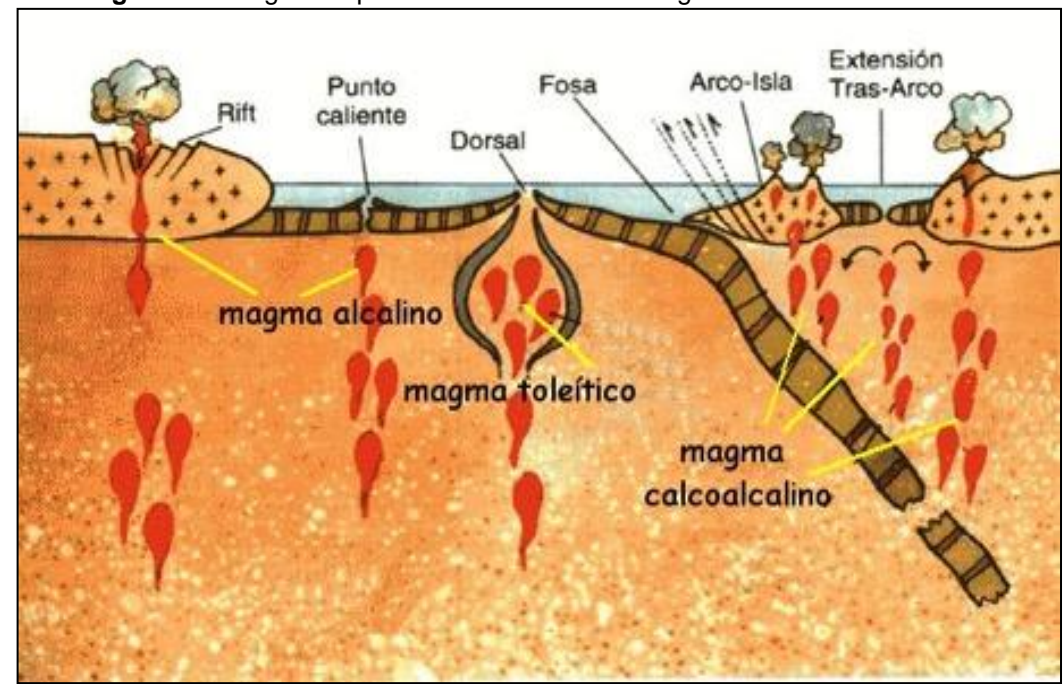


Figura 4.1 Origen simpificado de los distintos magmas formadores de roca.

Fuente: https://www.goo.gl/1nde8F

• Magma toleítico. Se genera en las dorsales oceánicas a poca profundidad (entre 15 y 30 km de profundidad) como consecuencia de la fusión parcial de las peridotitas del manto. El magma llega a las capas superficiales rápidamente, por lo que no hay tiempo para su evolución o diferenciación. Forma basaltos toleíticos y gabros. El porcentaje en sílice (SiO₂) en este tipo de magma es del 50%.

- Magma Alcalino. Es un magma rico en metales alcalinos, especialmente sodio y potasio que se genera a partir de la fusión parcial de peridotitas en zonas profundas. Suele aparecer en ambientes de rift continental y puntos calientes a una profundidad de entre 30 y 70 Km. El ascenso de los magmas desde la profundidad en la que se generan proporciona el tiempo necesario para que se produzca su diferenciación. Origina basaltos alcalinos, traquitas, riolitas entre otras rocas. Su porcentaje en sílice es menor del 45%.
- Magma Calcoalcalino. Se forma por fusión a gran profundidad (100 a 150 km) de la corteza oceánica subducida. Son magmas que no ascienden a la superficie por regla general debido a la profundidad en la que se forman, existiendo bastante tiempo para su diferenciación. Este magma origina andesitas, riolitas, dioritas y granitos. Su composición en sílice es del 60%.

La Formación Piñón, ha si denominada por Tschopp, 1948; y definida como el basamento de rocas sedimentarias de la cordillera Chongón Colonche. En estudios se índico un origen de Dorsales Mid-Oceánicas por Lebras, op.cit para los basaltos de la Fm. Piñón. Después Reynaud, op.cit demostró que las rocas tienen características geoquímicas de rocas erupcionadas a partir de un mantle-plumes. Estas interpretaciones indicaron que hay varios bloques que forman una gran provincia ígnea. Por otro lado Luzieux, op.cit define que la Fm. Piñón contiene basaltos columnares (en bloque San Lorenzo) y lavas de islas

oceánicas, así como gabros y werlitas de islas oceánicas también. En este estudio estimamos, por los análisis realizados, que el cuerpo ígneo en estudio es de origen de piso oceánico, en concordancia con estudios de los años 80.

Este magma posteriormente ha sido afectado por alteración hidrotermal como se confirma por la presencia de los minerales de las fisuras halladas en el afloramiento de cuarzo y carbonato (figura 4.2).

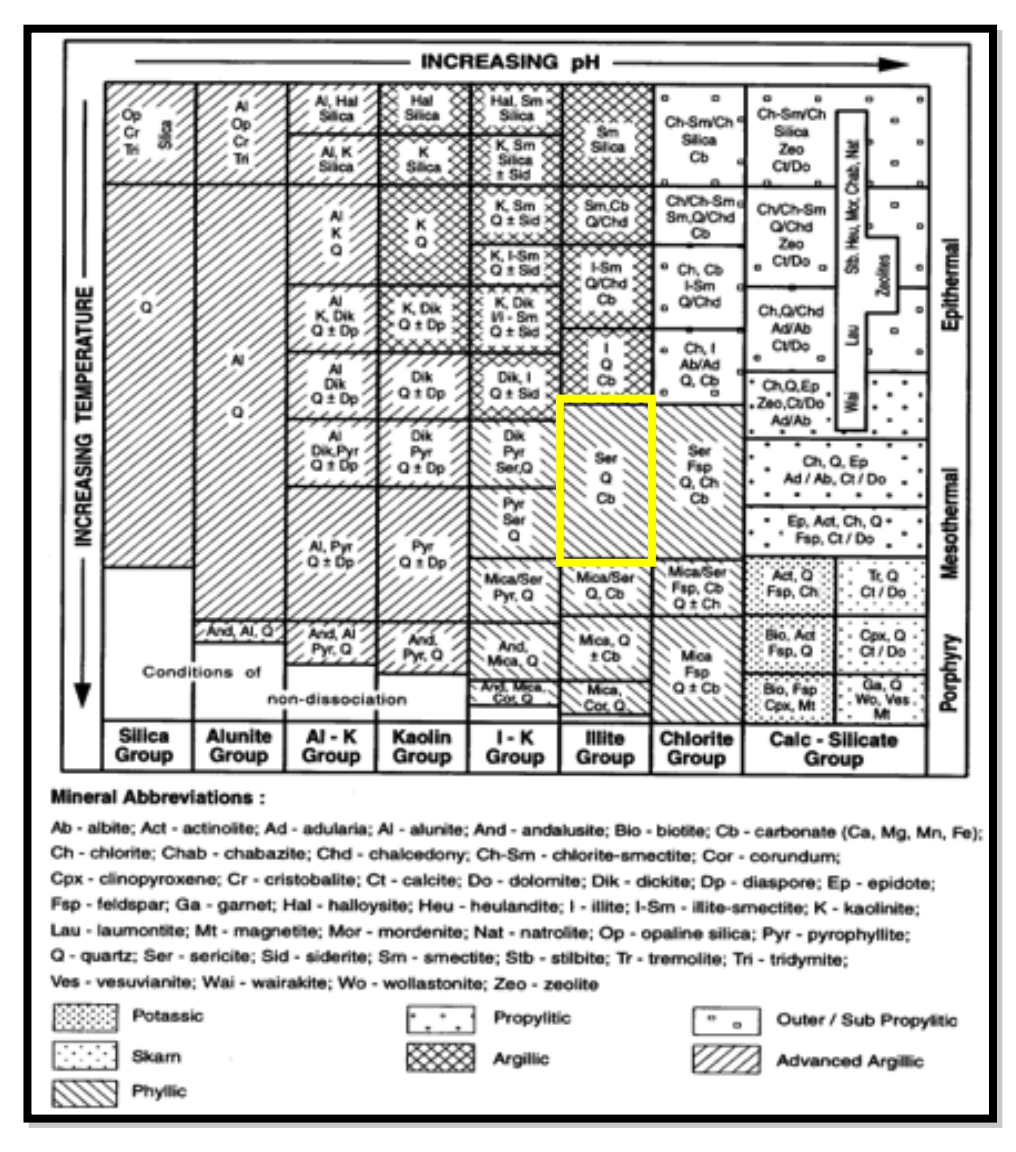


Figura 4.2 Minerales de alteración común en sistemas hidrotermales. **Fuente**: tomado de Corbett and Leach, 1998.

CAPÍTULO V

CONCLUSIONES Y RECOMENDACIONES

5.1 CONCLUSIONES

Mediante los estudios realizados, se puede definir:

- La mineralogía predominante del sector se caracterizó con la mineralogía óptica, se reconoció plagioclasas y piroxenos como minerales mayoritarios. Las plagioclasas están en gran parte como microlitos componentes de la matriz. También se reconoció presencia de anfíboles, estos mediante MEB. En minerales de alteración se reconoce la sericita y prehnita. Las fisuras están rellenas con minerales como carbonatos, tipo calcita, y cuarzo con algunas apariciones de epidota, permitiendo definir una alteración tipo hidrotermal posterior a la formación del cuerpo.
- Los minerales opacos presentes en el cuerpo ígneo son pirita y
 calcopirita diseminada, así como algo de magnetita. Estos minerales
 serían parte de la formación de las lavas, aunque se reconoció una
 vetilla rellena de cuarzo, calcita y enriquecida en calcopirita, aportando a
 la definición del evento hidrotermal.
- En el caso de los basaltos hallados en la zona de estudio se puede definir que son toleítico-subalcalino, al presentar bajos valores en álcalis
 -Na₂O + K₂O- (2%), titanio (1%) y valores sobre 50 % de SiO₂, podría

decirse que se corresponden con rocas típicas de las zonas de dorsal oceánica, y de los llamados "basaltos de inundación" o "basaltos de plateu" (flood basalts), que constituyen enormes acumulaciones de lavas que han salido a la superficie en un momento muy específico de la historia de la Tierra. En principio, podría decirse que en las muestras estudiadas podrían establecer dos secuencias de cristalización, i) una primera etapa de cristalización de olivino y el clinopiroxeno de forma lenta produciendo cristales hidiomórficos y ii) una segunda etapa de cristalización donde predomina la formación de plagioclasas y el clinopiroxeno de la matriz, posiblemente durante el ascenso de magma a superficie. La presencia de epidota probablemente tenga su origen en alteración hidrotermal posterior (alteración hidrotermal una feldespatos, piroxenos, anfíboles u otros componentes). Los basaltos se asociarían a márgenes divergentes de tipo rift oceánico (dorsales) aunque también puede desarrollarse en contextos de arco de isla.

En el caso de las andesitas basálticas, estas rocas procederían de un magma parental con características predominantemente básico y que habría evolucionado a términos andesíticos durante ascenso y efusión en superficie. Estas rocas estarían asociadas también a zonas de subducción. En particular, de la generación de magmas por fusión parcial de la placa que subduce. Así, los magmas generados pueden presentar unas características geoquímicas específicas condicionadas a las rocas que pueden fundir en esta situación tectónica.

En el caso de las Dacitas (o rio-dacitas), La muestra analizadas podría enmarcarse como una roca intermedia (dacita)-acida (riolita) que debería relacionarse con rocas plutónicas de las mismas características geoquímicas (granodiorita). Esta roca se enmarcaría también dentro de la serie calcoalcalina. Es importante indicar que estas rocas podrían proceder en un principio de magmas profundos con carácter básico que experimentan un rápido enfriamiento y que han sufrido procesos de contaminación por materiales continentales en zonas de subducción. Las coladas o domos riodaciticos podrían haberse generado por el enfriamiento de magmas de una composición intermedia-ácida. Es decir, estas rocas se enmarcan en contextos tectónicos de subducción donde se generan estos magmas calcoalcalinos / subalcalinos y, que posteriormente, evolucionan hasta estos términos rio-dacíticos. La presencia de anfíbol y biotita primarias indican que el magma generador de esta roca presentaba un alto contenido en agua. Este contenido en agua está asociado con el contexto tectónico que generó el magma, que típicamente se enmarca en márgenes de subducción. En este contexto se producen magmas derivados de la fusión parcial de la placa que subduce, pudiendo fundir materiales ricos en agua que la incorporarían al magma y durante la evolución del mismo daría lugar a esta dacita o riodacita.

- En general, a partir de las tres rocas encontradas y definidas: basaltos, andesita-basáltica y dacita, el origen podría plantearse como que: a) los procesos de cristalización fraccionada, combinadas con asimilación de rocas corticales, serían responsables de la producción de magmas más silícicos. Hay una gradación de básica a ácida. Pero, si decimos que hay dos grupos generales: Dos tipologías de rocas generales han podido observarse: Un primer tipo "básicas" y otras "intermedias-ácidas" ambas calcoalcalinas. La explicación sería que: b) se tendría una asociación bimodal, lo que nos llevaría a proponer que los magmas ácidos, se habrían generado por fusión parcial de rocas básicas (basaltos) en la base de la corteza continental".
- En cuanto a la caracterización de material para la industria de agregados de asfalto, es interesante este tipo de rocas, pero se debe priorizar el uso de los basaltos y basaltos andesíticos, y evitar el acarreo de material de tipo dacitico.

5.2 RECOMENDACION

- La presentación de una hipótesis definitiva sobre el origen de este cuerpo ígneo está fuera del alcance de este trabajo y requería un estudio más detallado. Para tal fin se sugiere que se exploren más cuerpos aledaños con un mismo tipo de estudio y mayor caracterización de muestras en ensayos geoquímicos.
- Considero q el marial de basalto andesítico es optimo para la industria de agregados de asfalto pero se recomienda que para el uso se siga la normativa que índica q se sebe de hacer ensayos de granulometría y físico mecánico para el adecuado uso .

BIBLIOGRAFÍA CITADA

- Baldock, J. (1982). Geología del Ecuador. Boletín de Explicación del Mapa Geológico de la República del Ecuador, Esc. 1:1 000.000. Quito: Dirección General Geología y Minas.
- Benítez, S.B. (1990). Estratigrafía de las formaciones Cayo y Guayaquil en la Cordillera Chongón-Colonche: hacia una redefinición. Geociencia, 5(3):11-14.
- Benítez, S.B. (1995). Evolution géodynamique de la province côtière sud-équatorienne au Crétacé supérieur-Tertiaire. Géologie Alpine, 71: 3-163.
- Berrezueta, E., Castroviejo, R., Pantoja, F., Álvarez, R. (2002).
 Mineralogical study and digital image analysis quantification of gold ores from Nariño (Colombia). Application to the improvement of the ore processing. Bol. Geol. Min. 113, 369–379. ISSN: 0366-0176
- Berrezueta, E. and Castroviejo, R. (2009). Automated microscopic characterization of metallic ores with image analysis: A key to improve ore processing. I: Test of the methodology. Rev. Metal., 43(4), 294–309.
 DOI: 10.3989/revmetalm.2007.v43.i4.75

- Berrezueta, E., Casado-Ordoñez, B., Quintana, L. (2016a). Qualitative and quantitative changes in detrital reservoir rocks caused by CO2–brine–rock interactions during first injection phases (Utrillas sandstones, northern Spain). Solid Earth, 7, 37–53. Doi: 10.5194/se-7-37-2016.
- Berrezueta, E., Ordóñez-Casado, B., Bonilla, W., Banda, R., Castroviejo,
 R., Carrión, P., Puglla, S. (2016b). Ore petrography using optical image analysis: application to Zaruma Portovelo deposit (Ecuador).
 Geosciences, 6, 30: 1-24. doi: 10.3390/geosciences6020030.
- Bristow, C.R. (1976). The age of the Cayo Formation, Ecuador.
 Newsletters on Stratigraphy, 4(3): 169-173.
- Castroviejo, R. and Berrezueta, E. (2007). Automated microscopic characterization of metallic ores with image analysis: A key to improve ore processing. II. Metallogenetic discriminating criteria. Rev. Metal., 45, 439–456.
- Cande, S.C. and Kent, D.V. (1995). Revised calibration of the geomagnetic polarity timescale for the Late Cretaceous and Cenozoic.
 Journal of Geophysical Research, B, Solid Earth and Planets, 100(4): 6093-6095.

- Davidson, MW, y Abramowitz, M. (2002). Microscopia óptica. Enciclopedia de ciencia y tecnología de imágenes.
- Faucher, B. and Savoyat, E. (1973). Esquisse géologique des Andes de l'Equateur, Numero special sur les Andes. Revue de Geographie Physique et de Geologie Dynamique. Masson, Paris, France, pp. 115-142.
- Feininger, T. and Seguin, M. K. (1983). Campo de anomalía de la gravedad de Bouguer simple y la estructura crustal inferida del Ecuador continental. Geología, 11: 40-44.
- Goossens, P.J., and Rose, W.I., Jr. (1973). Chemical Composition and Age Determination of Tholeitic Rocks in the Basic igneous Complex, Ecuador. Geological Society of America Bulletin, 84(3); 1043-1051.
- Gradstein F.M., Ogg. L., Smith A.G. (2004). A geological time scale.
 Cambridge University Press, Cambridge, 2004, 589 pp.
- Irvine, TNJ, and Baragar, WRAF (1971). Una guía para la clasificación química de las rocas volcánicas comunes. Revista canadiense de ciencias de la tierra, 8 (5), 523-548.

- Jaillard, E., Ordóñez, M., Benítez, S., Berrones, G., Jiménez, N., Montenegro, G., Zambrano, I. (1995). Basin development in an accretionary, oceanic-floored fore-arc setting; southern coastal Ecuador during Late Cretaceous-late Eocene time. In: J. Tankard Anthony, S. Soruco Ramiro and J. Welsink Herman (Editors), Petroleum basins of South America. AAPG Memoir. American Association of Petroleum Geologists, Tulsa, OK, United States, pp. 615-631.
- Juteau, T., Megard, F., Raharison, y L. Whitechurch, H. (1977) Les assemblages ophiolitiques de l'occident équatorien; nature pétrographique ct position structurale. Bulletin de la Société Géologique de France, 19(5): 1127-1132.
- Keller, G., Adatte, T., Hollis, CJ, Ordóñez, M., Zambrano, I., Jiménez, N.,
 Stinnesbaeck, W., Alemán, A., Hale, E. (1997). The Cretaceous/ Tertiary
 boundary event in Ecuador; reduced biotic effects due to eastern
 boundary current setting. Marine Micropalcontology, 31(3-4): 97-133.
- Kennerley, J.B. (1980). Outline of the Geology of Ecuador. Overseas
 Geology and Mineral Ressources, Inst. Geol. Sei., United Kingdom, 55,
 33 pp.
- Kerr, A.C., Aspden, J.A., Tamey, J. and Pilatasig, L. F. (2002). The
 nature and provenance of accreted oceanic terranes in western Ecuador;
 geochemical and tectonic constraints. Journal of the Geological Society
 of London, 159 Part 5: 577-594.

- Kerr, A.C. and Tarney, J. (2005). Tectonic evolution of the Caribbean and northwestern South America: The case for accretion of two Late
 Cretaceous ocean plateaus. Geology, 33(4): 269 272.
- Krrinsley, D., Takahashi, T. (1962) APPLICATIONS OF ELECTRON
 MICROSCOPY TO GEOLOGY. Transactions of the New York Academy
 of Sciences 25, Issue 1 Series II, 3–2
- Lebrat, M. (1985). Caractérisation géochimique du volcanisme antéorogénique de l'occident équatorien; implications géodynamiques.
 Documents et Travaux - Centre Géologique et Géophysique de Montpellier, 6. Université des Sciences et Techniques du Languedoc,
 Centre Géologique et Géophysique, Montpellier, France, 132 pp.
- Lebras, M., Mégard, F., Dupuy, C. and Dostal, J. (1987). Geoquímica y ajuste tectónico de las rocas volcánicas del Cretácico y del Paleógeno.
 Geological Society of America Bulletin, 99: 569 578.
- Le Maitre, R. W. B., Dudek, P., Keller, A., Lameyre, J., Le Bas, J., Sabine, M. J., and Zanettin, A. R. (1989). A classification of igneous rocks and glossary of terms: Recommendations of the International Union of Geological Sciences, Subcommission on the Systematics of Igneous Rocks (No. 552.3 CLA). International Union of Geological Sciences.

- Luzieux, L.D.A., Heller, F., Spikings, R., Vallejo, CF. and Winkler, W., (2006). Origin and Cretaceous tectonic history of the coastal Ecuadorian forearc between 1°N and 3°S: Paleomagnetic, radiometric and fossil evidence. Earth and Planetary Science Letters, 249: 400-414.
- Luzieux, L.D.A (2007). Origin and Late Cretaceous-Tertiary evolution of the Ecuadorian forearc. PhD Thesis, Institute of Geology ETH Zürich, Switzerland. 197 pp.
- Marks, J.G. (1956). Pacific coast geologic province of Ecuador. In: W.F.
 Jenks (Editor), Handbook of South American geology; an explanation of the geologic map of South America. Geol. Soc. Am., Mem., pp. 277-288.
- MacKenzie, W.S., Donaldson, C.H., Guilford, C. (1982). Atlas of Igneous
 Rocks an their Textures. Longman Group Ltd. Essex
- Marinos, P. and Hoek, E. (2000). GSI: a geologically friendly tool for rock
 mass strength estimation. In ISRM International Symposium.
 International Society for Rock Mechanics.
- Mejía, J.X.M. (1997). Corte estratigráfico de la formación Guayaquil en la vía perimetral de Guayaquil: propuesta como nueva localidad tipo.,
 Universidad de Guayaquil, Guayaquil, Ecuador, 159pp.

- Melgarejo, J.C., Proenza, J., Galí, S., Llovet, X. (2010). Técnicas de caracterización mineral y su aplicación en exploración y explotación minera. Boletín de la Sociedad Geológica Mexicana, 62, (1), 1-23.
- Olsson, A.A. (1942). Tertiary deposits of northwestern Soutii America and Panama. Proceedings of the 8th American Sciences Congress, 4: 231-287.
- Pichler, H. and Aly, S. (1983). Neue K-Ar-Alter plutonischer Gesteine in Ecuador. Zeitschrift der Deutschen Geologischen Gesellschaft, 134(2): 495-506.
- Puche, O., García de Miguel, M.J. (1991). Rocas volcánicas empleadas en la construcción. Mac Roc oa.upm.es/9877/1/roc maquina 1991.pdf
- Premoli Silva, I. and Verga, D. (2004). Practical manual of Cretaceous
 Planktonic Foraminifera. Vergu & Rettori eds., Perugia, Italy, 283 pp.
- Raharijohana, L. (1980). Pétrographie des roches volcaniques et antéorogéniques des Andes équatoriennes; contribution à l'étude de leurs paragénèses métamorphiques., Université Louis Pasteur, Strasbourg, France, 166 pp.

- Rengel, J. (1999). Elementos de Mineralogía Óptica para Estudiantes de Ciencias de la Tierra. Guayaquil: Unidad de Publicaciones Espol.
- Reed, S. J. B. (2005). Electron microprobe analysis and scanning electron microscopy in geology: Cambridge, U.K., Cambridge University Press, 201p.
- Reynaud, C, Jaillard, E., Lapierre, H., Mamberti, M. and Mascle, G.H. (1999). Oceanic plateau and island ares of southwestern Ecuador; their place in the geodynamic evolution of northwestern South America. Tectonophysics, 307(3-4): 235-254.
- Romero, J. (1990). Estudio estratigráfico detallado de los acantilados de Machalilla, Provincia de Manabí, ESPOL, Guayaquil, Ecuador, 259 pp.
- Rusnak, G. A. (1957). Theory and experiment, [Part] 1 of The orientation of sand grains under conditions of "unidirectional" fluid flow. Journal of Geology, 65(4): 384-409.
- Sheppard, G. (1946). The geology of the Guayaquil estuary, Ecuador.
 Journal of the Institute of Petroleum, 32(272): 492-514.
- Spotts, J.H. (1964). Grain orientation and imbrication in Miocene turbidity current sandstones, California. Journal of Sedimentary Petrology, 34(2): 229-253.

- Sauer, W. (1965). Geología del Ecuador. Ed. Ministerio de Educación,
 Quito, Ecuador, 384 pp.
- Toselli, A.J. (2012). Elementos básicos de petrología ígnea. Instituto
 Superior de Correlación Geológica (INSUGEO).
- Thalmann, H.E. (1946). Micropaleontology of upper Cretaceous and Paleocene in western Ecuador. Bulletin of the American Association of Petroleum Geologists, 30(3): 337-347.
- Tschopp, H.J. (1948). Geologische Skizze von Ekuador. Bulletin der Vereinigung Schweizerisches Petroleum - Geologen und - Ingenieur, 15(48): 14-45.
- Wallrabe, A.H.J. (1990). Petrology and geotectonic development of the western Ecuadorian Andes; the Basic Igneous Complex.
 Tectonophysics, 185(1-2): 163-182.
- Winter, J.D. (2010). An introduction to igneous and metamorphic petrology. New York: Prentice Ha

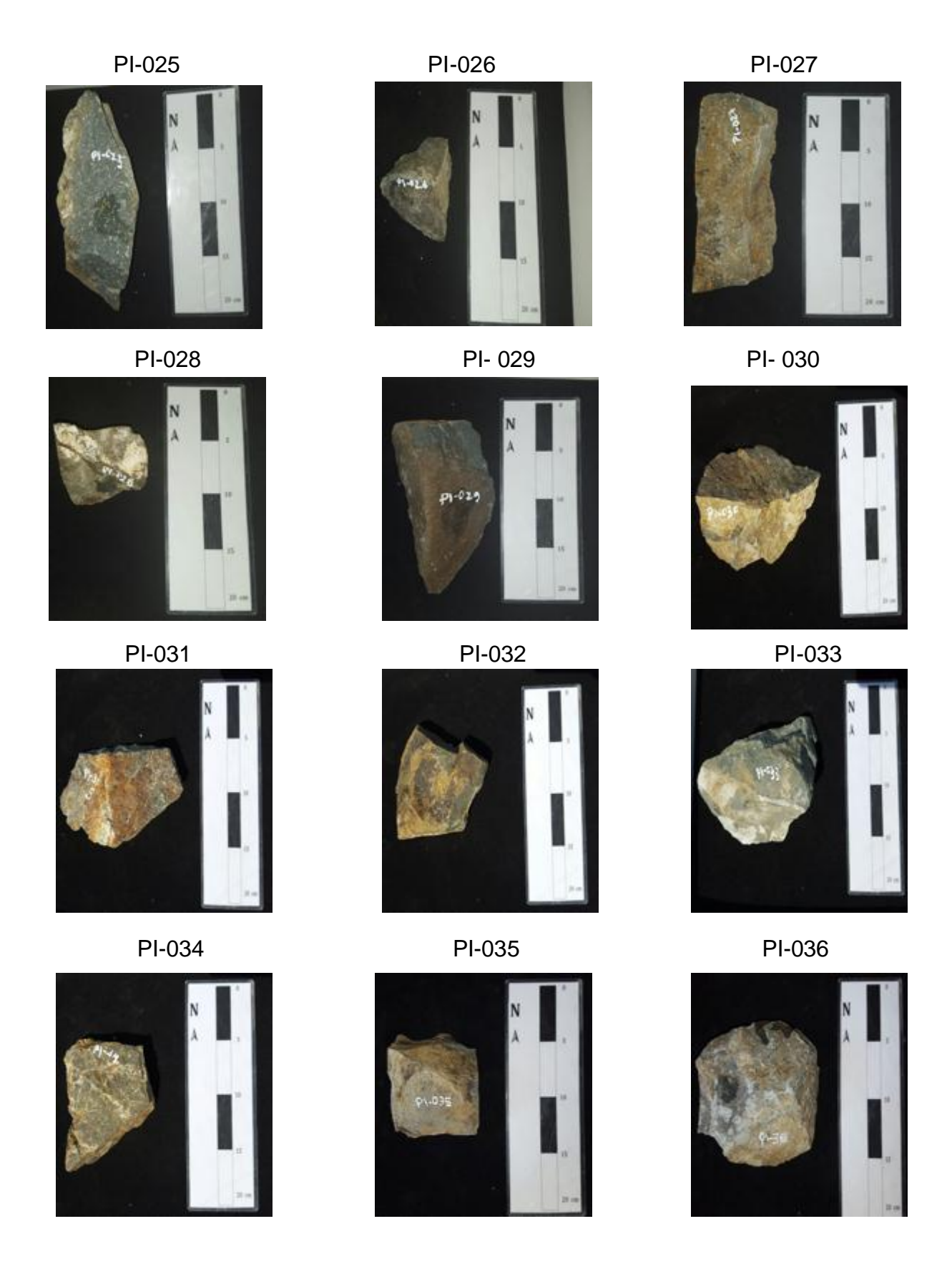
LINKOGRÁFIA

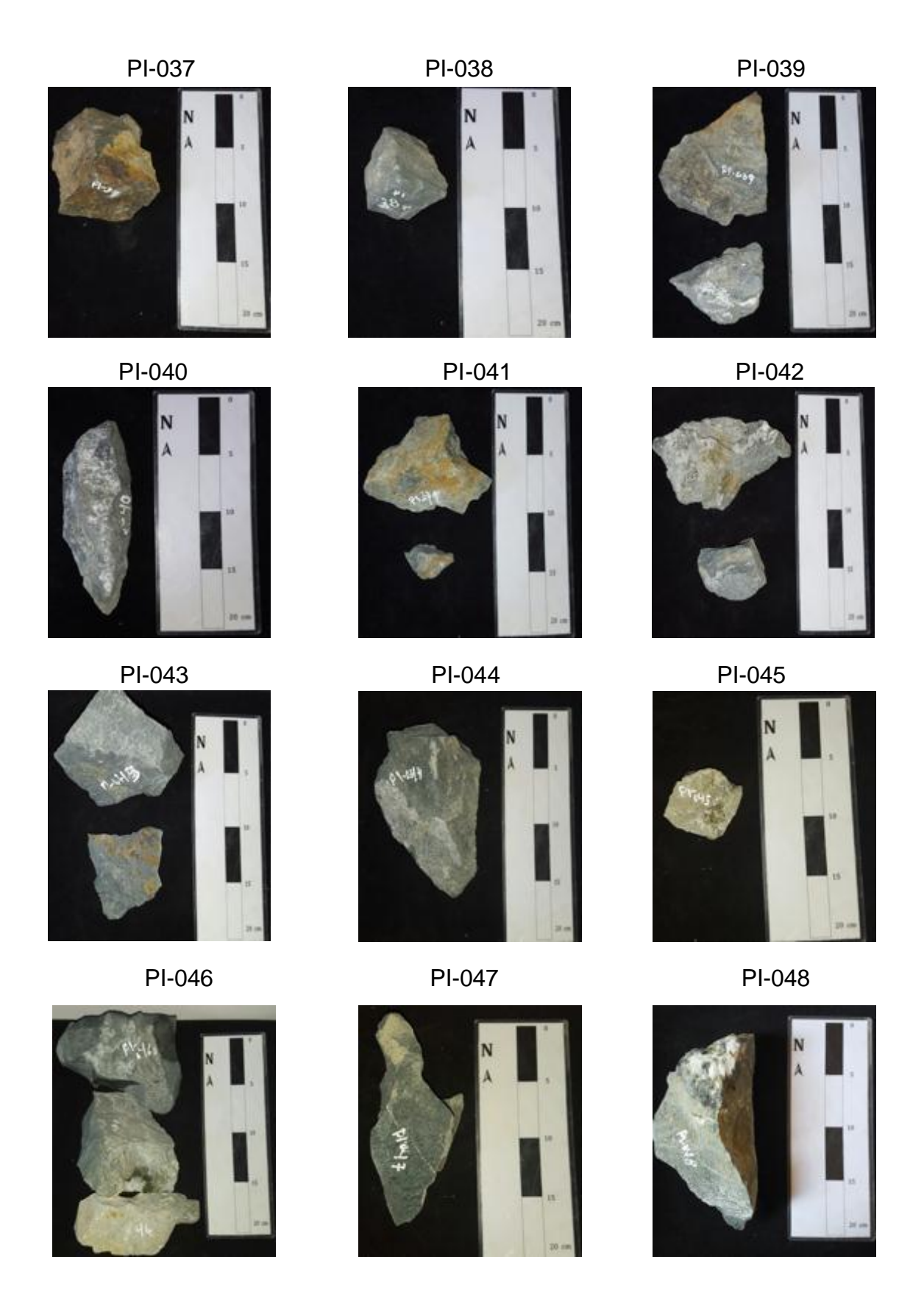
- Tema 4. Petrología: Rocas ígneas (2012).Clasificación de rocas ígneas.
 Disponible en : https://www.goo.gl/79N1UP. Septiembre de 2017
- Plan de Desarrollo y Ordenamiento Territorial (2014-2019). Guayas:
 Gobierno Autónomo Descentralizado Cantón Nobol. Disponible en: // https://www.goo.gl/XVDLZJ. Septiembre de 2017
- Diagrama de QAPF. Disponible en: https://www.goo.gl/TafWGo.
 Septiembre de 2017
- Clasificación y tipos de magmas. Disponible en:
 https://www.goo.gl/1nde8F. Septiembre de 2017

ANEXOS

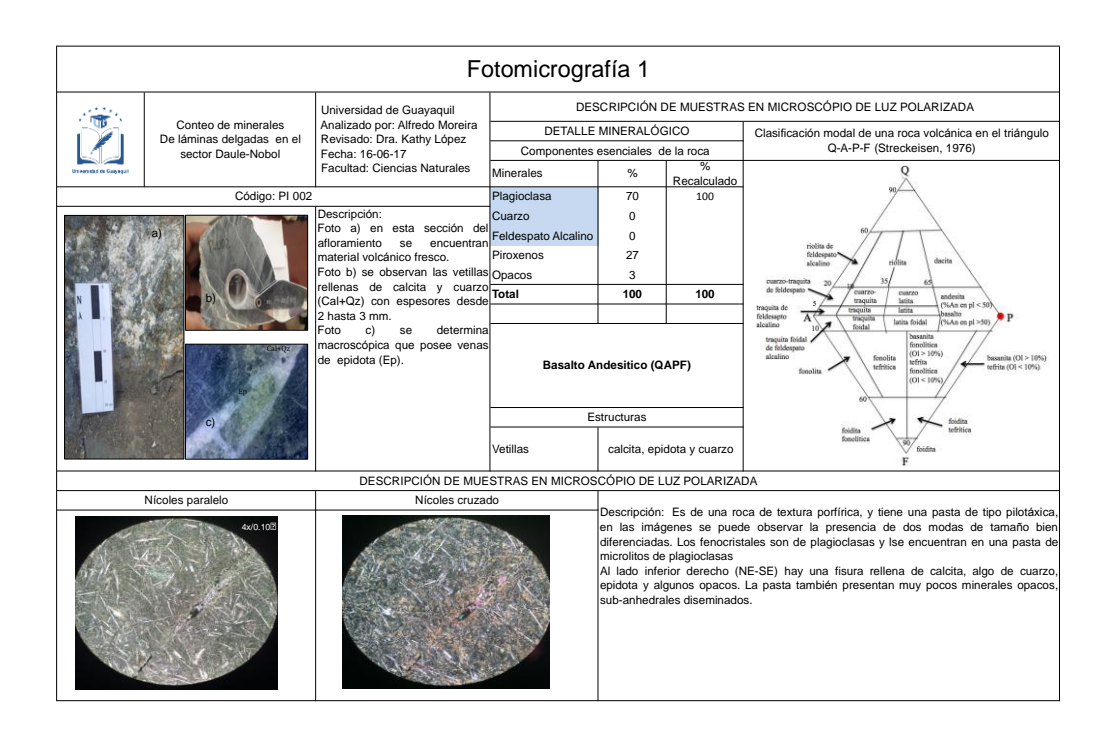
ANEXOS 1: MUESTRAS DEL AFLORAMIENTO EN PROSPECCIÓN

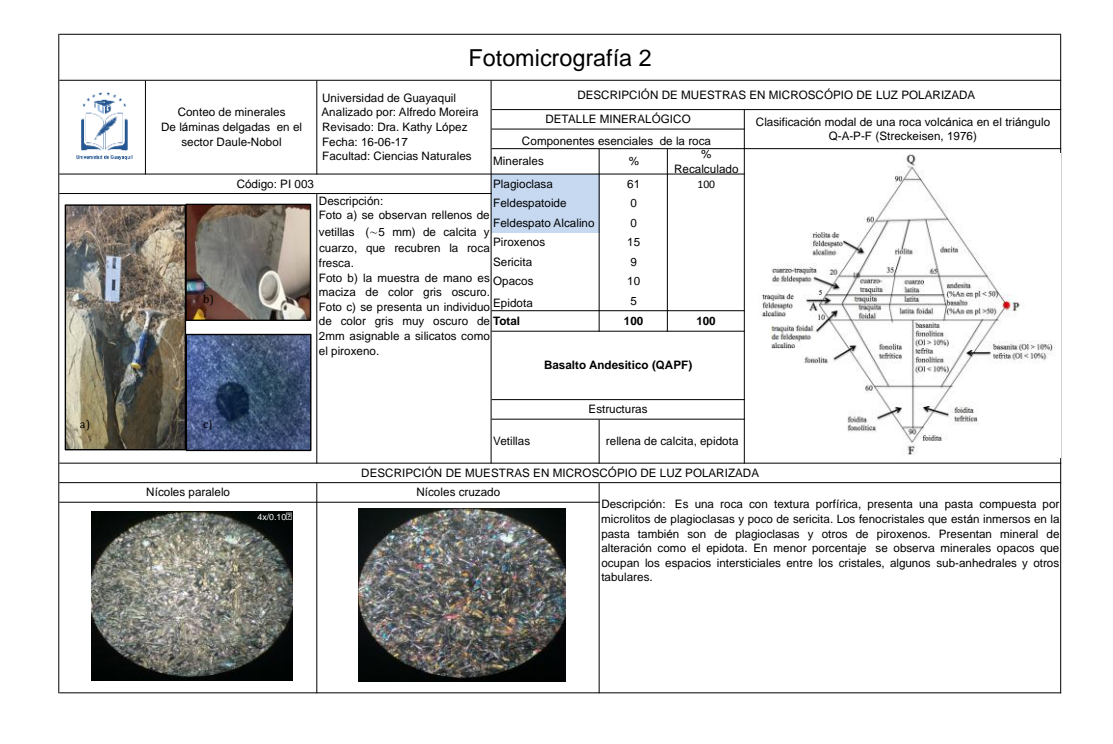
PI-016 PI-017 PI-018 PI-020 PI-021 PI-019 PI-022 PI-023 PI-024

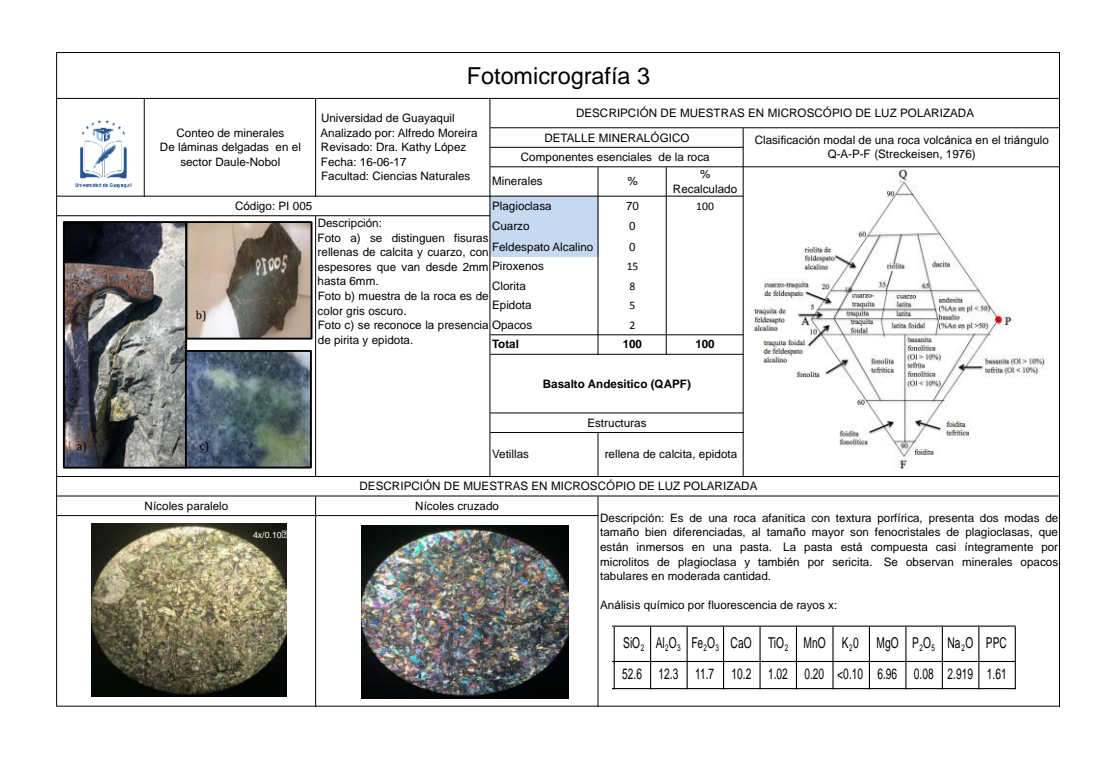


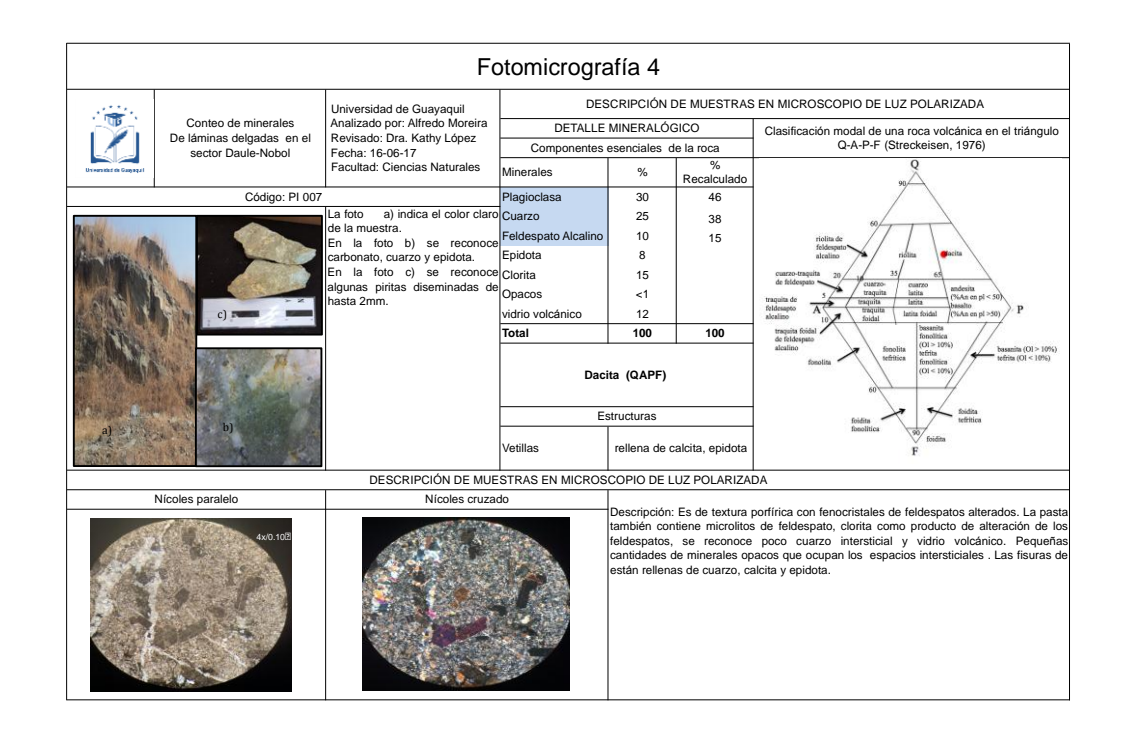


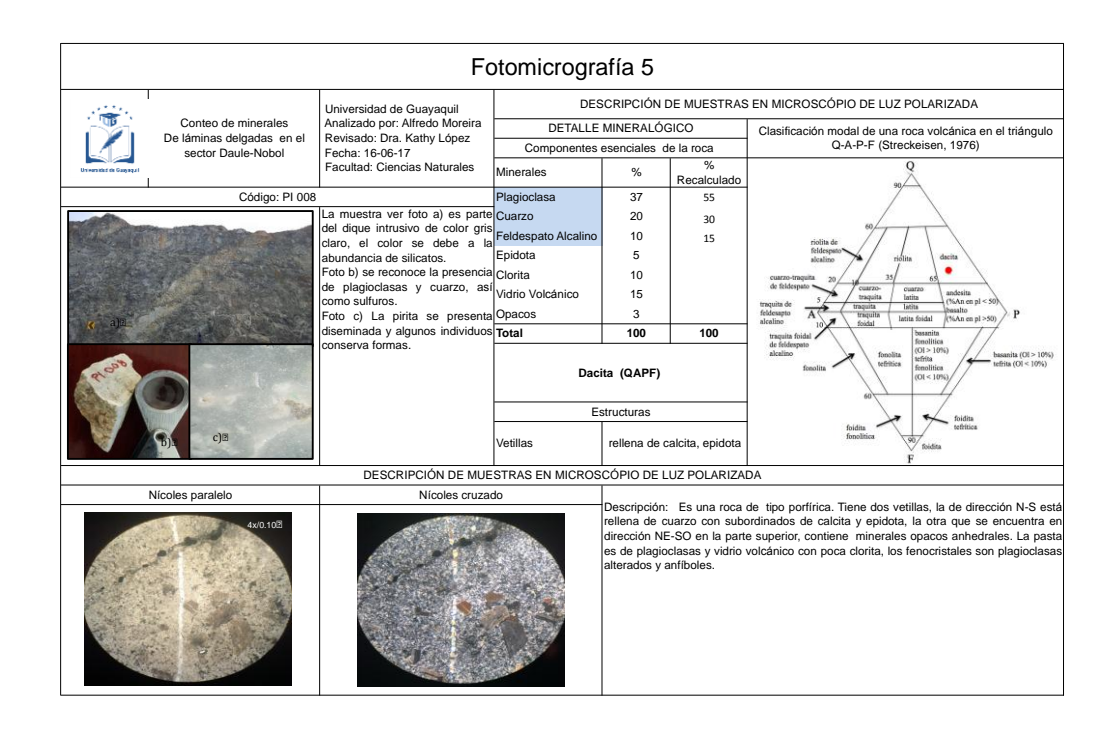
ANEXOS 2: PROPIEDADES ÓPTICAS

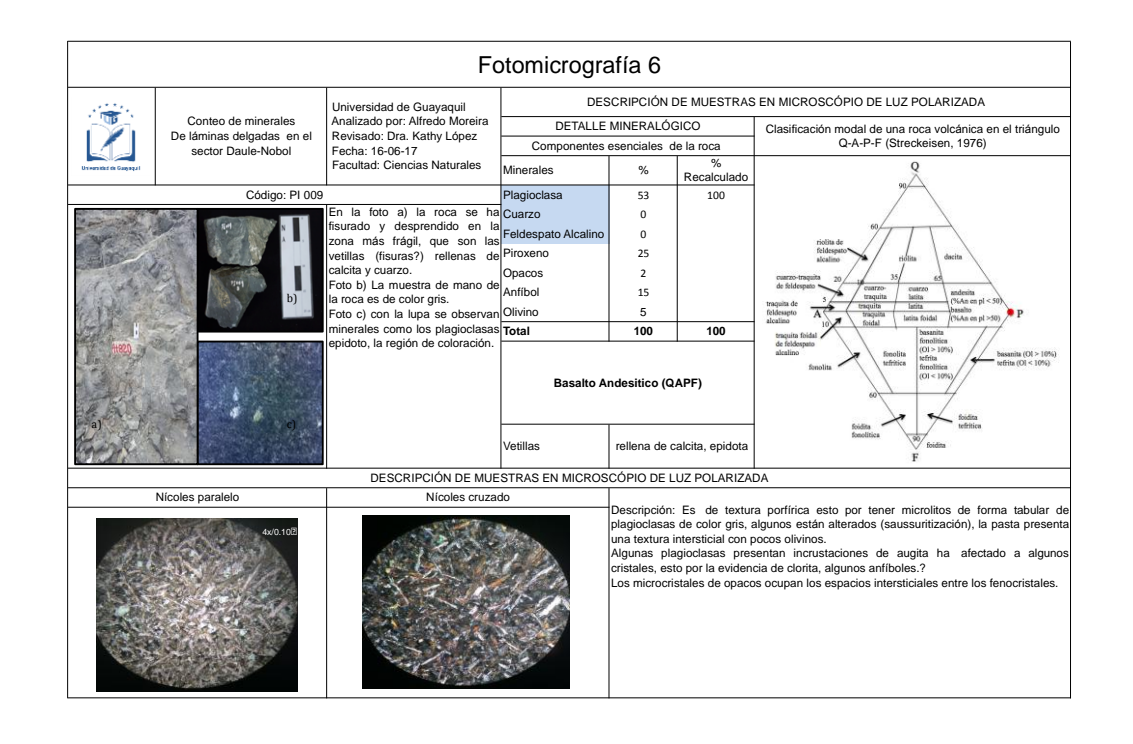


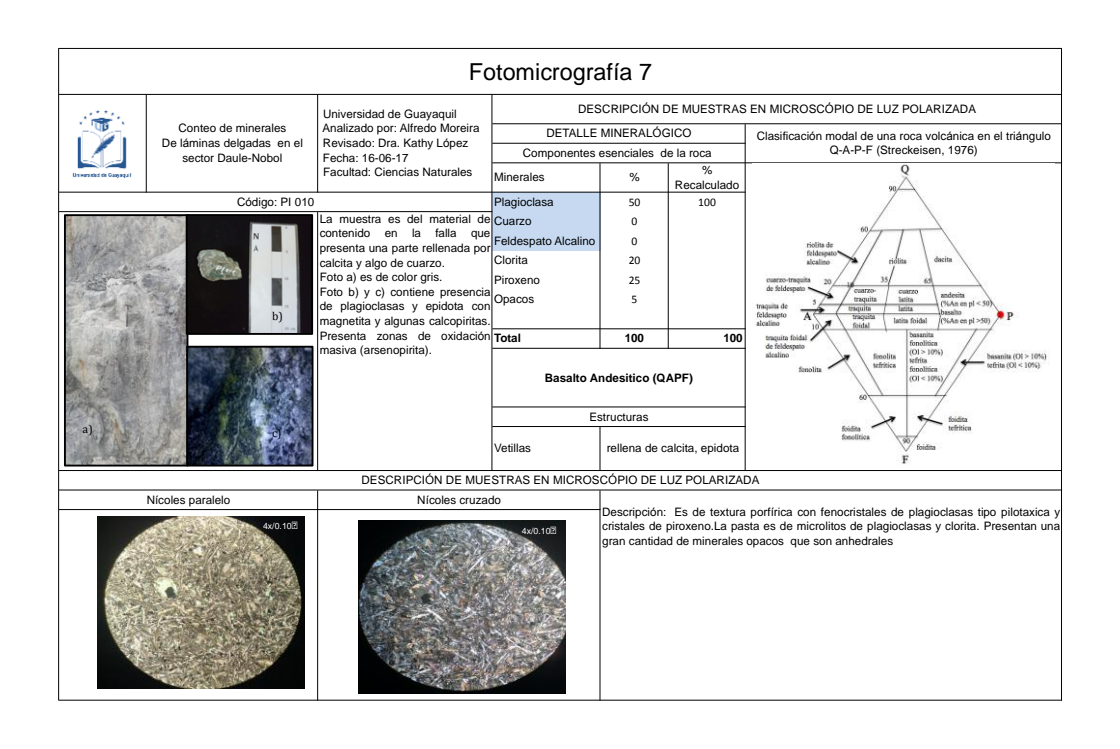


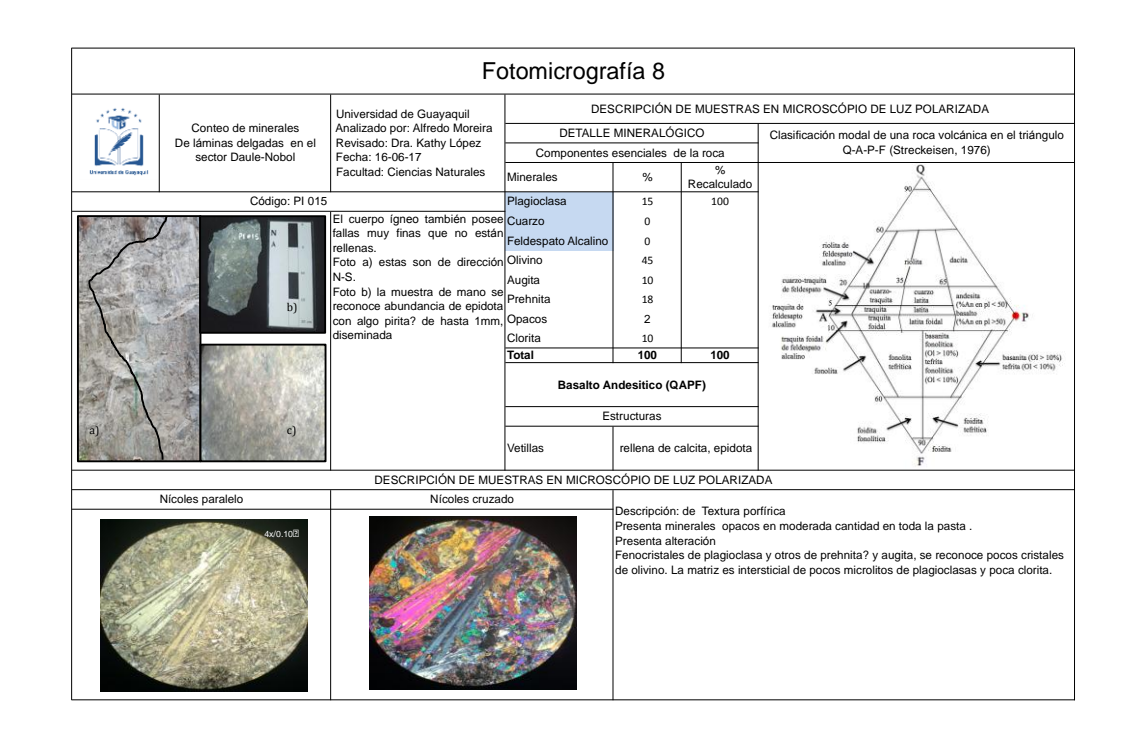


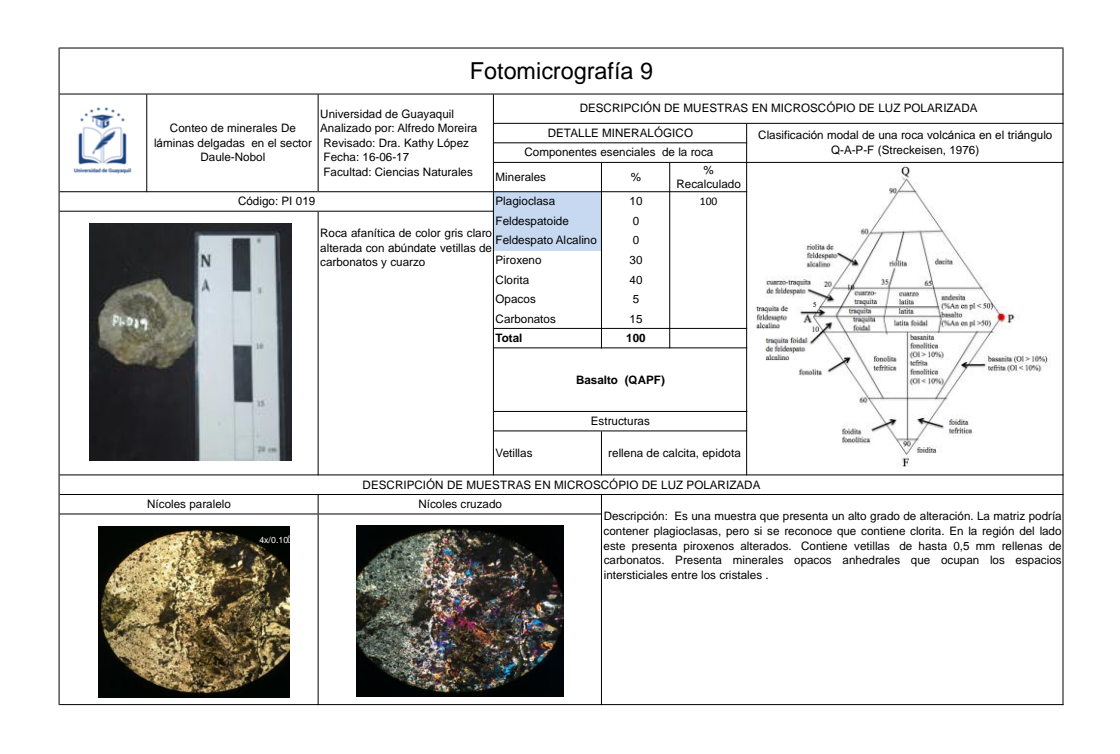


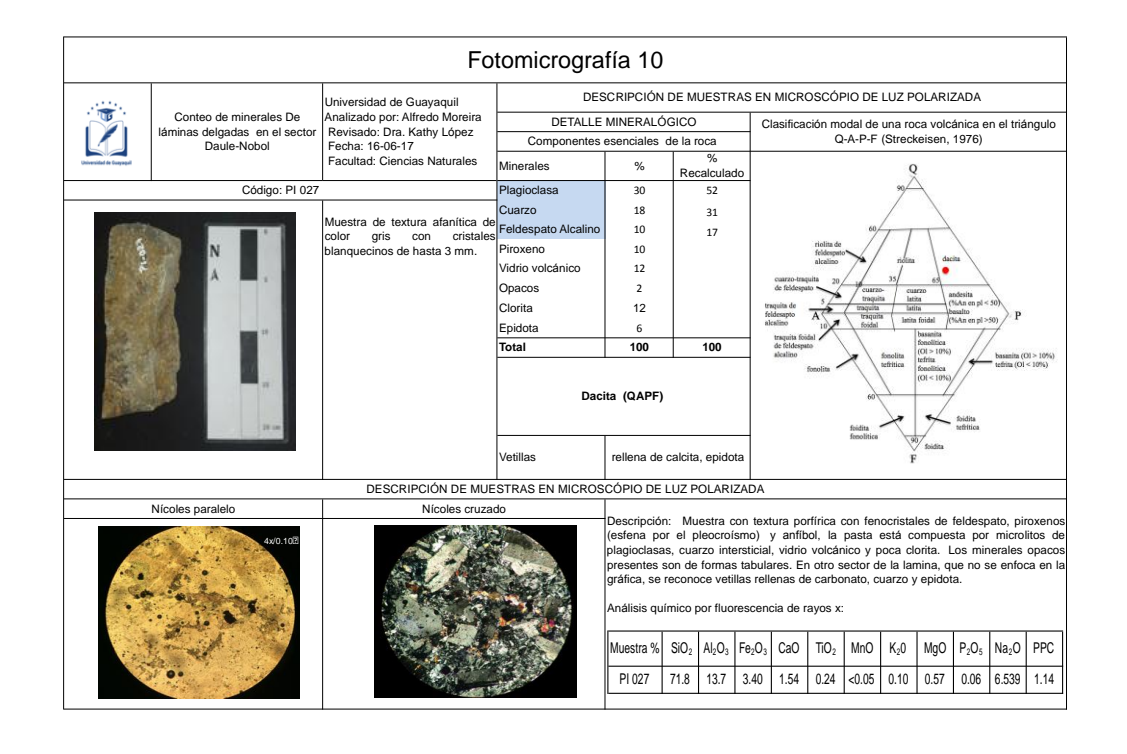


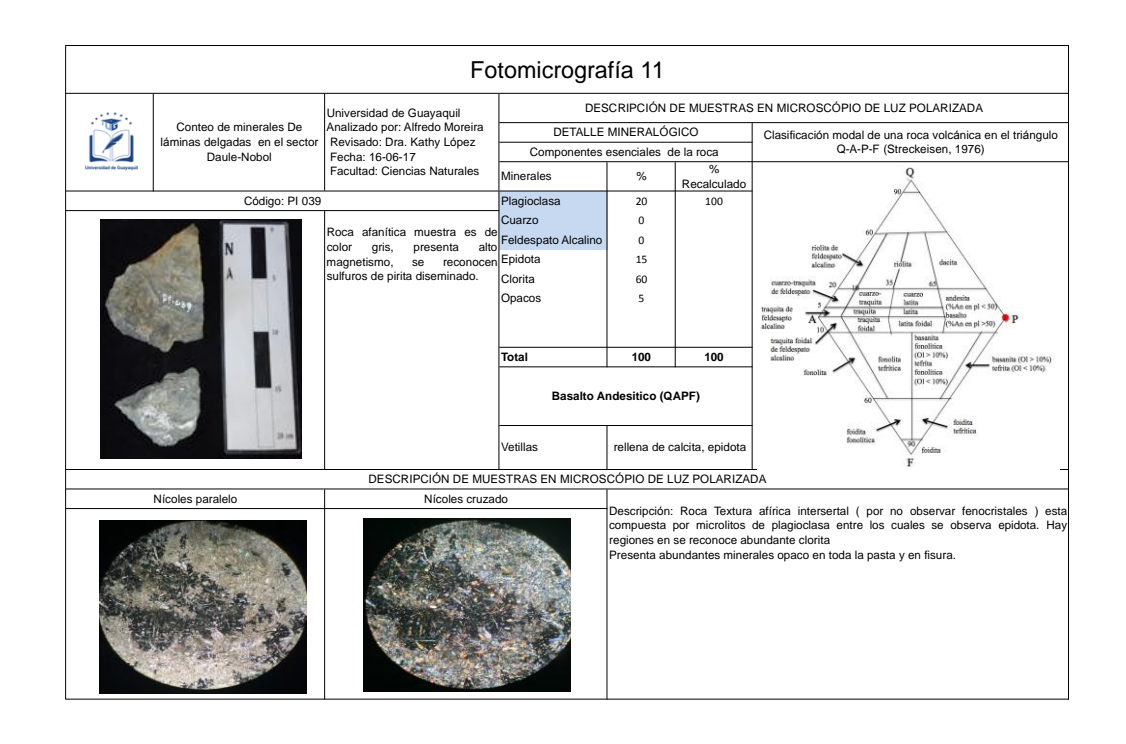


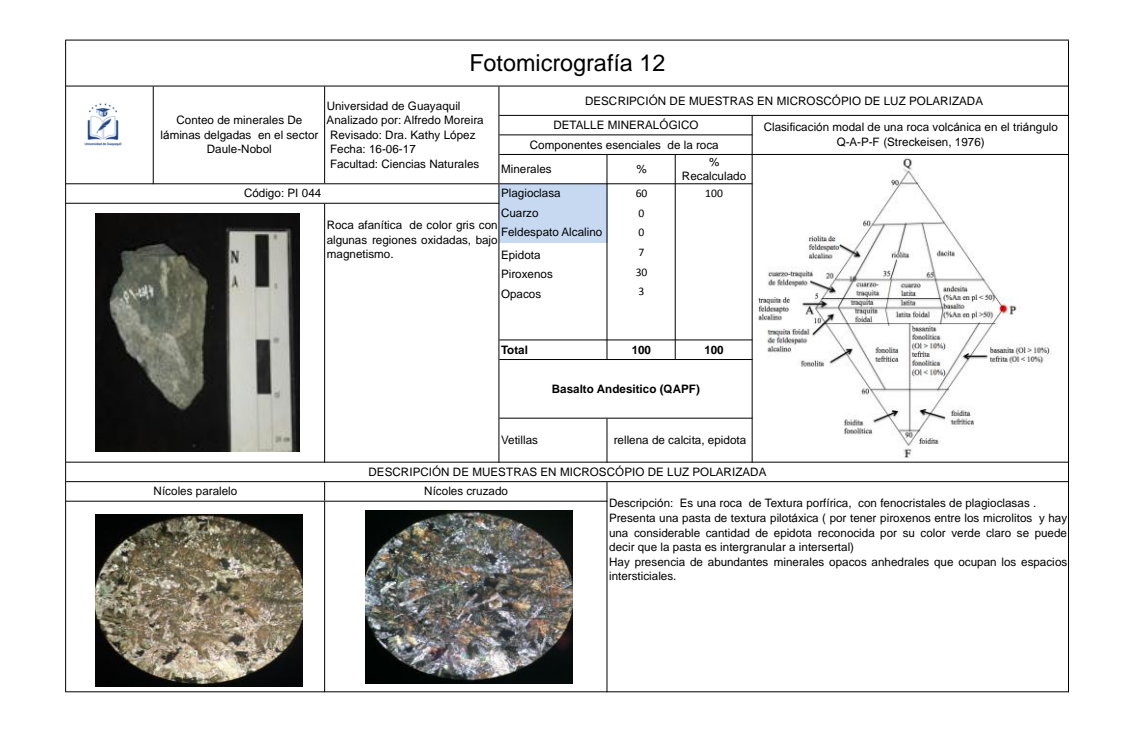




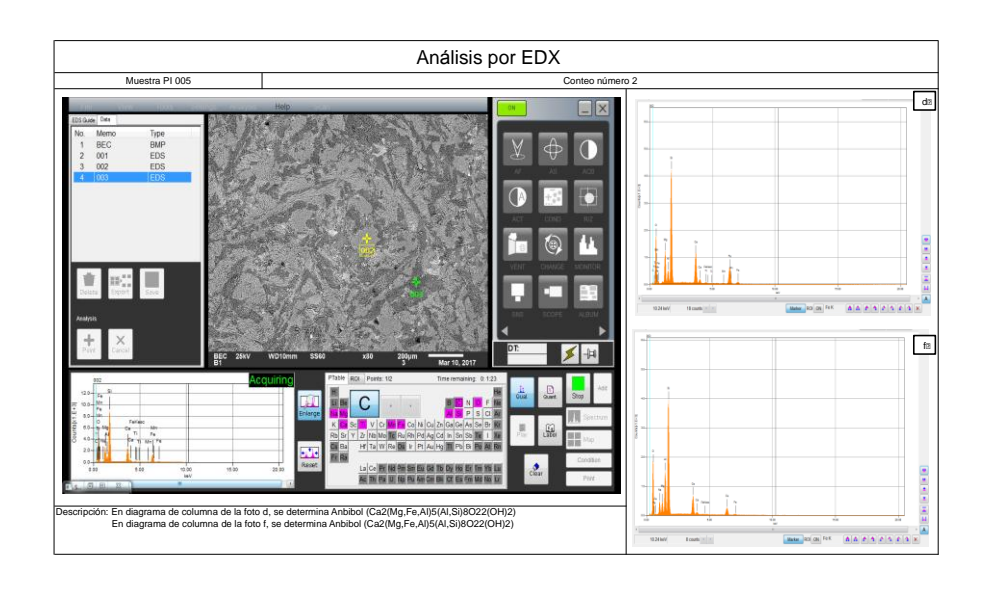


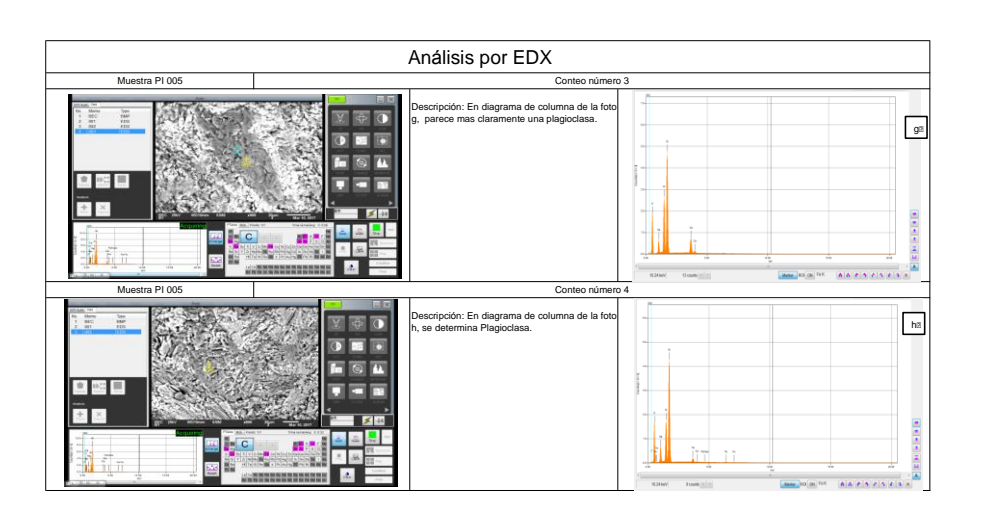


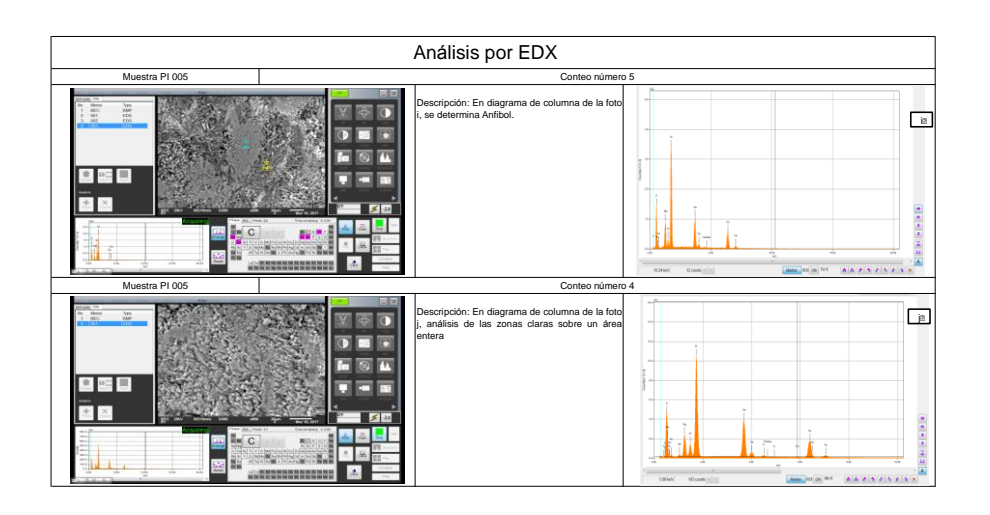


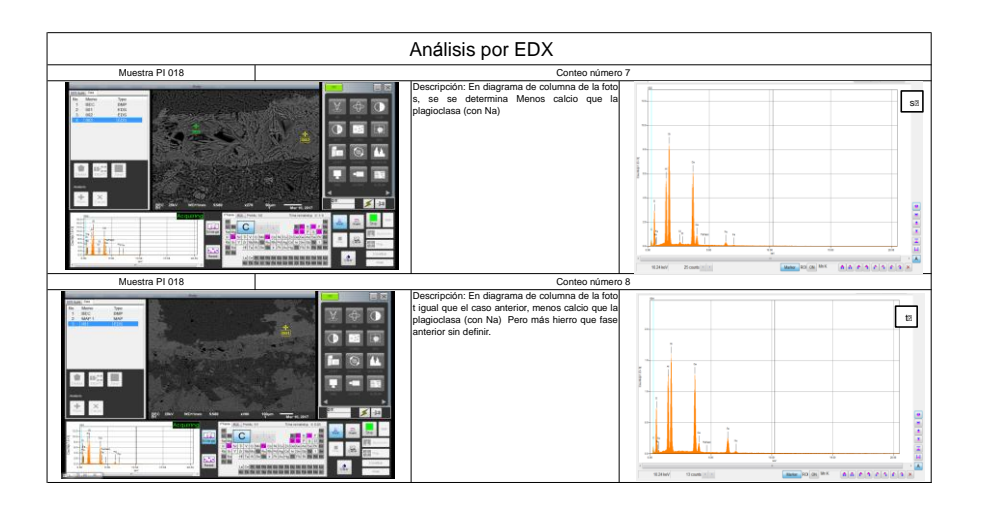


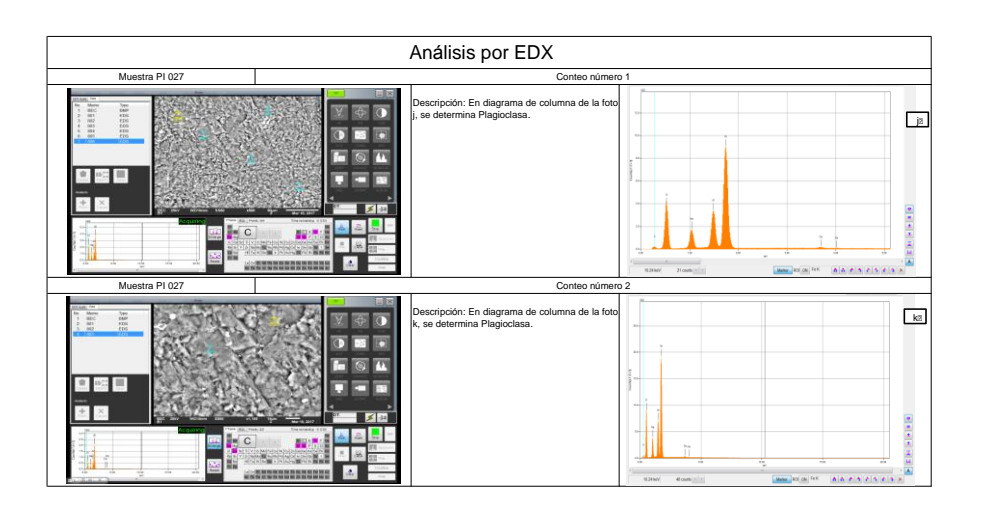
ANEXOS 3: ENSAYOS EN MEB – EDAX

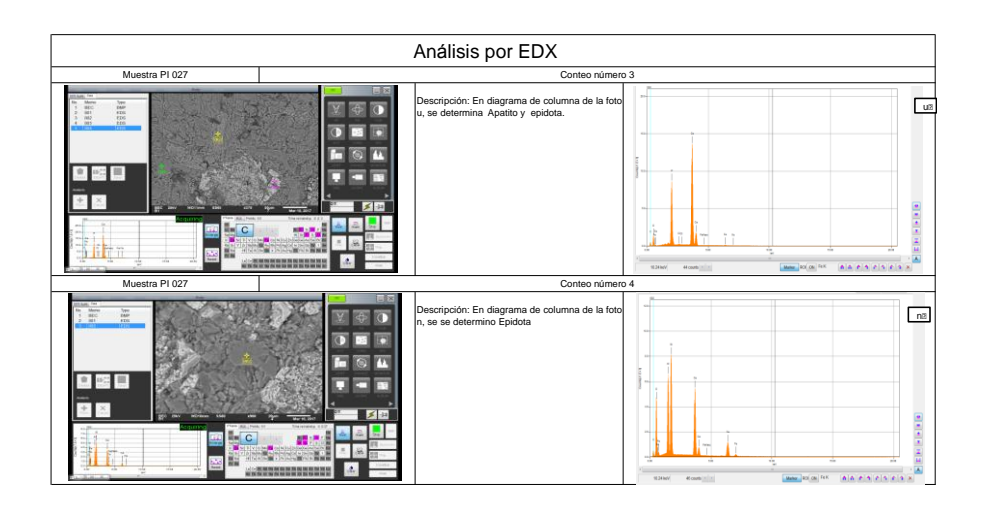


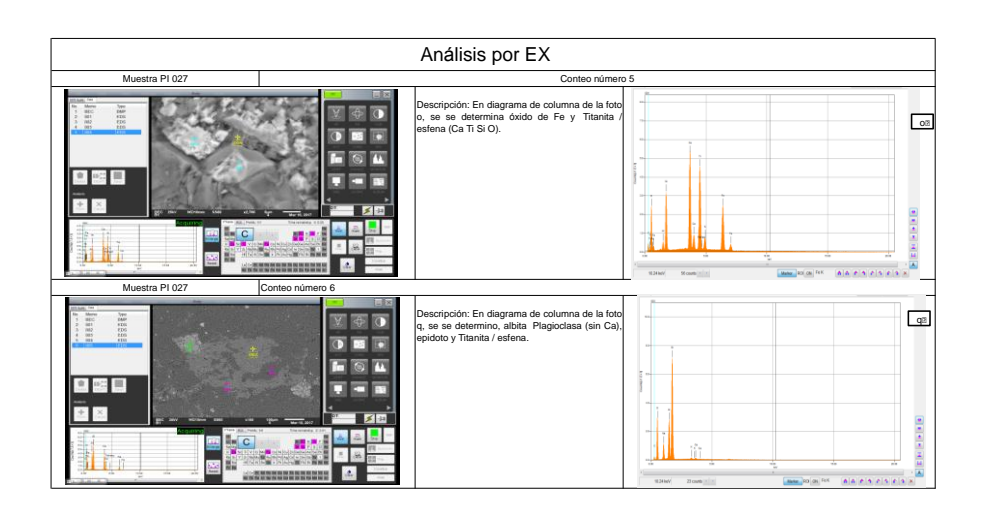


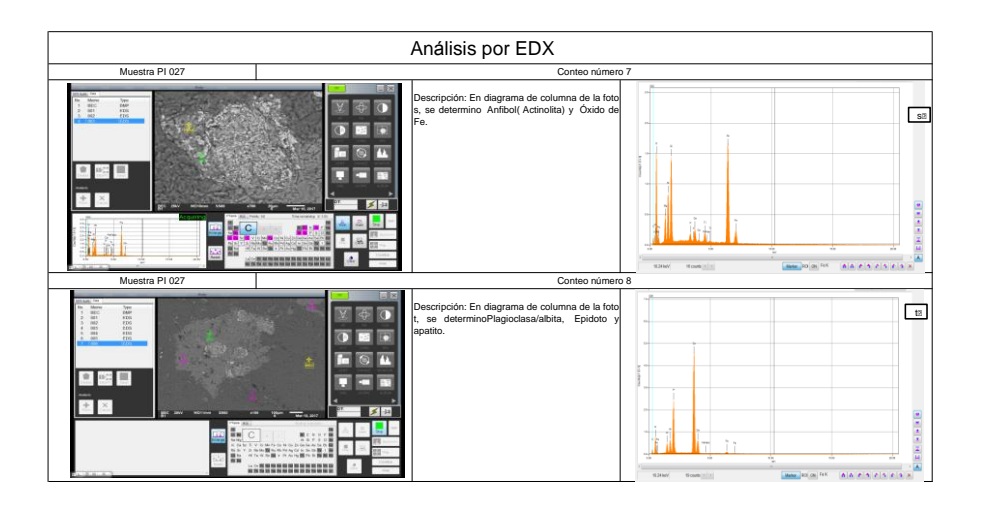


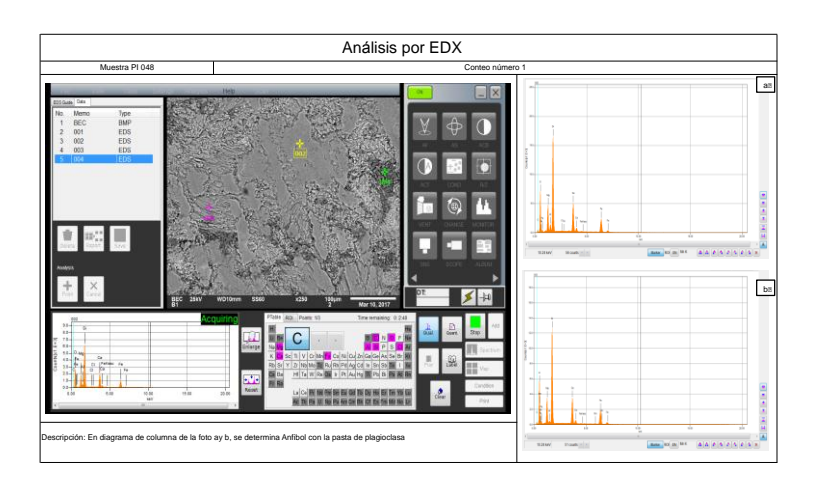












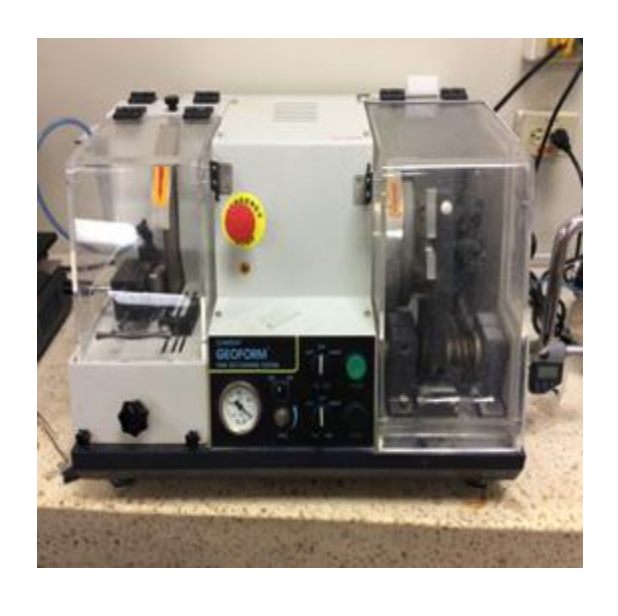
ANEXOS 4: EQUIPOS USADOS EN LA ELABORACIÓN DE LÁMINAS Y TRABAJO DE CAMPO



Cortadora primaria



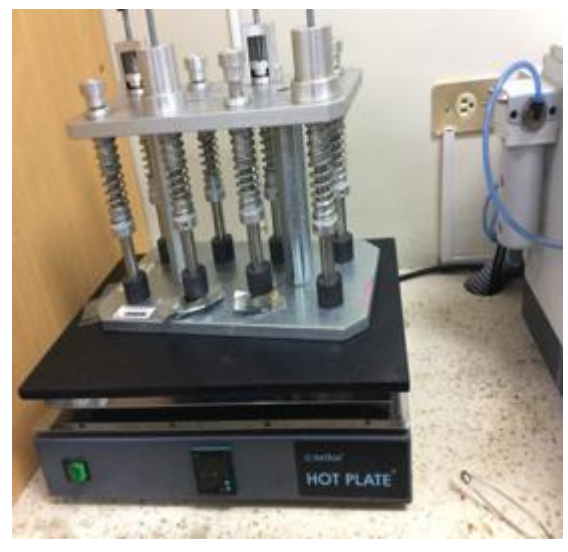
Cortador secundaria



Cortadora y pulidora de precisión



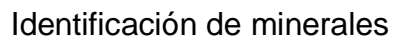
Bandeja de lijado de abrasivo



Estufa para secado de muestras









Toma de datos



Toma de muestras en el afloramiento